



# OFICINA ESPAÑOLA DE PATENTES Y MARCAS

ESPAÑA



11) Número de publicación: 2 687 050

EP 2657336

51 Int. Cl.:

C12N 15/09 (2006.01) C12N 5/10 (2006.01) C12Q 1/02 (2006.01) C12Q 1/04 (2006.01)

(12)

## TRADUCCIÓN DE PATENTE EUROPEA

T3

86 Fecha de presentación y número de la solicitud internacional: 22.12.2011 PCT/JP2011/079806

(87) Fecha y número de publicación internacional: 28.06.2012 WO12086756

96 Fecha de presentación y número de la solicitud europea: 22.12.2011 E 11850746 (6)

(54) Título: Método de bioensayo para la detección de sustancia fisiológicamente activa

(30) Prioridad:

24.12.2010 JP 2010288305

Fecha de publicación y mención en BOPI de la traducción de la patente: 23.10.2018

(97) Fecha y número de publicación de la concesión europea:

(73) Titular/es:

04.07.2018

OTSUKA PHARMACEUTICAL CO., LTD. (100.0%) 9, Kanda Tsukasa-machi 2-chome, Chiyoda-ku Tokyo 101-8535 , JP

(72) Inventor/es:

ARAKI, NAOHIRO; IIDA, MITSURU y MACHIDA, KIYOTAKA

(74) Agente/Representante:

LEHMANN NOVO, María Isabel

#### **DESCRIPCIÓN**

Método de bioensayo para la detección de sustancia fisiológicamente activa

Campo técnico

La presente invención se refiere a un kit para su uso en la medición de la cantidad de una forma activa de GLP-1 o la cantidad de AVP en una muestra biológica, a un método de diagnóstico de diabetes insípida o SIADH, a un método de determinación de cualquiera de una infusión de líquido hipotónico o hipertónico a seleccionar, a un método de determinación del efecto de un fármaco terapéutico relacionado con GLP-1 y a un método de cribado de un antagonista de GPCR acoplado a G.

Técnica anterior

20

25

30

Los receptores a los se unen sustancias fisiológicamente activas pueden servir de dianas para el desarrollo de fármacos. Particularmente, los receptores que alteran la concentración de AMPc intracelular como segundos mensajeros, tales como los receptores acoplados a la proteína G (en lo sucesivo, también denominados GPCR), son importantes como dianas para el desarrollo de fármacos. Se han desarrollado hasta la fecha muchos agentes que se unen a dichos receptores. Los ejemplos de dichos GPCR incluyen receptores a los se une la arginina vasopresina
 (en lo sucesivo, también denominada AVP) o el péptido 1 de tipo glucagón (en lo sucesivo, también denominado GLP-1).

La arginina vasopresina producida por la glándula pituitaria es una hormona peptídica con un peso molecular de 1000 que está compuesta por 9 aminoácidos. La AVP es un tipo de hormona importante de la regulación del agua y de los electrolitos que realiza la reabsorción de agua en el riñón dependiendo de la disminución en el volumen de sangre circulante y un aumento en la osmolaridad en plasma. El ensayo de AVP en plasma se aplica clínicamente ampliamente a, por ejemplo, el diagnóstico de trastornos del metabolismo del agua y de los electrolitos, tales como la diabetes insípida que es una afección patológica que implica la disminución de la secreción de AVP o el síndrome de secreción inapropiada de AVP en el que se observa en su lugar el aumento en la secreción de AVP. Además, la AVP no solo se ensaya para enfermedad endocrina, sino que también se usa como un marcador para el pronóstico de cáncer de pulmón de células pequeñas o para insuficiencia cardíaca aguda. Se usa ampliamente como método para ensayar AVP un kit de ELISA por el que se permite que AVP químicamente marcada compita con AVP en una muestra y AVP se cuantifica basándose en una tasa de inhibición competitiva. Sin embargo, el método de ELISA que usa la técnica de competición tiene mala sensibilidad y tiene limitaciones en el ensayo de una muestra a microescala en sangre. Puesto que AVP es un péptido de bajo peso molecular, no se puede ensayar AVP en plasma con alta sensibilidad debido a la falta de disponibilidad de un ensayo de ELISA de sándwich que use anticuerpos de sándwich contra una pluralidad de determinantes antigénicos que permiten mayor sensibilidad. Así, en la práctica clínica todavía se usa ampliamente un método de radioinmunoensayo que usa AVP marcada con isótopo, que se desarrolló por Robertson et al. en 1973, como un método de ensayo de AVP en plasma (Bibliografía no de patente 1).

35 Se conocen como receptores de AVP un receptor de V1a, un receptor de V1b y un receptor de V2 (en lo sucesivo, también denominados V2R). Se ha informado que el antagonista selectivo del receptor de vasopresina V2 tolvaptan es eficaz para hiponatremia (insuficiencia cardíaca, cirrosis hepática y el síndrome de secreción inapropiada de hormona antidiurética (SIADH)) (Bibliografía no de patente 2).

La incretina, un tipo de hormona gastrointestinal, es secretada del tubo digestivo en respuesta a la estimulación de la ingesta alimentaria y potencia la secreción de insulina de las células beta pancreáticas. Se conocen GLP-1 y GIP (péptido inhibidor gástrico o polipéptido insulinotrópico dependiente de glucosa) como las principales moléculas activas de las hormonas incretinas. Entre ellas, el péptido GLP-1 ha recibido la mayor atención como un regulador de la glucosa en sangre.

GLP-1 no solo promueve la secreción de insulina dependiente de glucosa, sino que también participa en la inhibición de la secreción de glucagón de células alfa pancreáticas y además en la inhibición del vaciamiento gástrico. Además, GLP-1 puede actuar centralmente sobre el hipotálamo para suprimir el apetito, dando como resultado el control de aumento de peso. Puesto que esta serie de acciones fisiológicas provoca un efecto deseable sobre el tratamiento de la diabetes mellitus de tipo 2, se la llevado a cabo ampliamente el desarrollo de fármacos que pretende potenciar la acción de GLP-1.

GLP-1 es secretado de células L intestinales y se convierte en GLP-1 (7-37) o GLP-1 (7-36 amida) por procesamiento. Ambas formas tienen actividad fisiológica equivalente contra receptores de GLP-1. En sangre, 80 % o más de las formas activas de GLP-1 son las formas GLP-1 (7-36 amida). Estos péptidos GLP-1 se denominan "formas activas de GLP-1". La forma activa de GLP-1 se inactiva inmediatamente en GLP-1 (9-37 o 9-36 amida) mediante la escisión de su resto del extremo N por dipeptidil peptidasa-IV (DPP-IV). A este respecto, se han desarrollado y se han usado clínicamente ampliamente (Bibliografía no de patente 3) inhibidores de DPP-IV que pretenden potenciar la acción de GLP-1. Además, también se han desarrollado derivados de GLP-1 resistentes a DPP-IV y funcionan como fármacos clínicos. Además, los agentes que dirigen la acción de potenciamiento de la secreción de GLP-1 también están en ensayo clínico como fármacos antidiabéticos de última generación

(Bibliografía no de patente 4). Se espera un aumento en la demanda en un futuro cercano de un método para medir con exactitud y rápidamente la concentración en suero de la forma activa de GLP-1 en la determinación del efecto de estos fármacos potenciadores de la acción de GLP-1.

Además, se ha informado recientemente que la concentración en suero en ayunas de la forma activa de GLP-1 es mucho más baja en asiáticos que en occidentales, que sugiere que se requerirá un método de ensayo altamente sensible capaz de detectar diferencias en la concentración en suero de la forma activa de GLP-1 entre razas o entre individuos (Bibliografía no de patente 5).

Ya se ha lanzado un kit de EIA (inmunoensayo enzimático) basado en un método de sándwich de dos anticuerpos como método de medición de la concentración en suero de la forma activa de GLP-1 antes de someterse a degradación. El kit existente se usa en, por ejemplo, la determinación del efecto de inhibidores de DPP-IV que inhiben la degradación de GLP-1. La sensibilidad de detección más baja del método de EIA existente es aproximadamente 1-2 pM (3,3-6,6 pg/ml) para la forma activa de GLP-1 (7-36 amida) y también es del mismo nivel para la forma de GLP-1 (7-37). Puesto que la concentración en ayunas de la forma activa de GLP-1 es 1 pM o más baja en asiáticos, se requiere mayor sensibilidad para medir con exactitud la concentración en ayunas de la forma activa de GLP-1. A este respecto, la concentración y purificación de una muestra son necesarias para el kit existente (Bibliografía no de patente 6).

La Bibliografía de patente 1 y 2 desvela células que expresan un GPCR, un canal de CNG y apoaecuorina recombinante para medir niveles de AMPc intracelular.

La Bibliografía no de patente 7 desvela un ensayo de alto rendimiento para la monitorización en tiempo real de cambios de AMPc en células vivas usando un colorante sensible al potencial de membrana fluorescente.

Lista de referencias

10

15

20

35

45

Bibliografía no de patente

Bibliografía no de patente 1: Robertson, G.L., et al., J. Clin. Invest. 52:2340, 1973

Bibliografía no de patente 2: Plosker G.L., Drugs. 70(4):443-54, 2010

Bibliografía no de patente 3: Chronic administration of alogliptin, a novel, potent, and highly selective dipeptidyl peptidase-4 inhibitor, improves glycemic control and beta-cell function in obese diabetic ob/ob mice. European Journal of Pharmacology 588: 325-332 (2008) Moritoh, Y. et al.

Bibliografía no de patente 4: Targeting GRP120 and other fatty acid-sensing GPCRs ameliorates insulin resistance and inflammatory diseases. Trends in Pharmacol. Sci. 32:543-550 (2011) Talukdar, S. et al.

Bibliografía no de patente 5: Little enhancement of meal-induced glucagon-like peptide 1 secretion in Japanese: Comparison of type 2 diabetes patients and healthy controls. Journal of Diabetes investigation 1: 56-59 (2010) Yabe, D. et al.

Bibliografía no de patente 6: Analysis of glucagon-like peptide 1; what to measure? Clinica Chimica Acta 412, 1191-1194 (2011) Heijboer, A.C. et al.

Bibliografía no de patente 7: Real-time and high throughput monitoring of cAMP in live cells using a fluorescent membrane potential-sensitive dye. ASSAY and Drug Development Technologies 4 (4): 461-474 (2006) Tang, Y. et al.

Bibliografía de patente 1: US 2009/104644

Bibliografía de patente 2: WO 2007/100618

40 Sumario de la invención

Problema técnico a resolver

Es un objeto de la presente invención un kit para su uso en la medición de la cantidad de una forma activa de GLP-1 o la cantidad de AVP en una muestra biológica, que se puede usar más convenientemente que los kits convencionales sin el uso de un radioisótopo que requiere técnicas o equipo especiales. Además, es un objeto adicional de la presente invención proporcionar un método de diagnóstico de diabetes insípida o SIADH, un método de determinación de cualquiera de una infusión de líquido hipotónico o hipertónico a seleccionar, un método de determinación del efecto de un fármaco terapéutico relacionado con GLP-1 y un método de cribado de un antagonista de GPCR acoplado a G.

## Solución al problema

5

15

20

25

30

40

45

Los presentes inventores se centraron en la interacción entre un receptor que altera la concentración de AMPc intracelular, un canal de calcio dependiente de AMPc y una proteína sensible al calcio y se centraron en V2R y un receptor al que se une GLP-1 (en lo sucesivo, también denominado un receptor de GLP-1) como ejemplos del receptor que altera la concentración de AMPc intracelular. Los presentes inventores usaron además la proteína sensible al calcio para medir la cantidad de entrada de ion de calcio en una célula estimulada por AMPc que se forma por la unión de ligandos a estos receptores. Como resultado, los presentes inventores han medido satisfactoriamente las cantidades de ligandos, y, por consiguiente, completado la presente invención.

En un primer aspecto, la presente invención proporciona un kit para su uso en la medición de la cantidad de una forma activa de GLP-1 o la cantidad de AVP en una muestra biológica, que comprende una célula que expresa un GPCR acoplado a G que es un receptor de GLP-1 o V2R, un canal de calcio dependiente de AMPc y una proteína sensible al calcio.

En una realización preferida, el kit es para diagnosticar diabetes insípida o SIADH, para determinar cualquiera de una infusión de líquido hipotónico o hipertónico a seleccionar o para determinar el efecto de un fármaco terapéutico relacionado con GLP-1.

En un segundo aspecto, la presente invención proporciona un método de diagnóstico de diabetes insípida o SIADH, un método de determinación de cualquiera de una infusión de líquido hipotónico o hipertónico a seleccionar o un método de determinación del efecto de un fármaco terapéutico relacionado con GLP-1, que comprende las siguientes etapas (A) a (C):

- (A) preparar una mezcla que contiene una célula que expresa un "receptor que altera la concentración de AMPc", un canal de calcio dependiente de AMPc y una proteína sensible al calcio, un sustrato luminiscente para la proteína sensible al calcio, un medio sin Ca<sup>2+</sup> y una muestra derivada de la sangre de un sujeto de prueba;
- (B) añadir una disolución que contiene Ca2+ a la mezcla preparada en (A); y
- (C) medir la luminiscencia de la proteína sensible al calcio emitida de la célula.

En un tercer aspecto, la presente invención proporciona un método de cribado de un antagonista de un GPCR acoplado a G, que comprende las siguientes etapas (A') a (C'):

- (A') preparar una mezcla que contiene una célula que expresa un "receptor que altera la concentración de AMPc", un canal de calcio dependiente de AMPc y una proteína sensible al calcio, un sustrato luminiscente para la proteína sensible al calcio, un medio sin Ca<sup>2+</sup>, un agonista de GPCR expresado en la célula y un compuesto de prueba;
- (B') añadir una disolución que contiene Ca2+ a la mezcla preparada en (A'); y
- (C') medir la luminiscencia de la proteína sensible al calcio emitida de la célula.

En un cuarto aspecto, la presente invención proporciona un método de cribado de un antagonista de GPCR acoplado a G, que comprende las siguientes etapas (A") a (C"):

- (A") preparar una mezcla que contiene una célula que expresa un "receptor que altera la concentración de AMPc", un canal de calcio dependiente de AMPc y una proteína sensible al calcio, un sustrato luminiscente para la proteína sensible al calcio, un medio que contiene Ca<sup>2+</sup>, un agonista de GPCR expresado en la célula y un compuesto de prueba;
- (B") añadir forskolina a la mezcla preparada en (A"); y
- (C") medir la luminiscencia de la proteína sensible al calcio emitida de la célula.

## Efectos de la invención

Con los kits y métodos según la presente invención, se puede medir por procedimientos simples y seguros la cantidad de una forma activa de GLP-1 o la cantidad de AVP en una muestra biológica sin la necesidad de procedimientos complicados acompañados del uso de radioisótopos.

Breve descripción de los dibujos

[Figura 1] La Figura 1 muestra que la luminiscencia emitida de células CHO que expresan V2R humano, canal de CNG modificado y aecuorina modificada depende de una concentración de AVP.

[Figura 2] La Figura 2 muestra una cantidad de luminiscencia emitida de las células CHO que expresan un receptor de vasopresina humana (V2R humano), canal de CNG modificado y aecuorina modificada, en presencia de una baja dosis de AVP.

[Figura 3] La Figura 3 muestra los efectos del tiempo de incubación sobre una cantidad de luminiscencia emitida de las células CHO que expresan V2R humano, canal de CNG modificado y aecuorina modificada.

[Figura 4] La Figura 4 muestra los efectos de una cantidad de plásmido de expresión de V2R introducido en una cantidad de luminiscencia emitida de las células CHO que expresan V2R humano, canal de CNG modificado y aecuorina modificada.

[Figura 5] La Figura 5 muestra una relación entre una densidad de células CHO que expresan V2R humano, canal de CNG modificado y aecuorina modificada, y una cantidad de luminiscencia de las células.

[Figura 6] La Figura 6 muestra una relación entre una densidad de células CHO que expresan V2R humano, canal de CNG modificado y aecuorina modificada, y una cantidad de luminiscencia de las células, donde la cantidad de luminiscencia se indica como un valor relativo que se calcula basándose en la suposición de que un valor relativo para cada blanco es 1.

15 [Figura 7] La Figura 7 muestra los efectos de una concentración de CaCl<sub>2</sub> añadido sobre una cantidad de luminiscencia emitida de las células CHO que expresan V2R humano, canal de CNG modificado y aecuorina modificada.

[Figura 8] La Figura 8 muestra que un kit proporcionado por la presente invención es capaz de cuantificar AVP.

[Figura 9] La Figura 9 muestra la comparación de los intervalos de medición entre un kit proporcionado por la presente invención y un kit de AVP usando radioinmunoensayo.

[Figura 10] La Figura 10 muestra el ensayo de plasma individual normal y plasma con un alto nivel de AVP usando un kit proporcionado por la presente invención.

[Figura 11] La Figura 11 muestra la evolución temporal de una cantidad de luminiscencia emitida de las células CHO que expresan V2R humano, canal de CNG modificado y aecuorina modificada. Se muestra el cambio dependiente del tiempo en la cantidad de luminiscencia para 0 a 5 pg/ml AVP.

[Figura 12] La Figura 12 muestra el plásmido pmCNGα2.

5

10

20

25

30

35

45

50

[Figura 13] La Figura 13 muestra el plásmido pcDNA mt s AEQ.

[Figura 14] La Figura 14 muestra la concentración de un compuesto y la cantidad de luminiscencia después del cultivo de células con un antagonista de la vasopresina (OPC-41061) en un medio que contiene calcio y la posterior adición de AVP  $10^{-7}$  M.

[Figura 15] La Figura 15 muestra la concentración de AVP y la cantidad de luminiscencia después del cultivo de células con cada concentración de AVP en un medio que contiene calcio y la posterior adición de AVP 10<sup>-7</sup> M (concentración constante).

[Figura 16] La Figura 16 muestra la concentración de un compuesto y la cantidad de luminiscencia después del cultivo de células con un antagonista de la vasopresina (OPC-41061) en un medio que contiene calcio, la posterior adición de AVP 10<sup>-7</sup> M y la adición adicional de forskolina 10<sup>-4</sup> M.

[Figura 17] La Figura 17 muestra que la luminiscencia emitida de líneas celulares CHO que expresan el receptor de GLP-1 humano, canal de CNG modificado y aecuorina modificada depende de la concentración de una forma activa de GLP-1.

[Figura 18] La Figura 18 muestra los efectos del tiempo de incubación sobre la cantidad de luminiscencia emitida de líneas celulares CHO que expresan receptor de GLP-1 humano, canal de CNG modificado y aecuorina modificada.

[Figura 19] La Figura 19 muestra los efectos de la cantidad de plásmido de expresión del receptor de GLP-1 introducido sobre la cantidad de luminiscencia emitida de líneas celulares CHO que expresan receptor de GLP-1 humano, canal de CNG modificado y aecuorina modificada.

[Figura 20] La Figura 20 muestra una relación entre una densidad de líneas celulares CHO que expresan el receptor de GLP-1 humano, canal de CNG modificado y aecuorina modificada, y la cantidad de luminiscencia de las células.

[Figura 21] La Figura 21 muestra una relación entre la densidad de líneas celulares CHO que expresan receptor de GLP-1 humano, canal de CNG modificado y aecuorina modificada, y la cantidad de luminiscencia

de las células, donde la cantidad de luminiscencia se indica como un valor relativo que se calcula basándose en la suposición de que un valor relativo para cada blanco es 1.

[Figura 22] La Figura 22 muestra que un kit proporcionado por la presente invención es capaz de cuantificar una forma activa de GLP-1.

5 [Figura 23] La Figura 23 muestra la comparación de los intervalos de medición entre un kit proporcionado por la presente invención y un kit existente para una forma activa de GLP-1 usando ensayo de EIA.

[Figura 24] La Figura 24 muestra un estudio sobre la especificidad de un kit proporcionado por la presente invención para una forma activa de GLP-1 entre péptidos relacionados con incretina.

[Figura 25] La Figura 25 muestra el ensayo de la degradación de una forma activa de GLP-1 por la enzima DPP-IV en plasma humano usando un kit proporcionado por la presente invención.

[Figura 26] La Figura 26 muestra concentraciones de exenatida y GLP-1 y la cantidad de luminiscencia cuando se añadieron un agonista de receptor de GLP-1 Byetta (exenatida), que es un fármaco terapéutico para la diabetes mellitus, y una forma activa de GLP-1 (7-36 amida) a las líneas celulares.

[Figura 27] La Figura 27 muestra la concentración de un fragmento de exendina de antagonista del receptor de GLP-1 (9-39) y la cantidad de luminiscencia después del cultivo de células con el fragmento de exendina (9-39) y la posterior adición de GLP-1 (7-36 amida) 10 pM (concentración final).

[Figura 28] La Figura 28 muestra el plásmido pmCNGα2.

[Figura 29] La Figura 29 muestra el plásmido pcDNA mt sAEQ.

### Descripción detallada

10

15

25

30

35

45

50

20 <u>1. Célula que expresa "receptor que altera la concentración de AMPc" a la que se une sustancia fisiológicamente activa, canal de calcio dependiente de AMPc y proteína sensible al calcio, y composición y kit que comprende la célula</u>

En el presente documento se desvela una célula que expresa un "receptor que altera la concentración de AMPc" a la que se une una sustancia fisiológicamente activa, un canal de calcio dependiente de AMPc y una proteína sensible al calcio, y una composición y un kit que comprende la célula.

La sustancia fisiológicamente activa es una sustancia que ejerce acción fisiológica o acción farmacológica sobre los organismos. Los ejemplos de la sustancia fisiológicamente activa incluyen aminas fisiológicamente activas, aminoácidos que actúan como neurotransmisores, péptidos fisiológicamente activos (por ejemplo, vasopresina e incretina), mediadores de lípidos y quimiocinas. Los ejemplos de la vasopresina incluyen AVP. Los ejemplos de la hormona incretina incluyen péptidos relacionados con GLP-1 (por ejemplo, GLP-1, productos de degradación de GLP-1, GLP-2, oxintomodulina y glucagón) y fármacos de péptido fisiológicamente activos de tipo GLP-1 (exenatida y liraglutida).

El "receptor que altera la concentración de AMPc" es un receptor que altera la concentración de AMPc en una célula que expresa el receptor por la unión de una sustancia fisiológicamente activa como su ligando al receptor. Los ejemplos del "receptor que altera la concentración de AMPc" incluyen receptores cuyo segundo mensajero es AMPc, por ejemplo, GPCR cuyo segundo mensajero es AMPc. Los ejemplos de GPCR cuyo segundo mensajero es AMPc incluyen GPCR acoplado a G.

Ejemplos de GPCR acoplado a G incluyen un receptor de vasopresina V2 y un receptor de GLP-1.

En una realización, la presente invención proporciona un kit que comprende una célula que expresa un GPCR acoplado a G que es un receptor de GLP-1 o V2R, un canal de calcio dependiente de AMPc y una proteína sensible al calcio, para su uso en la medición de la cantidad de una forma activa de GLP1 o la cantidad de AVP en una muestra biológica.

Aparte de la realización, teóricamente, se puede cuantificar un ligando que se une a GPCR acoplado a Gq usando una célula que expresa GPCR acoplado a Gq y una proteína sensible al calcio. Específicamente, la entrada de ion de calcio desde el canal IP3 del retículo endoplásmico en el citoplasma estimulada por la unión del ligando a GPCR acoplado a Gq se puede detectar usando la proteína sensible al calcio para cuantificar el ligando. Sin embargo, el ligando se puede cuantificar con mayor sensibilidad usando la célula que expresa el GPCR acoplado a G, un canal de calcio dependiente de AMPc y una proteína sensible al calcio, como está comprendido en la realización. Por ejemplo, se puede detectar AVP con mayor sensibilidad por un sistema para detectar AVP usando una célula que expresa el GPCR acoplado a G V2R, un canal de calcio dependiente de AMPc y una proteína sensible al calcio que por un sistema para detectar AVP usando una célula que expresa el GPCR acoplado a Gq V1a (o V1b) y una proteína sensible al calcio.

La sustancia fisiológicamente activa se puede asociar a una enfermedad. Como se usa en el presente documento, la enfermedad asociada a la sustancia fisiológicamente activa es una enfermedad en la que participa la sustancia fisiológicamente activa. Los ejemplos de la enfermedad asociada a la sustancia fisiológicamente activa incluyen una enfermedad que se desarrolla debido a una cantidad anormalmente grande o pequeña de la sustancia fisiológicamente activa, una enfermedad cuya afección patológica progresa debido a una cantidad anormalmente grande o pequeña de la sustancia fisiológicamente activa, una enfermedad que se desarrolla debido a una ausencia de funciones normales ejercidas por la sustancia fisiológicamente activa, y una enfermedad cuya afección patológica progresa debido a una ausencia de funciones normales ejercidas por la sustancia fisiológicamente activa. Los ejemplos de la enfermedad asociada a la sustancia fisiológicamente activa incluyen el síndrome de la secreción inapropiada de hormona antidiurética (en lo sucesivo, también denominado ADH), diabetes insípida y diabetes de mellitus de tipo 2.

En una realización, el kit que comprende la célula que expresa un GPCR acoplado a G que es un receptor de GLP-1 o V2R, un canal de calcio dependiente de AMPc y una proteína sensible al calcio, proporcionado por la presente invención, puede ser un kit para diagnosticar una enfermedad asociada a la sustancia fisiológicamente activa.

15 <u>2. Célula que expresa V2R, canal de calcio dependiente de AMPc y proteína sensible al calcio, y composición y kit que comprende la célula</u>

10

30

35

40

45

50

55

En una realización, la presente invención proporciona un kit que comprende una célula que expresa V2R, un canal de calcio dependiente de AMPc y una proteína sensible al calcio.

V2R es un tipo de receptor al que se une AVP. Este receptor aumenta AMPc activando la adenilato ciclasa. El origen de V2R es un mamífero. El origen puede ser, por ejemplo, un humano, un ratón, bovino o una rata. Además, V2R puede tener uno o varios (por ejemplo, 2, 3, 4, 5, 6, 7, 8, 9 o 10) aminoácidos modificados (añadidos, sustituidos, delecionados) apropiadamente en la secuencia de aminoácidos, o V2R puede ser una proteína que consiste en una secuencia de aminoácidos que tiene 70 % o más, 80 % o más, 85 % o más, 90 % o más, 95 % o más, 98 % o más, o 99 % o más de identidad con la secuencia de aminoácidos de V2R natural; se une a AVP; y tiene la función de aumentar AMPc mediante la activación de la adenilato ciclasa.

V2R puede ser una proteína que tiene la secuencia de aminoácidos representada por SEQ ID Nº: 1. Además, V2R puede ser una proteína que consiste en una secuencia de aminoácidos que tiene 70 % o más, 80 % o más, 85 % o más, 90 % o más, 95 % o más, 98 % o más, o 99 % o más de identidad con la secuencia de aminoácidos representada por SEQ ID Nº: 1; se une a AVP; y tiene la función de aumentar AMPc mediante la activación de la adenilato ciclasa.

Como se usa en el presente documento, AVP deriva de un mamífero. AVP puede derivar de, por ejemplo, un humano, un ratón, bovino o una rata. AVP puede tener uno o varios (por ejemplo, 2, 3, 4, 5, 6, 7, 8, 9 o 10) aminoácidos modificados (añadidos, sustituidos, delecionados) apropiadamente en la secuencia de aminoácidos, o puede ser una proteína que consiste en una secuencia de aminoácidos que tiene 70 % o más, 80 % o más, 85 % o más, 90 % o más, 95 % o más, 98 % o más, o 99 % o más de identidad con la secuencia de aminoácidos de AVP natural; se une a V2R; y tiene la función de aumentar AMPc mediante la activación de la adenilato ciclasa.

El canal de calcio dependiente de AMPc es un canal que cambia la cantidad de entrada de ion de calcio en una célula en respuesta al cambio en la concentración de AMPc, e incluye canales que aumentan la cantidad de entrada de ion de calcio en una célula en respuesta al aumento en la concentración de AMPc. Los ejemplos del canal de calcio dependiente de AMPc incluyen un canal de calcio CNG (canal de iones regulado por nucleótidos cíclicos). El canal de iones CNG puede tener uno o varios (por ejemplo, 2, 3, 4, 5, 6, 7, 8, 9 o 10) aminoácidos modificados (añadidos, sustituidos, delecionados) en la secuencia de aminoácidos y se puede modificar (incluyendo sustituir, añadir y delecionar) de forma que presente, por ejemplo, mayor sensibilidad a AMPc que GMPc. El canal de jones CNG puede ser una proteína que consiste en una secuencia de aminoácidos que tiene 70 % o más, 80 % o más, 85 % o más, 90 % o más, 95 % o más, 98 % o más, o 99 % o más de identidad con la secuencia de aminoácidos del canal de iones CNG natural y aumenta la cantidad de entrada de ion de calcio en una célula en respuesta al aumento en la concentración de AMPc. Los ejemplos de la modificación incluyen la sustitución de la 460ª cisteína en un canal de iones CNG de ratón con triptófano, la sustitución del 583º ácido glutámico en un canal de iones CNG de ratón con metionina, la sustitución de la 537ª treonina en un canal de iones CNG bovino con serina, metionina, valina, o alanina, y sus combinaciones. Estas sustituciones ejemplificadas anteriormente también son aplicables a la sustitución de aminoácidos en sitios correspondientes en otras especies de animal. Por ejemplo, la treonina en un canal de iones CNG de ratón correspondiente a la 537ª treonina en el canal de iones CNG bovino se puede sustituir con serina, metionina, valina o alanina. Dicha sustitución se puede realizar en una o más posición (posiciones). Por ejemplo, se realiza la sustitución de la 460ª cisteína en el canal de iones CNG de ratón con triptófano, y también se puede realizar la sustitución del 583º ácido glutámico con metionina.

El canal de iones CNG puede consistir en una subunidad  $\alpha$  y/o una subunidad  $\beta$ . Puede ser de cualquier constitución, por ejemplo, consistir en al menos una subunidad seleccionada del grupo que consiste en una subunidad  $\alpha$ 2, una subunidad  $\alpha$ 3, una subunidad  $\alpha$ 4 y una subunidad  $\beta$ 1b. Además, la subunidad se puede modificar como se ha descrito anteriormente.

El canal de iones CNG es de origen mamífero. El origen puede ser, por ejemplo, un humano, un ratón, bovino, una rata o un cerdo. El canal de iones CNG puede ser una proteína que tiene la secuencia de aminoácidos representada por SEQ ID N°: 2. Además, el canal de iones CNG puede ser una proteína que consiste en una secuencia de aminoácidos que tiene 70 % o más, 80 % o más, 85 % o más, 90 % o más, 95 % o más, 98 % o más, o 99 % o más de identidad con la secuencia de aminoácidos representada por SEQ ID N°: 2 y aumenta la cantidad de entrada de ion de calcio en una célula en respuesta al aumento en la concentración de AMPc.

La proteína sensible al calcio incluye proteínas cuya estructura cambia en respuesta al calcio, e incluye proteínas que emiten luminiscencia en respuesta al calcio y proteínas que actúan como un denominado sensor de calcio.

Los ejemplos de la proteína sensible al calcio incluyen aecuorina, cameleon (Invitrogen Corp.), Case12 (Evrogen), una proteína que comprende dos GFP que se diferencian en color, unidos a calmodulina sensible al calcio y una secuencia parcial de cinasa de cadena ligera de miosina que se une a ella, una proteína sensible al calcio que comprende calmodulina unida a entre los restos 144º y 146º en la secuencia de aminoácidos de GFP, y una proteína de sonda Nº G3-85 o A1-2 descrita en la publicación de solicitud de patente japonesa 2002-153279, y sus apoproteínas, si las hay, (por ejemplo, apoaecuorina).

La secuencia de aminoácidos de la proteína sensible al calcio se puede modificar (añadir, sustituir, delecionar) apropiadamente según el fin o se puede modificar para aumentar la cantidad de luminiscencia y/o para mejorar una relación SN. La modificación incluye la adición, sustitución y deleción de uno o varios (por ejemplo, 2, 3, 4, 5, 6, 7, 8, 9 o 10) aminoácidos en la secuencia de aminoácidos, y la modificación a una proteína que consiste en una secuencia de aminoácidos que tiene 70 % o más, 80 % o más, 85 % o más, 90 % o más, 95 % o más, 98 % o más o 99 % o más de identidad con la secuencia de aminoácidos de la proteína sensible al calcio natural y emite luminiscencia en respuesta al calcio. Por ejemplo, la proteína sensible al calcio se puede modificar de forma que su gen se optimice para uso de codones humanos y tenga una señal de direccionamiento mitocondrial.

La proteína sensible al calcio puede ser una proteína que tiene la secuencia de aminoácidos representada por SEQ ID N°: 3. Además, la proteína sensible al calcio puede ser una proteína que consiste en una secuencia de aminoácidos que tiene 70 % o más, 80 % o más, 85 % o más, 90 % o más, 95 % o más, 98 % o más, o 99 % o más de identidad con la secuencia de aminoácidos representada por SEQ ID Nº: 3 y emite luminiscencia en respuesta al calcio.

La célula que expresa V2R, un canal de calcio dependiente de AMPc y una proteína sensible al calcio, como está comprendida en el kit de la presente invención, expresa transitoria o establemente cada uno de V2R, el canal de calcio dependiente de AMPc y la proteína sensible al calcio.

La célula puede ser una línea celular tal como una célula CHO, una célula HEK293 o una célula 3T3.

25

30

35

40

45

50

55

Por ejemplo, la célula que expresa V2R, un canal de calcio dependiente de AMPc y una proteína sensible al calcio, como está comprendida en el kit de la presente invención, puede ser una célula CHO que expresa establemente cada proteína, en la que V2R consiste en la secuencia de aminoácidos representada por SEQ ID  $N^\circ$ : 1, el canal de calcio dependiente de AMPc es un canal de iones CNG modificado que consiste en la secuencia de aminoácidos representada por SEQ ID  $N^\circ$ : 2 y la proteína sensible al calcio es apoaecuorina modificada que consiste en la secuencia de aminoácidos representada por SEQ ID  $N^\circ$ : 3. Además, la célula que expresa V2R, un canal de calcio dependiente de AMPc y una proteína sensible al calcio, como está comprendida en el kit de la presente invención, puede ser, por ejemplo, una célula CHO que expresa establemente V2R, el canal de calcio dependiente de AMPc y la proteína sensible al calcio, cada uno de los cuales es una proteína que consiste en una secuencia de aminoácidos que tiene 70 % o más, 80 % o más, 85 % o más, 90 % o más, 95 % o más, 98 % o más, o 99 % o más de identidad con la secuencia de aminoácidos de SEQ ID  $N^\circ$ : 1-3 y mantiene las funciones de V2R, el canal de calcio dependiente de AMPc o la proteína sensible al calcio.

Además, se puede usar una célula que expresa naturalmente una o más proteínas seleccionadas del grupo que consiste en V2R, el canal de calcio dependiente de AMPc y la proteína sensible al calcio. En este caso, la célula que expresa V2R, un canal de calcio dependiente de AMPc y una proteína sensible al calcio, como está comprendida en el kit de la presente invención, también se puede preparar forzando a la célula a expresar transitoria o establemente la(s) proteína(s) que no son expresadas en la célula. Los ejemplos de dicha célula incluyen una célula derivada de riñón que expresa endógenamente V2R que es forzado a expresar transitoria o establemente cada uno del canal de calcio dependiente de AMPc y la proteína sensible al calcio y una célula derivada de tejido olfativo que expresa endógenamente el canal de iones CNG que es forzado a expresar transitoria o establemente cada uno de V2R y la proteína sensible al calcio.

Se pueden crioconservar la célula que expresa V2R, un canal de calcio dependiente de AMPc y una proteína sensible al calcio, como está comprendida en el kit de la presente invención. La crioconservación se puede realizar a -20 °C a -80 °C, por ejemplo -80 °C, en una disolución de crioconservación de células. La disolución de crioconservación de células incluye CELLBANKER (R) (Nippon Zenyaku Kogyo Co., Ltd.), BAMBANKER (R) (Lymphotec Inc.), Cellvation (R) (CELOX LABORATORIES, Inc.), CryoStor (R) (BIOLIFE SOLUTIONS Ltd.). Las células se pueden crioconservar en un gran número del mismo lote de manera que se reduzca drásticamente un

error de medición derivado de la célula entre las composiciones o kits. Como resultado, se puede mejorar la reproducibilidad de los resultados de medición. Además, la célula que expresa V2R, un canal de calcio dependiente de AMPc y una proteína sensible al calcio, como está comprendida en el kit de la presente invención, mantiene sensibilidad suficiente para detectar AVP presente en sangre humana, incluso después de que se crioconserve y descongele usando un baño caliente. Además, después de la descongelación, la célula se transfiere simplemente a un recipiente apropiado y se cultiva durante aproximadamente 3 horas en un medio apropiado, y el estado de la célula no se deteriora por un reactivo añadido para detectar AVP, o por componentes derivados de sangre humana.

Se puede usar una composición que comprende la célula que expresa V2R, un canal de calcio dependiente de AMPc y una proteína sensible al calcio, como se ha descrito anteriormente, para medir la cantidad de AVP *in vitro*, para determinar cualquiera de una infusión de líquido hipotónico o hipertónico a seleccionar, para medir la actividad de un agonista o antagonista de V2R, para diagnosticar una enfermedad asociada a AVP, para determinar un humano que tiene un alto riesgo de desarrollar una enfermedad asociada a AVP y/o para determinar el efecto terapéutico sobre un humano en tratamiento.

Por consiguiente, en el presente documento se desvelan una composición y un kit para medir la cantidad de AVP in vitro, para determinar cualquiera de una infusión de líquido hipotónico o hipertónico a seleccionar, para medir la actividad de un agonista o antagonista de V2R, para diagnosticar una enfermedad asociada a AVP, para determinar un humano que tiene un alto riesgo de desarrollar una enfermedad asociada a AVP o para determinar el efecto terapéutico sobre un humano en tratamiento de una enfermedad asociada a AVP, que comprende la célula que expresa V2R, un canal de calcio dependiente de AMPc y una proteína sensible al calcio.

20 La célula que expresa V2R, un canal de calcio dependiente de AMPc y una proteína sensible al calcio es como se ha descrito anteriormente.

La enfermedad asociada a AVP incluye una enfermedad que implica la producción o acción anormal de AVP. Los ejemplos de la enfermedad asociada a AVP incluyen el síndrome de secreción inapropiada de hormona antidiurética (en lo sucesivo, también denominada ADH) (en lo sucesivo, también denominado SIADH) y diabetes insípida.

SIADH es una enfermedad que se desarrolla debido a la secreción inapropiadamente creciente de AVP o sensibilidad renal anormalmente elevada a AVP. Normalmente, SIADH no ocurre como una única enfermedad y se desarrolla como una complicación o síntoma parcial de una enfermedad diferente. Por ejemplo, SIADH se desarrolla en asociación con enfermedades tales como enfermedades pulmonares (por ejemplo, neumonía y tuberculosis pulmonar), enfermedades nerviosas centrales (por ejemplo, meningitis) y tumores productores de hormona antidiurética ectópica (por ejemplo, cáncer de pulmón (por ejemplo, cáncer de pulmón de células pequeñas) y cáncer pancreático) o en asociación con tratamiento con fármacos (por ejemplo, tratamiento con vincristina y clofibrato). SIADH se diagnostica basándose en, por ejemplo, los siguientes criterios de diagnóstico (Tabla 1).

[Tabla 1]

Criterios para diagnosticar SIADH

Pasajes de la guía del diagnóstico de síndrome de secreción inapropiada de vasopresina (SIADH)<sup>nota)</sup>

I. Síntoma principal

- 1. Síntomas de hiponatremia tales como fatiga, pérdida de apetito y alteración de la consciencia, que no son específicos
- 2. No se encuentra deshidratación
- II. Resultados del examen
- 1. Hiponatremia: concentración de sodio en suero que se encuentra por debajo de 135 meq/l
- 2. Nivel de vasopresina en plasma: el nivel de sodio en suero es inferior a 135 meq/l y el nivel de vasopresina en plasma es igual a o superior a la sensibilidad de medición.
- \*\*3. Baja osmolalidad en plasma: la osmolalidad en plasma se encuentra por debajo de 280 mOsm/kg
- 4. Hiperestenuria: la osmolalidad en orina supera 300 mOsm/kg
- 5. Sustentación de la natriuresis: la concentración de sodio en orina es 20 meq/l o mayor
- 6. Función renal normal: el nivel de creatinina en suero es 1,2 mg/dl o inferior.
- 7. Función adrenocortical normal: el nivel de cortisol en suero es 6 µg/dl o superior.

### [Criterios de diagnóstico]

20

25

30

El diagnóstico definitivo se hace cuando están presentes los resultados 1 a 7 de II y no se encuentra deshidratación.

[Diagnóstico diferencial] Se excluyen los siguientes que conducen a hiponatremia:

- 1. Hiponatremia con un exceso de un líquido extracelular: Insuficiencia cardíaca, cirrosis hepática durante la retención ascítica y síndrome nefrótico
- 2. Hiponatremia con una sustancial fuga de sodio: pérdida de sodio renal, diarrea y vómitos

\*\*Nota) <u>Health and Labour Sciences Research Grants for Research on Measures for Intractable Diseases from the Ministry of Health, Labour and Welfare of Japan Survey and Research on Diencephalic-Pituitary Dysfunction: 2008 Annual Report of Research: March 2009: p. 124</u>

La diabetes insípida es una enfermedad que implica la excesiva micción resultante de la reducida síntesis o acción de AVP. La diabetes insípida incluye diabetes insípida central y diabetes insípida renal. La diabetes insípida central se diagnostica por, por ejemplo, 1. confirmación de la excesiva micción (3 l/día o más), 2. análisis de orina: negativo para glucosa en orina y bala osmolalidad de la orina, 3. confirmación de la disfunción secretora de AVP por un ensayo de carga con 5 % de solución salina hipertónica, 4. búsqueda de una lesión en una región del hipotálamo o la glándula pituitaria por obtención de imágenes de diagnóstico (MRI), y 5. confirmación de la capacidad para concentrar la orina por administración de desmoresina.

La cantidad de AVP se puede medir in vitro usando el siguiente evento:

- Cuando está presente AVP en una muestra biológica, AVP aumenta AMPc actuando sobre el V2R expresado en la célula como está comprendido en el kit de la presente invención. Como resultado, el canal de iones CNG se activa de manera que aumenta la entrada de calcio en la célula. Así, la proteína sensible al calcio emite luminiscencia. Esto significa que la presencia de AVP en la muestra se representa por la luminiscencia de la proteína sensible al calcio como salida.
- 15 En una realización de la presente invención, el uso del kit proporcionado por la presente invención basado en el fenómeno descrito anteriormente puede medir la cantidad de AVP en una muestra biológica.

Como se usa en el presente documento, la muestra biológica incluye muestras derivadas de organismos tales como sangre, orina y una muestra preparada a partir de sangre o sangre e incluye, por ejemplo, sangre humana, una muestra preparada a partir de sangre humana, orina humana y una muestra preparada a partir de orina humana. La muestra biológica se puede diluir apropiadamente con una disolución acuosa apropiada. Por ejemplo, una muestra de orina humana se puede diluir 4 a 20 veces con solución salina fisiológica y usar con el kit proporcionado por la presente invención.

Usando el kit proporcionado por la presente invención, la cantidad de AVP en sangre humana u orina se puede medir usando el evento para diagnosticar que un sujeto de prueba tiene una enfermedad asociada a AVP (por ejemplo, diabetes insípida o SIADH) o no.

Por ejemplo, cuando se sospecha que un sujeto de prueba tiene SIADH, se puede diagnosticar que el sujeto de prueba tiene SIADH o no por uso del evento descrito en (1) usando el kit proporcionado por la presente invención midiendo la cantidad de luminiscencia de la proteína sensible al calcio emitida de la célula tratada con una muestra de sangre del sujeto de prueba y la cantidad de luminiscencia de la proteína sensible al calcio emitida de la célula tratada con la misma cantidad de una muestra de sangre de un individuo normal (estándar) que la de la muestra de sangre del sujeto de prueba. Por ejemplo, cuando la cantidad de luminiscencia emitida de la célula tratada con la muestra de sangre del sujeto de prueba es superior a la emitida de la célula tratada con la muestra de sangre del individuo normal (estándar), se puede determinar que la concentración en suero de AVP del sujeto de prueba es superior a la del individuo normal. Esto constituye motivos para el diagnóstico de SIADH del sujeto de prueba.

Además, por ejemplo, cuando se sospecha que un sujeto de prueba tiene diabetes insípida, se puede diagnosticar que el sujeto de prueba tiene diabetes insípida o no por uso del evento descrito en (1) usando el kit proporcionado por la presente invención midiendo la cantidad de luminiscencia de la proteína sensible al calcio emitida de la célula tratada con una muestra de sangre del sujeto de prueba y la cantidad de luminiscencia de la proteína sensible al calcio emitida de la célula tratada con la misma cantidad de una muestra de sangre de un individuo normal (estándar) que la de la muestra de sangre del sujeto de prueba. Por ejemplo, cuando la cantidad de luminiscencia emitida de la célula tratada con la muestra de sangre del sujeto de prueba es inferior a la emitida de la célula tratada con la muestra de sangre del individuo normal (estándar), se puede determinar que la concentración en suero de

AVP del sujeto de prueba es más baja que la del individuo normal. Esto constituye motivos para el diagnóstico de diabetes insípida del sujeto de prueba.

Para la medición de la cantidad de luminiscencia, se prefiere medir el valor integrado durante el tiempo dado. Por ejemplo, el valor integrado se puede medir durante 5 segundos, 10 segundos, 15 segundos, 20 segundos, 30 segundos, 40 segundos, 50 segundos, o 1 minuto.

5

10

30

35

50

55

Cuando se administra una infusión de fluido a un paciente diagnosticado de SIADH usando el kit proporcionado por la presente invención, se selecciona una infusión de fluido hipertónico. Cuando se administra una infusión de fluido a un paciente diagnosticado de diabetes insípida usando el kit proporcionado por la presente invención, se selecciona una infusión de fluido hipotónico. Por consiguiente, el kit proporcionado por la presente invención se usa para determinar cualquiera de una infusión de fluido hipotónico o una infusión de fluido hipertónico a administrar a un paciente.

Además, la cantidad de AVP en sangre humana u orina se puede medir usando el kit proporcionado por la presente invención para determinar un humano que tiene un alto riesgo de desarrollar una enfermedad asociada a AVP, por ejemplo, un humano que tiene un alto riesgo de desarrollar SIADH o diabetes insípida.

Por ejemplo, cuando la concentración en suero de AVP medida usando el kit proporcionado por la presente invención en el examen médico es inferior al valor numérico de un paciente con SIADH y superior al valor numérico de un individuo normal, se puede determinar que es persona es un humano que tiene un alto riesgo de desarrollar SIADH. Cuando la concentración en suero de AVP es superior al valor numérico de un paciente con diabetes insípida e inferior al valor numérico de un individuo normal, se puede determinar que esta persona es un humano que tiene un alto riesgo de desarrollar diabetes insípida. Además, cuando la concentración en suero de AVP aumenta gradualmente con el tiempo, se puede determinar que esta persona es un humano que tiene un alto riesgo de desarrollar SIADH. Cuando la concentración en suero de AVP disminuye gradualmente con el tiempo, se puede determinar que esta persona es un humano que tiene un alto riesgo de desarrollar diabetes insípida.

Además, la cantidad de AVP en sangre humana u orina se puede medir usando el kit proporcionado por la presente invención para determinar la eficacia de tratamiento para un humano en tratamiento de una enfermedad asociada a AVP, por ejemplo, un humano con SIADH o diabetes insípida en tratamiento de la misma.

Por ejemplo, se pueden medir la concentración de AVP en muestras de sangre recogidas del mismo individuo tanto antes como después del tratamiento y el cambio dependiente del tiempo en la concentración usando el kit proporcionado por la presente invención para determinar la presencia o ausencia de eficacia del tratamiento. Por ejemplo, cuando la concentración en suero de AVP medida usando el kit proporcionado por la presente invención es inferior después del tratamiento que antes del tratamiento, se puede determinar que es eficaz el tratamiento de SIADH. Cuando la concentración en suero de AVP es superior después del tratamiento que antes del tratamiento, se puede determinar que es eficaz el tratamiento de diabetes insípida.

La actividad de un agonista o antagonista de V2R se puede medir usando el kit proporcionado por la presente invención. Por ejemplo, la actividad de un agonista de V2R se puede medir añadiendo el agonista de V2R a la composición como está comprendida en el kit de la presente invención en ausencia de AVP y cuantificando la luminiscencia de la proteína sensible al calcio. Además, por ejemplo, la actividad de un antagonista de V2R se puede medir añadiendo el antagonista de V2R a la composición como está comprendida en el kit de la presente invención en presencia de AVP y cuantificando la luminiscencia de la proteína sensible al calcio.

40 Un kit que comprende una composición que comprende la célula que expresa V2R, un canal de calcio dependiente de AMPc y una proteína sensible al calcio proporcionado por la presente invención puede comprender además al menos un seleccionado del grupo que consiste en un medio para cultivo celular, una disolución de detección, un sustrato luminiscente para la proteína sensible al calcio o una disolución acuosa del mismo, una placa para cultivo celular o un tubo de ensayo, AVP o una disolución acuosa del mismo y un suero de control humano normal.

El kit se puede preparar apropiadamente por los expertos en la técnica. Por ejemplo, cada sustancia que constituye el kit y la composición se envasan individualmente, y estos envases se pueden poner juntos en un recipiente tal como una caja para preparar un kit.

La composición que comprende la célula que expresa V2R, un canal de calcio dependiente de AMPc y una proteína sensible al calcio, como está comprendidos en el kit de la presente invención, se puede preparar apropiadamente, y se prepara, por ejemplo, suspendiendo la célula a una densidad de 3 X 10<sup>6</sup> células/ml en una disolución acuosa.

El medio para cultivo celular es adecuado para mantener la célula proporcionada por la presente invención. El medio para cultivo celular puede ser sin Ca<sup>2+</sup> o sin Ca<sup>2+</sup>/Mg<sup>2+</sup>.

La disolución de detección puede contener CaCl<sub>2</sub>, azul de tripano, un catión que es capaz de causar la luminiscencia de aecuorina y se puede sustituir por calcio (por ejemplo, un ion de cadmio o un ion de estroncio), un ion de magnesio, un ion de cinc, un ion de sulfato y/o un ion de carbonato. Las concentraciones de CaCl<sub>2</sub> y azul de tripano se pueden ajustar apropiadamente por los expertos en la técnica. Por ejemplo, la concentración de CaCl<sub>2</sub> es 9 a 100

mM, y la concentración de azul de tripano es 0,001 a 0,010 %. La disolución de detección es, por ejemplo, una disolución acuosa que contiene CaCl<sub>2</sub> 9 mM y 0,002 % de azul de tripano. La concentración final de CaCl<sub>2</sub> cuando se mide la cantidad de luminiscencia de la proteína sensible al calcio se puede establecer a 3 a 33 mM. Además, la disolución de detección puede contener un catión que se puede sustituir por calcio, un ion de magnesio, un ion de cinc, un ion de sulfato y/o un ion de carbonato, por ejemplo, disolviendo el catión que se puede sustituir por calcio, el ion de magnesio, el ion de cinc, el ion de sulfato y/o el ion de carbonato en la disolución de detección.

5

10

20

25

50

55

El sustrato luminiscente para la proteína sensible al calcio incluye coelenteracina o un derivado de coelenteracina que sirve de sustrato luminiscente para aecuorina. El derivado de coelenteracina incluye ViviRen (R), (Promega Corp.: éster 8-bencil-2-(4-hidroxibencil)-6-(4-hidroxifenil)imidazo[1,2-a]pirazin-3-butiriloximetílico). Se puede establecer apropiadamente la concentración del sustrato luminiscente (por ejemplo, ViviRen) para la proteína sensible al calcio. La disolución acuosa del sustrato luminiscente para la proteína sensible al calcio es, por ejemplo, una disolución acuosa de ViviRen 4 mM (Promega Corp.).

Los ejemplos de la placa para cultivo celular incluyen los que permiten la medición de la cantidad de luminiscencia usando un luminómetro, por ejemplo, una placa de 96 pocillos que permite el cultivo celular.

15 El tubo de ensayo se puede seleccionar apropiadamente por los expertos en la técnica. Por ejemplo, se puede usar un tubo de ensayo adecuado para un aparato para medir la luminiscencia emitida de la proteína sensible al calcio.

Se puede usar AVP como agonista de V2R. Se puede usar AVP como control positivo. AVP puede ser AVP humano. La concentración de AVP se puede preparar apropiadamente por los expertos en la técnica.

El suero de control humano normal se puede usar como control negativo y se puede preparar apropiadamente por los expertos en la técnica.

El kit proporcionado por la presente invención también es útil para ayuda de diagnóstico que ayuda a un médico a diferenciar una enfermedad asociada a AVP (por ejemplo, SIADH o diabetes insípida) de otras enfermedades en vista de los síntomas clínicos del paciente y/u otros resultados de exámenes. Por ejemplo, la medición de la cantidad de AVP en una muestra de sangre de un paciente que presenta síntomas de SIADH usando el kit proporcionado por la presente invención puede ser útil para el diagnóstico diferencial entre SIADH e insuficiencia cardíaca. Además, la medición de la cantidad de AVP en una muestra de sangre de un paciente que presenta síntomas de diabetes insípida usando el kit proporcionado por la presente invención puede ser útil para el diagnóstico diferencial entre diabetes insípida y polidipsia primaria.

El kit que comprende la célula que expresa V2R, un canal de calcio dependiente de AMPc y una proteína sensible al calcio, proporcionado por la presente invención, es capaz de detectar AVP, un agonista de V2R o un antagonista de V2R con alta sensibilidad.

Por consiguiente, el kit proporcionado por la presente invención no incluye preferentemente un instrumento o un aparato para concentrar AVP, un agonista de V2R o un antagonista de V2R de una muestra biológica (por ejemplo, columnas (por ejemplo, columnas C18 tales como columnas Sep-Pak C18) o un aparato de ultrafiltración).

35 <u>3. Célula que expresa receptor de GLP-1, canal de calcio dependiente de AMPc y proteína sensible al calcio, y</u> composición y kit que comprende la célula

En una realización, la presente invención proporciona un kit que comprende una célula que expresa un receptor de GLP-1, un canal de calcio dependiente de AMPc y una proteína sensible al calcio.

El receptor de GLP-1 es un tipo de receptor al que se une un péptido GLP-1. Este receptor aumenta AMPc, activando la adenilato ciclasa. El origen del receptor de GLP-1 es un mamífero. El origen puede ser, por ejemplo, un humano, un ratón, bovino o una rata. Además, el receptor de GLP-1 puede tener uno o varios (por ejemplo, 2, 3, 4, 5, 6, 7, 8, 9 o 10) aminoácidos modificados (añadidos, sustituidos, delecionados) apropiadamente en la secuencia de aminoácidos, o el receptor de GLP-1 puede ser una proteína que consiste en una secuencia de aminoácidos que tiene 70 % o más, 80 % o más, 85 % o más, 90 % o más, 95 % o más, 98 % o más, o 99 % o más de identidad con la secuencia de aminoácidos del receptor de GLP-1 natural; se une a GLP-1; y tiene la función de aumentar AMPc mediante la activación de la adenilato ciclasa.

El receptor de GLP-1 puede ser una proteína que tiene la secuencia de aminoácidos representada por SEQ ID Nº: 8. Además, el receptor de GLP-1 puede ser una proteína que consiste en una secuencia de aminoácidos que tiene 70 % o más, 80 % o más, 85 % o más, 90 % o más, 95 % o más, 98 % o más, o 99 % o más de identidad con la secuencia de aminoácidos representada por SEQ ID Nº: 8; se une a GLP-1; y tiene la función de aumentar AMPc mediante la activación de la adenilato ciclasa.

Como se usa en el presente documento, el péptido relacionado con GLP-1 deriva de un mamífero. El péptido relacionado con GLP-1 puede derivar de, por ejemplo, un humano, un ratón, bovino, una rata o un conejo. GLP-1 puede tener uno o varios (por ejemplo, 2, 3, 4, 5, 6, 7, 8, 9 o 10) aminoácidos modificados (añadidos, sustituidos, delecionados) apropiadamente en la secuencia de aminoácidos o puede tener un grupo modificador tal como un

ácido graso introducido en un aminoácido en el péptido. Alternativamente, GLP-1 puede ser una proteína que consiste en una secuencia de aminoácidos que tiene 70 % o más, 80 % o más, 85 % o más, 90 % o más, 95 % o más, 98 % o más, o 99 % o más de identidad con la secuencia de aminoácidos de GLP-1 natural; se une a un receptor de GLP-1; y tiene la función de aumentar AMPc mediante la activación de la adenilato ciclasa. Además, el fármaco de péptido fisiológicamente activo de tipo GLP-1 puede derivar de, por ejemplo, un lagarto o puede ser una proteína que tiene 50, 60, 70, 80, 90, 95 o 98 % o más de identidad de secuencia de aminoácidos con GLP-1 natural; se une a un receptor de GLP-1; y tiene la función de aumentar AMPc mediante la activación de la adenilato ciclasa. Los ejemplos del fármaco de péptido fisiológicamente activo de tipo GLP-1 incluyen exenatida y liraglutida.

Se puede usar lo descrito anteriormente en "2. Célula que expresa V2R, canal de calcio dependiente de AMPc y proteína sensible al calcio, y composición y kit que comprende la célula" como el canal de calcio dependiente de AMPc y la proteína sensible al calcio.

15

20

25

30

35

40

45

50

55

La célula que expresa un receptor de GLP-1, un canal de calcio dependiente de AMPc y una proteína sensible al calcio, como está comprendida en el kit de la presente invención, expresa transitoria o establemente cada uno del receptor de GLP-1, el canal de calcio dependiente de AMPc y la proteína sensible al calcio. La célula puede ser una línea celular tal como una célula CHO, una célula HEK293 o una célula 3T3. Por ejemplo, la célula que expresa un receptor de GLP-1, un canal de calcio dependiente de AMPc y una proteína sensible al calcio, como está comprendida en el kit de la presente invención, puede ser una célula CHO que expresa establemente cada proteína, en el que el receptor de GLP-1 consiste en la secuencia de aminoácidos representada por SEQ ID Nº: 8, el canal de calcio dependiente de AMPc es el canal de iones CNG modificado que consiste en la secuencia de aminoácidos representada por SEQ ID Nº: 2, y la proteína sensible al calcio es apoaecuorina modificada que consiste en la secuencia de aminoácidos representada por SEQ ID Nº: 3. Además, la célula del receptor de GLP-1, como está comprendida en el kit de la presente invención, puede ser, por ejemplo, una célula CHO que expresa establemente el receptor de GLP-1, el canal de calcio dependiente de AMPc y la proteína sensible al calcio, cada uno de los cuales es una proteína que consiste en una secuencia de aminoácidos que tiene 70 % o más, 80 % o más, 85 % o más, 90 % o más, 95 % o más, 98 % o más, o 99 % o más de identidad con la secuencia de aminoácidos de una cualquiera de SEQ ID Nº: 8, 2 y 3 y mantiene las funciones del receptor de GLP-1, el canal de calcio dependiente de AMPc o la proteína sensible al calcio.

Además, se puede usar una célula que expresa naturalmente una o más proteínas seleccionadas del grupo que consiste en el receptor de GLP-1, el canal de calcio dependiente de AMPc y la proteína sensible al calcio. En este caso, la célula que expresa un receptor de GLP-1, un canal de calcio dependiente de AMPc y una proteína sensible al calcio, como está comprendida en el kit de la presente invención, también se puede preparar forzando a la célula a expresar transitoria o establemente la(s) proteína(s) que no son expresadas en la célula. Los ejemplos de dicha célula incluyen una célula derivada de páncreas que expresa endógenamente el receptor de GLP-1 que es forzado a expresar transitoria o establemente cada uno del canal de calcio dependiente de AMPc y la proteína sensible al calcio y una célula derivada de tejido olfativo que expresa endógenamente el canal de iones CNG que es forzada a expresar transitoria o establemente cada uno del receptor de GLP-1 y la proteína sensible al calcio.

Se puede crioconservar la célula que expresa un receptor de GLP-1, un canal de calcio dependiente de AMPc y una proteína sensible al calcio, como está comprendida en el kit de la presente invención. La crioconservación se puede llevar a cabo similarmente a la célula que expresa V2R, un canal de calcio dependiente de AMPc y una proteína sensible al calcio como se ha descrito anteriormente en "2. Célula que expresa V2R, canal de calcio dependiente de AMPc y proteína sensible al calcio, y composición y kit que comprende la célula".

La célula que expresa un receptor de GLP-1, un canal de calcio dependiente de AMPc y una proteína sensible al calcio, como está comprendida en el kit de la presente invención, mantiene sensibilidad suficiente para detectar GLP-1 presente en sangre humana, incluso después de que se crioconserve y descongele usando un baño caliente. Además, después de descongelar, la célula se transfiere simplemente a un recipiente apropiado y se cultiva durante varias horas en un medio apropiado, y el estado de la célula no se deteriora por un reactivo añadido para detectar GLP-1, o por componentes derivados de sangre humana.

En el presente documento se desvelan una composición y un kit para medir la cantidad de una forma activa de GLP-1 *in vitro*, para medir la actividad de un agonista o antagonista de receptor de GLP-1 o para determinar el efecto terapéutico sobre un humano en el tratamiento de una enfermedad asociada a GLP-1, que comprende la célula que expresa un receptor de GLP-1, un canal de calcio dependiente de AMPc y una proteína sensible al calcio.

La célula que expresa un receptor de GLP-1, un canal de calcio dependiente de AMPc y una proteína sensible al calcio es como se ha descrito anteriormente.

La enfermedad asociada a GLP-1 incluye una enfermedad que se trata deseablemente por potenciamiento en la acción de GLP-1, tal como diabetes mellitus de tipo 2.

En el tratamiento de la diabetes mellitus de tipo 2, se usa un inhibidor de DPP-IV, que es una enzima degradadora de GLP-1, con el fin de potenciar la acción de GLP-1. Alternativamente, se usa un análogo de GLP-1 que tiene resistencia a la degradación por DPP-IV en el tratamiento de la misma.

La cantidad de GLP-1 se puede medir in vitro usando el siguiente evento:

5

25

45

Cuando la forma activa de GLP-1 está presente en una muestra biológica, la forma activa de GLP-1 aumenta AMPc actuando sobre el receptor de GLP-1 expresado en la célula como está comprendida en el kit de la presente invención. Como resultado, el canal de iones CNG se activa de manera que aumenta la entrada de calcio en la célula. Así, la proteína sensible al calcio emite luminiscencia. Esto significa que la presencia de la forma activa de GLP-1 en la muestra se representa por la luminiscencia de la proteína sensible al calcio como salida.

La cantidad de la forma activa de GLP-1 en una muestra biológica se puede medir por el uso del evento usando el kit proporcionado por la presente invención.

La muestra biológica es como se ha descrito anteriormente en "2. Célula que expresa V2R, canal de calcio dependiente de AMPc y proteína sensible al calcio, y composición y kit que comprende la célula".

Además, se puede ensayar la forma activa de GLP-1 en sangre humana u orina usando el kit proporcionado por la presente invención para determinar la eficacia de tratamiento para un humano en tratamiento de una enfermedad asociada a GLP-1, por ejemplo, un humano con diabetes mellitus de tipo 2 en tratamiento que aumenta la cantidad de una forma activa de GLP-1.

Por ejemplo, se pueden medir la concentración de la forma activa de GLP-1 en muestras de sangre recogidas del mismo individuo tanto antes como después del tratamiento, y el cambio dependiente del tiempo en la concentración usando el kit proporcionado por la presente invención para determinar la presencia o ausencia de eficacia del tratamiento. Por ejemplo, cuando la concentración en suero de la forma activa de GLP-1 medida usando la composición como está comprendida en el kit de la presente invención es mayor después del tratamiento que antes del tratamiento, se puede determinar que es eficaz un fármaco terapéutico que aumenta la cantidad de una forma activa de GLP-1 (por ejemplo, un inhibidor de DPP-IV).

Se puede medir la actividad de un agonista o antagonista de GLP-1 usando el kit proporcionado por la presente invención. Por ejemplo, se puede medir la actividad de un agonista de GLP-1 añadiendo el agonista de GLP-1 a la composición como está comprendida en el kit de la presente invención en ausencia de GLP-1 y cuantificando la cantidad de luminiscencia de la proteína sensible al calcio. Además, por ejemplo, se puede medir la actividad de un antagonista de GLP-1 añadiendo el antagonista de GLP-1 a la composición como está comprendida en el kit de la presente invención en presencia de GLP-1 y cuantificando la cantidad de luminiscencia de la proteína sensible al calcio.

Un kit que comprende una composición que comprende la célula que expresa un receptor de GLP-1, un canal de calcio dependiente de AMPc y una proteína sensible al calcio puede comprender además al menos uno seleccionado de un medio para cultivo celular, una disolución de detección, un sustrato luminiscente para la proteína sensible al calcio o una disolución acuosa del mismo, una placa para cultivo celular o un tubo de ensayo, GLP-1 o una disolución acuosa del mismo y un plasma de control humano normal.

El kit se puede preparar apropiadamente por los expertos en la técnica. Por ejemplo, se envasan individualmente cada sustancia que constituye el kit y la composición, y estos envases se pueden poner juntos en un recipiente tal como una caja para preparar un kit.

Se puede usar GLP-1 como un agonista de receptor de GLP-1. Se puede usar GLP-1 como control positivo. GLP-1 puede ser GLP-1 derivado de humano. La concentración de GLP-1 se puede ajustar apropiadamente por los expertos en la técnica.

40 Las otras sustancias contenidas en el kit se pueden preparar con referencia a la descripción de "2. Célula que expresa V2R, canal de calcio dependiente de AMPc y proteína sensible al calcio, y composición y kit que comprende la célula".

El kit que comprende la célula que expresa un receptor de GLP-1, un canal de calcio dependiente de AMPc y una proteína sensible al calcio, proporcionado por la presente invención, es capaz de detectar GLP-1, un agonista de receptor de GLP-1 o un antagonista de receptor de GLP-1 con alta sensibilidad.

Por consiguiente, el kit proporcionado por la presente invención no incluye preferentemente un instrumento o un aparato para concentrar GLP-1, un agonista de receptor de GLP-1 o un antagonista de receptor de GLP-1 de una muestra biológica (por ejemplo, columnas (por ejemplo, columnas C18 tales como columnas Sep-Pak C18) o un aparato de ultrafiltración).

Además, el kit proporcionado por la presente invención puede ser capaz de medir la cantidad total de tanto la forma activa de GLP-1 (7-36) como la forma activa de GLP-1 (7-37) por una única operación.

4. Método de bioensayo que usa célula que expresa V2R, canal de calcio dependiente de AMPc y proteína sensible al calcio

En una realización, la presente invención también proporciona un método de diagnóstico de diabetes insípida o SIADH, un método de determinación de cualquiera de una infusión de líquido hipotónico o hipertónico a seleccionar o un método de determinación del efecto de un fármaco terapéutico relacionado con GLP-1, que comprende las siguientes etapas (A) a (C):

- (A) preparar una mezcla que contiene una célula que expresa V2R, un canal de calcio dependiente de AMPc y una proteína sensible al calcio, un sustrato luminiscente para la proteína sensible al calcio, un medio sin Ca<sup>2+</sup> y una muestra biológica derivada de la sangre de un sujeto de prueba;
- (B) añadir una disolución que contiene Ca<sup>2+</sup> a la mezcla preparada en (A); y
- (C) medir la luminiscencia de la proteína sensible al calcio emitida de la célula.

Los materiales usados en las etapas tales como reactivos, aparatos o muestras biológicas y las condiciones para las etapas se pueden preparar o establecer apropiadamente por los expertos en la técnica con referencia a la descripción de "2. Célula que expresa V2R, canal de calcio dependiente de AMPc y proteína sensible al calcio, y composición y kit que comprende la célula".

Ejemplos de la disolución que contiene Ca<sup>2+</sup> incluyen una disolución de CaCl<sub>2</sub>.

5

10

15

20

25

30

35

40

45

50

El orden de adición de las sustancias descritas en la etapa (A) del método se puede establecer apropiadamente por los expertos en la técnica.

Un método de medición de la cantidad de AVP en una muestra biológica, un método de diagnóstico de una enfermedad asociada a AVP, un método de determinación de un riesgo de desarrollar una enfermedad asociada a AVP y un método de determinación de la eficacia de tratamiento de una enfermedad asociada a AVP puede comprender las siguientes etapas:

- (1) sembrar, en una placa para cultivo celular, una célula que expresa V2R, un canal de calcio dependiente de AMPc y una proteína sensible al calcio, suspendiéndose la célula en un medio sin Ca<sup>2+</sup> complementado con un sustrato luminiscente para la proteína sensible al calcio;
- (2) añadir una muestra biológica derivada de un sujeto de prueba a la célula y cultivar la célula; y
- (3) añadir una disolución de CaCl<sub>2</sub> a la célula cultivada y medir la luminiscencia de la proteína sensible al calcio emitida de la célula.

El cultivo de la célula puede ser cultivo estéril, pero no tiene que ser estéril. Por ejemplo, cuando el tiempo de incubación de la célula está dentro de 4 horas, no se requiere cultivo estéril para dicho corto tiempo.

La luminiscencia se emite por la proteína sensible al calcio, tal como aecuorina, inmediatamente después de la adición de la disolución de CaCl<sub>2</sub> y se puede medir por un método que se conoce bien por los expertos en la técnica. Por ejemplo, se usa un luminómetro capaz de realizar automática y continuamente la agitación y medición (PerkinElmer Inc., ARVO-Sx), y se puede medir la cantidad de luminiscencia integrando los valores de luminiscencia durante 15-30 segundos después de la agitación. El aparato que se puede usar en la medición de la cantidad de luminiscencia se puede seleccionar apropiadamente por los expertos en la técnica.

La cantidad de AVP en la muestra biológica se mide basándose en la cantidad de luminiscencia de la proteína sensible al calcio obtenida como resultado de llevar a cabo el método. Basándose en la cantidad medida de AVP, se diagnostica una enfermedad asociada a AVP, se determina un riesgo de desarrollar una enfermedad asociada a AVP o se determina la eficacia del tratamiento de una enfermedad asociada a AVP. Por ejemplo, cuando la cantidad de luminiscencia emitida de la célula tratada con una muestra de sangre de un sujeto de prueba que se sospecha que tiene SIADH es superior a la emitida de la célula tratada con una muestra de sangre de un individuo normal (estándar), se puede determinar que la concentración en suero de AVP del sujeto de prueba es superior a la del individuo normal. Así, al sujeto de prueba se le diagnostica SIADH. Además, cuando la cantidad de luminiscencia emitida de la célula tratada con una muestra de sangre de un sujeto de prueba que se sospecha que tiene diabetes insípida es inferior a la emitida de la célula tratada con una muestra de sangre de un individuo normal (estándar), se puede determinar que la concentración en suero de AVP del sujeto de prueba es inferior a la del individuo normal. Así, al sujeto de prueba se le diagnostica diabetes insípida.

La composición que comprende la célula que expresa V2R, un canal de calcio dependiente de AMPc y una proteína sensible al calcio, como está comprendida en el kit proporcionado por la presente invención, es capaz de detectar AVP, un agonista de V2R o un antagonista de V2R con alta sensibilidad.

Por consiguiente, el método proporcionado por la presente invención no incluye preferentemente la etapa de concentrar AVP, un agonista de V2R o un antagonista de V2R de una muestra biológica (por ejemplo, la etapa de

uso de columnas (por ejemplo, columnas C18 tales como columnas Sep-Pak C18), la etapa de uso de un aparato de ultrafiltración o la etapa de uso de un aparato de concentración por centrifugación).

En una realización alternativa, la presente invención también proporciona un método de cribado de un antagonista de V2R, que comprende las siguientes etapas (A') a (C'):

- (A') preparar una mezcla que contiene una célula que expresa V2R, un canal de calcio dependiente de AMPc y una proteína sensible al calcio, un sustrato luminiscente para la proteína sensible al calcio, un medio sin Ca<sup>2+</sup>, un agonista de V2R expresado en la célula y un compuesto de prueba;
  - (B') añadir una disolución que contiene Ca2+ a la mezcla preparada en (A'); y
  - (C') medir la luminiscencia de la proteína sensible al calcio emitida de la célula.
- Los materiales usados en las etapas tales como reactivos o aparatos y las condiciones para las etapas se pueden preparar o establecer apropiadamente por los expertos en la técnica con referencia a la descripción de "2. Célula que expresa V2R, canal de calcio dependiente de AMPc y proteína sensible al calcio, y composición y kit que comprende la célula" y el método proporcionado por la presente invención, que comprende las etapas (A)-(C).
- Basándose en la cantidad de luminiscencia de la proteína sensible al calcio obtenida como resultado de llevar a cabo el método, los expertos en la técnica pueden determinar que el compuesto de prueba es o no un antagonista de V2R

En una realización alternativa, la presente invención también proporciona un método de cribado de un antagonista de V2R, que comprende las siguientes etapas (A") a (C"):

- (A") preparar una mezcla que contiene una célula que expresa V2R, un canal de calcio dependiente de AMPc y una proteína sensible al calcio, un sustrato luminiscente para la proteína sensible al calcio, un medio que contiene Ca<sup>2+</sup>, un agonista de V2R expresado en la célula y un compuesto de prueba;
- (B") añadir forskolina a la mezcla preparada en (A"); y

5

20

30

35

45

50

- (C") medir la luminiscencia de la proteína sensible al calcio emitida de la célula.
- Los materiales usados en las etapas tales como reactivos o aparatos y las condiciones para las etapas se pueden preparar o establecer apropiadamente por los expertos en la técnica con referencia a la descripción de "2. Célula que expresa V2R, canal de calcio dependiente de AMPc y proteína sensible al calcio, y composición y kit que comprende la célula" y el método proporcionado por la presente invención, que comprende las etapas (A)-(C).
  - Este método utiliza la desensibilización del canal de calcio dependiente de AMPc para detectar la actividad de un antagonista de V2R. Específicamente, cuando el compuesto de prueba es un antagonista de V2R, se inhibe la unión del agonista de V2R a V2R. En este estado, la adición de forskolina que activa la adenilato ciclasa forma AMPc, que a su vez activa el canal de calcio dependiente de AMPc (por ejemplo, CNG calcio). Así, la proteína sensible al calcio emite luminiscencia. Sin embargo, si el compuesto de prueba no es un antagonista de V2R, el agonista de V2R se une a V2R para formar AMPc antes de la adición de forskolina, de manera que se activa el canal de calcio dependiente de AMPc (por ejemplo, CNG calcio). En este estado, la posterior adición de forskolina desensibiliza el canal de calcio dependiente de AMPc una vez activado, que ya no se activa mediante la adición de forskolina. Así, la proteína sensible al calcio no emite luminiscencia.

El método proporcionado por la presente invención, que comprende las etapas (A") a (C"), puede ser capaz de cuantificar con exactitud la actividad inhibidora de un antagonista de V2R en un alto intervalo de concentración.

Basándose en la cantidad de luminiscencia de la proteína sensible al calcio obtenida como resultado de llevar a cabo el método, los expertos en la técnica pueden determinar que el compuesto de prueba es o no un antagonista de V2R.

Puesto que el antagonista de V2R se puede utilizar como fármaco hipotensor, fármaco terapéutico para hiponatremia, fármaco terapéutico para SIADH, una composición que comprende el compuesto determinado como antagonista de V2R se puede preparar como resultado de llevar a cabo el método como agente hipotensor, agente terapéutico para hiponatremia o agente terapéutico para SIADH.

5. Método de bioensayo usando célula que expresa receptor de GLP-1, canal de calcio dependiente de AMPc y proteína sensible al calcio

En una realización, la presente invención proporciona un método de diagnóstico de diabetes insípida o SIADH, un método de determinación de cualquiera de una infusión de líquido hipotónico o hipertónico a seleccionar o un método de determinación del efecto de un fármaco terapéutico relacionado con GLP-1 que comprende las siguientes etapas (A) a (C):

- (A) preparar una mezcla que contiene una célula que expresa un receptor de GLP-1, un canal de calcio dependiente de AMPc y una proteína sensible al calcio, un sustrato luminiscente para la proteína sensible al calcio, un medio sin Ca<sup>2+</sup> y una muestra derivada de la sangre de un sujeto de prueba;
- (B) añadir una disolución que contiene Ca2+ a la mezcla preparada en (A); y

5

10

15

20

25

35

40

50

(C) medir la luminiscencia de la proteína sensible al calcio emitida de la célula.

Los materiales usados en las etapas tales como reactivos, aparatos o muestras biológicas y las condiciones para las etapas se pueden preparar o establecer apropiadamente por los expertos en la técnica con referencia a la descripción de "3. Célula que expresa receptor de GLP-1, canal de calcio dependiente de AMPc y proteína sensible al calcio, y composición y kit que comprende la célula" y "4. Método de bioensayo usando célula que expresa V2R, canal de calcio dependiente de AMPc y proteína sensible al calcio".

El orden de adición de las sustancias descritas en la etapa (A) del método se puede establecer apropiadamente por los expertos en la técnica.

Un método de medición de la cantidad de una forma activa de GLP-1 en una muestra biológica o un método de determinación de la eficacia de tratamiento de una enfermedad asociada a GLP-1 puede comprender las siguientes etapas:

- (1) sembrar, en una placa para cultivo celular, una célula que expresa un receptor de GLP-1, un canal de calcio dependiente de AMPc y una proteína sensible al calcio, suspendiéndose la célula en un medio sin Ca<sup>2+</sup> complementado con un sustrato luminiscente para la proteína sensible al calcio;
- (2) añadir una muestra biológica derivada de un sujeto de prueba a la célula y cultivar la célula; y
- (3) añadir una disolución de CaCl<sub>2</sub> a la célula cultivada y medir la luminiscencia de la proteína sensible al calcio emitida de la célula.

El cultivo de la etapa (2) puede ser cultivo estéril, pero no tiene que ser estéril. Por ejemplo, cuando el tiempo de incubación de la etapa (2) está dentro de 4 horas, no se requiere cultivo estéril para dicho corto tiempo.

En la etapa (3), la luminiscencia se emite por la proteína sensible al calcio, tal como aecuorina, inmediatamente después de la adición de la disolución de CaCl<sub>2</sub> y se puede medir por un método que se conoce bien por los expertos en la técnica. Por ejemplo, se usa un luminómetro capaz de realizar automática y continuamente la agitación y medición (PerkinElmer Inc., ARVO-Sx), y se puede medir la cantidad de luminiscencia integrando los valores de luminiscencia durante 15-30 segundos después de la agitación. El aparato que se puede usar en la medición de la cantidad de luminiscencia se puede seleccionar apropiadamente por los expertos en la técnica.

30 El kit que comprende la célula que expresa un receptor de GLP-1, un canal de calcio dependiente de AMPc y una proteína sensible al calcio, proporcionado por la presente invención, es capaz de detectar GLP-1, un agonista de receptor de GLP-1 o un antagonista de receptor de GLP-1 con alta sensibilidad.

Por consiguiente, el método proporcionado por la presente invención no incluye preferentemente la etapa de concentrar GLP-1, un agonista de receptor de GLP-1 o un antagonista de receptor de GLP-1 de una muestra biológica (por ejemplo, la etapa de uso de columnas (por ejemplo, columnas C18 tales como columnas Sep-Pak C18), la etapa de uso de un aparato de ultrafiltración o la etapa de uso de un aparato de concentración por centrifugación).

Además, la presente invención proporciona un método de cribado de un antagonista de receptor de GLP-1, que comprende las siguientes etapas (A') a (C'):

- (A') preparar una mezcla que contiene una célula que expresa un receptor de GLP-1, un canal de calcio dependiente de AMPc y una proteína sensible al calcio, un sustrato luminiscente para la proteína sensible al calcio, un medio sin calcio, un agonista de receptor de GLP-1 expresado en la célula y un compuesto de prueba;
- (B') añadir una disolución de calcio que contiene a la mezcla preparada en (A'); y
- 45 (C') medir la luminiscencia de la proteína sensible al calcio emitida de la célula.

Los materiales usados en las etapas tales como reactivos o aparatos y las condiciones para las etapas se pueden preparar o establecer apropiadamente por los expertos en la técnica con referencia a la descripción de "3. Célula que expresa receptor de GLP-1, canal de calcio dependiente de AMPc y proteína sensible al calcio, y composición y kit que comprende la célula", "4. Método de bioensayo usando célula que expresa V2R, canal de calcio dependiente de AMPc y proteína sensible al calcio" y el método proporcionado por la presente invención, que comprende las etapas (A)-(C).

Basándose en la cantidad de luminiscencia de la proteína sensible al calcio obtenida como resultado de llevar a cabo el método, los expertos en la técnica pueden determinar que el compuesto de prueba es o no un antagonista de receptor de GLP-1.

En una realización, un método de cribado de un antagonista de receptor de GLP-1, que comprende las siguientes etapas (A") a (C"):

- (A") preparar una mezcla que contiene una célula que expresa un receptor de GLP-1, un canal de calcio dependiente de AMPc y una proteína sensible al calcio, un sustrato luminiscente para la proteína sensible al calcio, un medio que contiene Ca<sup>2+</sup>, un agonista de receptor de GLP-1 expresado en la célula y un compuesto de prueba;
- 10 (B") añadir forskolina a la mezcla preparada en (A"); y
  - (C") medir la luminiscencia de la proteína sensible al calcio emitida de la célula.

Los materiales usados en las etapas tales como reactivos o aparatos y las condiciones para las etapas se pueden preparar o establecer apropiadamente por los expertos en la técnica con referencia a la descripción de "3. Célula que expresa receptor de GLP-1, canal de calcio dependiente de AMPc y proteína sensible al calcio, y composición y kit que comprende la célula", "4. Método de bioensayo usando célula que expresa V2R, canal de calcio dependiente de AMPc y proteína sensible al calcio" y el método proporcionado por la presente invención, que comprende las etapas (A)-(C).

Basándose en la cantidad de luminiscencia de la proteína sensible al calcio obtenida como resultado de llevar a cabo el método, los expertos en la técnica pueden determinar que el compuesto de prueba es o no un antagonista de receptor de GLP-1.

En lo sucesivo, la presente invención se describirá adicionalmente con referencia a los ejemplos. Los ejemplos que no se encuentran dentro del alcance de las reivindicaciones son para fines ilustrativos.

#### **Ejemplos**

15

20

25

50

A. Experimento en célula que expresa V2R

1. Detalles del método para la construcción de célula congelada

Se amplificó la secuencia de ADNc de V2R humano (Genbank Nº NM\_001146151.1) (SEQ ID Nº: 5) por el método de PCR de una biblioteca de ADNc derivado de humano y se clonó en pUC18. El ADNc de la isoforma 2 del receptor de vasopresina humana (V2R) clonado en pUC18 se reclonó en un vector pEF2 para preparar pEFhV2R.

- Se amplificó la secuencia de ADNc de un canal de calcio dependiente de nucleótido cíclico (Genbank N° BC048775)

  (SEQ ID N°: 4) por el método de PCR a partir de una biblioteca de ADNc derivado de células epiteliales olfativas de ratón (1994 pb) y se clonó en un vector de expresión (pCMVSPORT, Invitrogen Corp.) para preparar pmCNGα2 (Figura 18). Además, para potenciar la selectividad de AMPc y la sensibilidad al mismo, se preparó una construcción pmCNGα2MW que expresa un canal de calcio dependiente de nucleótido cíclico modificado (SEQ ID N°: 6) en el que la 460ª cisteína (C) se sustituye con triptófano (W) y el 583º ácido glutámico (E) se sustituye con metionina (M) por el método de PCR de mutación puntual. Además, se trató una secuencia de ADNc de apoaecuorina sintética (676 pb) (SEQ ID N°: 7) que se optimizó para uso de codones humanos por el método de extensión de ADN de oligonucleótidos, y que tiene una señal de direccionamiento mitocondrial, con las enzimas de restricción Kpnl y Nhel y se clonó en pcDNA3.1 (Invitrogen Corp.) tratado con Kpnl y Nhel para preparar un vector de expresión de aecuorina pcDNA mt sAEQ (Figura 13).
- 40 Se sembraron células CHO a una densidad celular de 1,0×10<sup>5</sup> células/ml en una placa de Petri de 10 cm². Al día siguiente, las células se transfectaron con 1 μg de V2R de pEF2, 2 μg de pmCNGα2MW y 2 μg de pcDNA mt sAEQ por placa de Petri usando FuGENE6 (TM) (Roche Applied Science). Al día siguiente, las células se disociaron de la placa de Petri mediante la adición de 400 μl de una disolución de Versene (EDTA) a la placa de Petri y se suspendieron en un medio de DMEM/F12 que contenía 10 ml de 5 % de FCSc. La suspensión obtenida se centrifugó a 1000 rpm durante 5 min. Entonces, el sedimento se disolvió a una densidad de 2-5 × 10<sup>6</sup> células/ml en 1 ml de CELLBANKER y se almacenó a -80 °C.
  - 2. Curva dependiente de la concentración y sensibilidad de detección más baja de AVP obtenida usando célula congelada

Se descongeló en un baño caliente 1 ml ( $3 \times 10^6$  células/ml) de las células congeladas preparadas en 1 y se suspendieron en 10 ml de un tampón de lavado (medio independiente de CO2 sin calcio, Invitrogen Corp.). Después de la centrifugación a 1000 rpm durante 5 minutos, se añadieron 12 ml de un tampón de cultivo (5% de PEG6000, medio independiente de CO2 sin calcio) al precipitado obtenido, y se añadieron 6 µl de ViviRen 4 mM (Promega Corp.) al mismo. La mezcla se sembró a 50 µl/pocillo en una placa de 96 pocillos. Se añadió adicionalmente a la misma (n = 3) a 50 µl/pocillo AVP diluida en serie con un tampón de muestra, y las células se cultivaron a

temperatura ambiente durante 3 h. Se añadió a la misma a 100 µl/pocillo disolución 3 mM de CaCl<sub>2</sub>, y se midió la cantidad de luminiscencia usando un luminómetro (PerkinElmer Inc., ARVO-Sx; en lo sucesivo, se usó el mismo modelo en los ejemplos). Se muestra en la Figura 1 una curva dependiente de la concentración de AVP.

Como se muestra en la Figura 2 (vista ampliada del intervalo de baja concentración), la cantidad detectable mínima para AVP fue 0,63 pg/ml, de manera que el valor detectado fue capaz de ser significativamente discriminado del valor que se calcula por el valor del blanco + 3 DE. Además, puesto que la aecuorina realiza reacción luminiscente, se obtuvo por este método una alta relación entre señal y blanco (relación S/N) (es decir, a 80 pg/ml de AVP, relación S/N de aproximadamente 56 veces (3194263/56805)).

#### 4. Estudio del tiempo de incubación después de la adición de sustrato (ViviRen) para la luminiscencia de aecuorina

Se descongeló en un baño caliente 1 ml (3 × 10<sup>6</sup> células/ml) de las células congeladas preparadas en 1 y se suspendieron en 12 ml de un tampón de lavado. Después de la centrifugación a 1000 rpm durante 5 min, se añadieron 12 ml de un tampón de cultivo al precipitado obtenido, y se añadieron 6 μl de ViviRen 4 mM al mismo. La mezcla se sembró a 50 μl/pocillo en una placa de 96 pocillos. Se añadió a la misma a 50 μl/pocillo AVP diluida en serie con un tampón de cultivo. Después de 1, 2, 3, 4 o 5 h, se añadió a la misma a 100 μl/pocillo disolución 3 mM de CaCl₂, y se midió la cantidad de luminiscencia usando un luminómetro. Se demostró que la cantidad de luminiscencia alcanzó una meseta 4 h después de la adición de ViviRen (véase la Figura 3).

#### 5. Estudio de la cantidad de plásmido de receptor usada en la transfección

Se sembraron 10 ml de células CHO que tienen una densidad de  $1 \times 10^5$  células/ml en una placa de Petri de  $10 \text{ cm}^2$  y se cultivaron durante 1 d. Entonces, se mezclaron 3 µg de pcDNA mt sAEQ, 1 µg de pmCNG $\alpha$ 2MW y 0 a 1 µg de plásmido de V2R de pEF2 y se mezclaron adicionalmente con 600 µl de DMEM/F12 y 18 µl de FuGENE6 (Roche Applied Science), y se realizó la transfección. Después del cultivo adicional durante la noche, el medio se retiró, y las células se lavaron con 10 ml de PBS. Entonces, se añadió a las mismas 800 µl de Versene, y las células se cultivaron a 37 °C durante 5 min y luego se suspendieron en 10 ml de un tampón de lavado. Después de la centrifugación a 1000 rpm durante 5 min, el precipitado se disolvió en 12 ml de un cultivo tampón, y se añadió al mismo 6,5 µl de ViviRen 4 mM. La suspensión de células se sembró a 50 µl/pocillo en una placa de 96 pocillos complementada con 50 µl/pocillo de una serie de concentración de AVP. Después del cultivo a temperatura ambiente durante 3 h, se añadió a la misma a 100 µl/pocillo disolución 3 mM de CaCl<sub>2</sub>, y se midió la cantidad de luminiscencia usando un luminómetro.

Se demostró que se requirió el plásmido de receptor en una cantidad de 1 µg/placa en la transfección para obtener la cantidad óptima de luminiscencia (véase la Figura 4).

#### 6. Optimización de la densidad celular

5

20

25

30

35

40

45

Se descongeló en un baño caliente 1 ml ( $3 \times 10^6$  células/ml) de las células congeladas preparadas en 1 y se suspendieron en 10 ml de un tampón de muestra. Después de la centrifugación a 1000 rpm durante 5 min, se añadieron 10 ml de un tampón de muestra al precipitado obtenido. Se preparó una serie de células cuya densidad celular se ajustó a las densidades  $1,0 \times 10^5$  células/ml a  $2 \times 10^6$  células/ml. Las células se suspendieron mediante la adición de 6  $\mu$ l de ViviRen 4 mM. La suspensión de células se sembró en una placa de 96 pocillos complementada con 50  $\mu$ l/pocillo de AVP diluida en serie con un tampón de cultivo. Después del cultivo durante 3 h, se añadió a la misma disolución 3 mM de CaCl<sub>2</sub> a 100  $\mu$ l/pocillo, y se midió la cantidad de luminiscencia usando un luminómetro.

Como se muestra en las Figuras 5 y 6, la cantidad de luminiscencia aumentó en un modo dependiente de la densidad celular.

#### 7. Estudio de la concentración de disolución de detección de CaCl<sub>2</sub> añadida

Se descongeló en un baño caliente 1 ml ( $3 \times 10^6$  células/ml) de las células congeladas preparadas en 1 y se suspendieron en 10 ml de un tampón de lavado. Después de la centrifugación a 1000 rpm durante 5 minutos, se añadieron 12 ml de un tampón de cultivo al precipitado obtenido, y se añadieron 6  $\mu$ l de ViviRen 4 mM al mismo. La mezcla se sembró a 50  $\mu$ l/pocillo en una placa de 96 pocillos. Se añadió a la misma a 50  $\mu$ l/pocillo AVP diluida en serie con un tampón de cultivo, y las células se cultivaron durante 3 h. Entonces, se añadió a la misma a 100  $\mu$ l/pocillo una disolución de detección de CaCl<sub>2</sub> (concentraciones finales: 0 a 30 mM), y se midió la cantidad de luminiscencia usando un luminómetro.

Se demostró que las concentraciones óptimas de CaCl<sub>2</sub> fueron 30 mM a las que se obtuvieron un bajo valor en el fondo (0) y la alta cantidad de luminiscencia en la muestra (véase la Figura 7).

#### 8. Estudio de la linealidad de la dilución usando disolución de AVP

Se descongeló en un baño caliente 1 ml (3  $\times$  10 $^6$  células/ml) de las células congeladas preparadas en 1 y se suspendieron en 10 ml de un tampón de lavado. Después de la centrifugación a 1000 rpm durante 5 min, se añadieron 12 ml de un tampón de cultivo al precipitado obtenido, y se añadieron 6  $\mu$ l de ViviRen 4 mM al mismo. La

mezcla se sembró a 50 μl/pocillo en una placa de 96 pocillos. Las células se cultivaron durante 3 h con una disolución de AVP diluida 1/2, 1/4, 1/8, 1/16 o 1/32 veces con un tampón de muestra.

Después del cultivo durante 3 horas, se añadió a la misma a 100 µl/pocillo disolución 3 mM de CaCl<sub>2</sub>, y se midió la cantidad de luminiscencia usando un luminómetro.

5 Como se muestra en la Figura 8, se confirmó que la cantidad de luminiscencia aumentó con la linealidad.

### 11. Comparación de sensibilidad con el kit existente que usa disolución de AVP

Se descongeló en un baño caliente 1 ml ( $3 \times 10^6$  células/ml) de las células congeladas preparadas en 1 y se suspendieron en 10 ml de un tampón de lavado. Después de la centrifugación a 1000 rpm durante 5 min, se añadieron 12 ml de un tampón de cultivo al precipitado obtenido, y se añadieron 6  $\mu$ l de ViviRen 4 mM al mismo. La mezcla se sembró a 50  $\mu$ l/pocillo en una placa de 96 pocillos. Las células se cultivaron durante 3 h con una disolución de AVP diluida 1/2, 1/4, 1/8, 1/16 o 1/32 veces con un tampón de muestra.

También se muestran valores por separado medidos usando el kit existente Mitsubishi Chemical Medience AVP-RIA. Los valores obtenidos usando el kit de RIA se indican por una tasa de inhibición competitiva (% de B/B0) contra AVP radiomarcada. Así, para la comparación, se muestran valores calculados según la ecuación 100 - (cantidad de luminiscencia a cada concentración / la máxima cantidad de luminiscencia) \* 100. Se confirmó que el kit de la presente invención mantenía la linealidad incluso a una dosis de 20 pg/ml o superior y tenía excelente sensibilidad, en comparación con el kit de RIA existente (véase la Figura 9).

#### 12. Estudio usando muestra clínica humana

10

15

30

35

40

45

50

Se descongeló en un baño caliente 1 ml (3 × 10<sup>6</sup> células/ml) de las células congeladas preparadas en 1 y se suspendieron en 10 ml de un tampón de lavado. Después de la centrifugación a 1000 rpm durante 5 min, se añadieron 12 ml de un tampón de cultivo al precipitado obtenido, y se añadieron 6 μl de ViviRen 4 mM al mismo. La mezcla se sembró a 50 μl/pocillo en una placa de 96 pocillos. Se usaron una serie de dilución de AVP que sirvió de disolución patrón, plasma individual normal y plasma con un alto nivel de AVP preparado mediante la adición de AVP. Se diluyeron 80 μl de una muestra mediante la adición de 320 μl de un tampón de cultivo y se añadieron a la placa a 50 μl/pocillo, y las células se cultivaron durante 3 h. Se añadió a la misma a 100 μl/pocillo disolución 3 mM de CaCl<sub>2</sub>, y se midió la cantidad de luminiscencia usando un luminómetro.

#### 13. Estudio del cambio dependiente del tiempo en la luminiscencia usando el kit que usa célula congelada

Se descongeló en un baño caliente 1 ml ( $3 \times 10^6$  células/ml) de las células congeladas preparadas en 1 y se suspendieron en 10 ml de un tampón de lavado. Después de la centrifugación a 1000 rpm durante 5 min, se añadieron 12 ml de un tampón de cultivo al precipitado obtenido, y se añadieron 6 µl de ViviRen 4 mM al mismo. La mezcla se sembró a 50 µl/pocillo en una placa de 96 pocillos. Se añadió a la misma a 50 µl/pocillo AVP diluida en serie con un tampón de cultivo, y las células se cultivaron durante 3 h. Se añadió a la misma a 100 µl/pocillo disolución 3 mM de CaCl<sub>2</sub> y se agitó durante 3 s. Entonces, se midió la cantidad de luminiscencia con el tiempo durante 12 s usando un luminómetro. Como resultado, como se muestra en la Figura 11, se observó luminiscencia relativamente estable tan pronto como se añadió la disolución de CaCl<sub>2</sub>.

#### 14. Estudio de la detección de AVP y antagonista de V2R por desensibilización

Se descongeló en un baño caliente 1 ml (3 × 10<sup>6</sup> células/ml) de las células congeladas preparadas en 1 y se suspendieron en 10 ml de un tampón de lavado. La suspensión se centrifugó a 1000 rpm durante 5 min. Se añadieron 12 ml de un tampón de cultivo al precipitado obtenido, y se añadieron 6 µl de ViviRen 4 mM al mismo. La mezcla se sembró a 50 µl/pocillo en una placa de 96 pocillos. Se añadieron a la misma AVP diluida en serie con un tampón de cultivo que contenía calcio, y OPC-41061 a 50 µl/pocillo, y las células se cultivaron durante 3 h. Se añadió a la misma a 50 µl/pocillo AVP 10<sup>-7</sup> M, y se midió la cantidad de luminiscencia usando un luminómetro (Figuras 14 y 15). El antagonista de la vasopresina OPC-41061 inhibió la acción de AVP añadida en un modo dependiente de la concentración (Figura 14). Además, cuando se hicieron reaccionar AVP y las células en un medio que contenía calcio, la re-adición de AVP no causó la luminiscencia debido a la reacción que una vez ocurrió en presencia de una alta concentración de AVP. La desensibilización disminuyó la cantidad de luminiscencia en un modo dependiente de la concentración. Posteriormente, se añadió adicionalmente forskolina 10<sup>-4</sup> M a la misma a 50 µl/pocillo, y se midió la cantidad de luminiscencia usando un luminómetro (Figura 16). Solo cuando el antagonista de la vasopresina inhibió la acción de AVP añadida, se detectó la luminiscencia de forskolina en un modo dependiente de la concentración. Así, se demostró que se puede detectar por desensibilización un antagonista de la vasopresina.

#### B. Experimento en célula que expresa receptor de GLP-1

5

10

15

20

45

#### 1. Detalles del método de construcción de célula congelada

Se amplificó la secuencia de ADNc del receptor de GLP-1 humano (Genbank N° BC113493) (SEQ ID N°: 9) por el método de PCR de una biblioteca de ADNc derivado de humano y se clonó en pUC18. El ADNc de receptor de GLP-1 humano (GLP-1R) clonado en pUC18 se reclonó en un vector pClneo para preparar pClneoGLP-1R.

Se amplificó la secuencia de ADNc de un canal de calcio dependiente de nucleótido cíclico (Genbank Nº BC048775) por el método de PCR a partir de una biblioteca de ADNc derivado de células epiteliales olfativas de ratón (1994 pb) y se clonó en un vector de expresión (pCMVSPORT, Invitrogen Corp.) para preparar pmCNGα2. Además, para potenciar la selectividad de AMPc y la sensibilidad al mismo, se preparó una construcción pmCNGα2MW que expresa un canal de calcio dependiente de nucleótido cíclico modificado en el que la 460ª cisteína (C) se sustituye con triptófano (W) y el 583º ácido glutámico (E) se sustituye con metionina (M) por el punto-mutación método de PCR. Además, se trató una secuencia de ADNc de apoaecuorina sintética (676 pb) que se optimizó para uso de codones humanos por el método de extensión de ADN de oligonucleótidos, y que tiene una señal de direccionamiento mitocondrial, con enzimas de restricción Kpnl y Nhel y se clonó en pcDNA3.1 (Invitrogen Corp.) tratado con Kpnl y Nhel para preparar un vector de expresión de aecuorina pcDNA mt sAEQ.

Se sembraron líneas celulares CHO a una densidad celular de  $1.0 \times 10^5$  células/ml en una placa de Petri de  $10 \text{ cm}^2$ . Al día siguiente, las células se transfectaron con  $0.1 \text{ }\mu\text{g}$  de pCIneoGLP-1R,  $1 \text{ }\mu\text{g}$  de pmCNG $\alpha$ 2MW y 4  $\mu\text{g}$  de pcDNA mt sAEQ por placa de Petri usando FuGENE6 (TM) (Roche Applied Science). Al día siguiente, las células se disociaron de la placa de Petri mediante la adición de  $400 \text{ }\mu\text{l}$  de una disolución de Versene (EDTA) a la placa de Petri y se suspendieron en un medio de DMEM/F12 que contenía 10 ml de 5 % de FCSc. La suspensión obtenida se centrifugó a 1000 rpm durante 5 min. Entonces, el sedimento se disolvió a una densidad de  $2-5 \times 10^6 \text{ células/ml}$  en 1 ml de CELLBANKER y se almacenó a  $-80 \text{ }^{\circ}\text{C}$ .

# 2. Curva dependiente de la concentración y sensibilidad de detección más baja de GLP-1 obtenida usando célula congelada

- Se descongeló en un baño caliente 1 ml (3 × 10<sup>6</sup> células/ml) de las células congeladas preparadas en 1 y se suspendieron en 10 ml de un tampón de lavado (medio independiente de CO<sub>2</sub> sin calcio, Invitrogen Corp.). Después de la centrifugación a 1000 rpm durante 5 min, se añadieron 12 ml de un tampón de cultivo (5 % de PEG6000, medio independiente de CO<sub>2</sub> sin calcio) al precipitado obtenido, y se añadieron 6 μl de 4 mM ViviRen (Promega Corp.) al mismo. La mezcla se sembró a 90 μl/pocillo en una placa de 96 pocillos. Se añadió adicionalmente a la misma (n = 3) a 10 μl/pocillo la forma activa de GLP-1 (7-36 amida) diluida en serie con un tampón de muestra, y las células se cultivaron a temperatura ambiente durante 3 h. Se añadió a la misma a 50 μl/pocillo disolución 100 mM de CaCl<sub>2</sub>, y se midió la cantidad de luminiscencia usando un luminómetro (PerkinElmer Inc., ARVO-Sx; en lo sucesivo, se usó el mismo modelo en los ejemplos). Se muestra en la Figura 17 una curva dependiente de la concentración de la forma activa de GLP-1.
- La cantidad detectable mínima para la forma activa de GLP-1 fue 0,078 pg/ml de manera que el valor detectado fue capaz de ser significativamente discriminado del valor que se calcula por el valor del blanco + 3 DE. Además, puesto que la aecuorina realiza reacción luminiscente, se obtuvo por este método una alta relación entre señal y blanco (relación S/N) (es decir, a 33 pg/ml de forma activa de GLP-1, relación S/N de aproximadamente 9,3 veces (902623 / 96686)).
- 40 3. Estudio del tiempo de incubación después de la adición de sustrato (ViviRen) para la luminiscencia de aecuorina

Se descongeló en un baño caliente 1 ml ( $3 \times 10^6$  células/ml) de las células congeladas preparadas en 1 y se suspendieron en 12 ml de un tampón de lavado. Después de la centrifugación a 1000 rpm durante 5 minutos, se añadieron 12 ml de un tampón de cultivo al precipitado obtenido, y se añadieron 6  $\mu$ l de ViviRen 4 mM al mismo. La mezcla se sembró a 90  $\mu$ l/pocillo en una placa de 96 pocillos. Se añadió a la misma a 10  $\mu$ l/pocillo la forma activa de GLP-1 diluida en serie con un tampón de cultivo. Después de 0, 1, 2, 3, 4, 5 o 7 h, se añadió a la misma a 50  $\mu$ l/pocillo la disolución 100 mM de CaCl<sub>2</sub>, y se midió la cantidad de luminiscencia usando un luminómetro. Se demostró que la cantidad de luminiscencia alcanzó una meseta 3 h después de la adición de ViviRen (véase la Figura 18).

#### 4. Estudio de la cantidad de plásmido de receptor usada en la transfección

Se sembraron 10 ml de células CHO que tienen una densidad de 0,7 × 10<sup>5</sup> células/ml en una placa de Petri de 10 cm² y se cultivaron durante 1 d. Entonces, se mezclaron 4 μg de pcDNA mt sAEQ, 1 μg de pmCNGα2MW y 0 a 1 μg de plásmido de receptor de pClneoGLP-1 y se mezclaron adicionalmente con 600 μl de DMEM/F12 y 18 μl de FuGENE6 (Roche Applied Science), y se realizó la transfección. Después del cultivo adicional durante la noche, el medio se retiró, y las células se lavaron con 10 ml de PBS. Entonces, se añadió a las mismas 800 μl de Versene, y las células se cultivaron a 37 °C durante 5 min y entonces se suspendieron en 10 ml de un tampón de lavado. Después de la centrifugación a 1000 rpm durante 5 min, el precipitado se disolvió en 12 ml de un cultivo tampón, y se añadieron 6 μl de ViviRen 4 mM al mismo. La suspensión de células se sembró a 90 μl/pocillo en una placa de 96

pocillos complementada con 10  $\mu$ l/pocillo de una serie de concentración de GLP-1. Después del cultivo a temperatura ambiente durante 3 h, se añadió a la misma a 50  $\mu$ l/pocillo disolución 100 mM de CaCl<sub>2</sub>, y se midió la cantidad de luminiscencia usando un luminómetro.

Se demostró que el plásmido de receptor se requirió en una cantidad de 0,1 μg/placa en transfección para obtener la cantidad óptima de luminiscencia (véase la Figura 19).

#### 5. Optimización de la densidad celular

5

10

15

20

30

35

45

50

Se descongeló en un baño caliente 1 ml ( $3 \times 10^6$  células/ml) de las células congeladas preparadas en 1 y se suspendieron en 10 ml de un tampón de muestra. Después de la centrifugación a 1000 rpm durante 5 min, se añadieron 10 ml de un tampón de muestra al precipitado obtenido. Se preparó una serie de células cuya densidad celular se ajustó a las densidades  $1,25 \times 10^5$  células/ml a  $1 \times 10^6$  células/ml. Las células se suspendieron mediante la adición de 6 µl de 4 mM ViviRen. La suspensión de células se sembró en una placa de 96 pocillos complementada con  $50 \mu l$ /pocillo de GLP-1 diluido en serie con un tampón de cultivo. Después del cultivo durante 3 h, se añadió a la misma a  $100 \mu l$ /pocillo disolución  $100 \mu l$ 0 mM de CaCl2, y se midió la cantidad de luminiscencia usando un luminómetro.

Como se muestra en las Figuras 20 y 21, la cantidad de luminiscencia aumentó en un modo dependiente de la densidad celular.

#### 6. Estudio de la linealidad de la dilución usando disolución de GLP-1

Se descongeló en un baño caliente 1 ml ( $3 \times 10^6$  células/ml) de las células congeladas preparadas en 1 y se suspendieron en 10 ml de un tampón de lavado. Después de la centrifugación a 1000 rpm durante 5 min, se añadieron 12 ml de un tampón de cultivo al precipitado obtenido, y se añadieron 6  $\mu$ l de ViviRen 4 mM al mismo. La mezcla se sembró a 50  $\mu$ l/pocillo en una placa de 96 pocillos. Las células se cultivaron durante 3 h con una disolución de GLP-1 diluido 1/2, 1/4, 1/8, 1/16 o 1/32 veces con un tampón de muestra.

Después del cultivo durante 3 h, se añadió a la misma a 50 µl/pocillo disolución 100 mM de CaCl<sub>2</sub>, y se midió la cantidad de luminiscencia usando un luminómetro.

Como se muestra en la Figura 22, se confirmó que la cantidad de luminiscencia aumentó con la linealidad.

#### 25 7. Comparación de sensibilidad con el kit existente que usa disolución de GLP-1

Se descongeló en un baño caliente 1 ml ( $3 \times 10^6$  células/ml) de las células congeladas preparadas en 1 y se suspendieron en 10 ml de un tampón de lavado. Después de la centrifugación a 1000 rpm durante 5 min, se añadieron 12 ml de un tampón de cultivo al precipitado obtenido, y se añadieron 6  $\mu$ l de ViviRen 4 mM al mismo. La mezcla se sembró a 90  $\mu$ l/pocillo en una placa de 96 pocillos. Las células se cultivaron durante 4 h con una disolución de AVP diluida 1/2, 1/4, 1/8, 1/16 o 1/32 veces con un tampón de muestra.

También se muestran valores por separado medidos usando el kit existente Millipore GLP-1 (Active)-ELISA (EGLP-35K). El kit de ELISA mide la intensidad de fluorescencia mientras que el kit de la presente invención mide la intensidad de quimioluminiscencia. Así, para la comparación, se muestra un valor relativo (%) con respecto a la máxima cantidad de luz (fluorescencia o luminiscencia) emitida de cada muestra. Se confirmó que el kit de la presente invención mantenía la linealidad incluso a una dosis de 1 pg/ml o inferior y tenía excelente sensibilidad, en comparación con el kit de ELISA existente (véase la Figura 23). La sensibilidad de detección más baja fue 3,73 pg/ml para el kit de ELISA existente y 0,078 pg/ml para el kit de la presente invención.

Además, se demostró que el kit proporcionado por la presente invención puede medir la forma activa de GLP-1 en un intervalo de concentración más amplio que el del kit de ELISA existente (véase la Figura 23).

## 40 8. Estudio de la especificidad del kit usando péptido de tipo GLP-1

Se descongeló en un baño caliente 1 ml (3 × 10<sup>6</sup> células/ml) de las células congeladas preparadas en 1 y se suspendieron en 10 ml de un tampón de lavado. Después de la centrifugación a 1000 rpm durante 5 min, se añadieron 12 ml de un tampón de cultivo al precipitado obtenido, y se añadieron 6 µl de ViviRen 4 mM al mismo. La mezcla se sembró a 90 µl/pocillo en una placa de 96 pocillos. Las células se cultivaron durante 3 h con una disolución de péptido de tipo GLP-1 diluida 1/10, 1/100, 1/1000, 1/10000 o 1/10<sup>5</sup> veces con un tampón de muestra. La sensibilidad de la medición del péptido de tipo GLP-1 del kit de la presente invención se indica por el valor de CE50 (pM) de cada péptido (véase la Figura 24). El kit presentó reactividad por el precursor GLP-1 (1-37), oxintomodulina y glucagón, que son agonistas débiles contra el receptor de GLP-1, a una concentración 10000 veces superior en comparación con las formas activas (GLP-1 (7-37) y GLP-1 (7-36 amida)) de GLP-1. Además, el kit reaccionó difícilmente con GLP-1 (9-36 amida), que se forma por la degradación *in vivo* de la forma activa de GLP-1, o GIP o GLP-2, que es incretina que actúa sobre otros receptores, incluso a una concentración 1 millón de veces superior en comparación con las formas activas de GLP-1. Se demostró que el kit de la presente invención es capaz de ensayar las formas activas de GLP-1, es decir, GLP-1 (7-36 amida) y GLP-1 (7-37), con sensibilidad y especificidad extremadamente altas.

### 9. Ensayo de la forma activa de GLP-1 en plasma humano

Se descongeló en un baño caliente 1 ml (3 × 10<sup>6</sup> células/ml) de las células congeladas preparadas en 1 y se suspendieron en 10 ml de un tampón de lavado. Después de la centrifugación a 1000 rpm durante 5 min, se añadieron 12 ml de un tampón de cultivo al precipitado obtenido, y se añadieron 6 µl de ViviRen 4 mM al mismo. La mezcla se sembró a 50 µl/pocillo en una placa de 96 pocillos. Se usaron muestras que contenían GLP-1 preparadas añadiendo la forma activa de GLP-1 (7-36 amida) a una concentración final de 16,5 pg/ml (5 pM) a plasma individual normal o una disolución de tampón. Se añadió inhibidor de DPP-IV de Millipore (DPP44-010) a una concentración de 20 µl por m de plasma con el fin de inhibir la actividad de la peptidasa DPP-IV en plasma. La mezcla se añadió a la placa a 10 µl/pocillo, y las células se cultivaron durante 4 h. Se añadió a la misma a 50 µl/pocillo disolución 100 mM de CaCl₂, y se midió la cantidad de luminiscencia usando un luminómetro. Los resultados se muestran en la Figura 25.

La actividad de GLP-1 desapareció con el tiempo en el plasma humano en comparación con la disolución de tampón, y la desaparición se inhibió por el inhibidor de DPP-IV. Se pudo monitorizar la degradación de GLP-1 por la actividad de la enzima DPP-IV usando el kit de la presente invención.

## 15 <u>10. Detección de agonista de GLP-1 y antagonista d</u>e GLP-1

Se descongeló en un baño caliente 1 ml ( $3 \times 10^6$  células/ml) de las células congeladas preparadas en 1 y se suspendieron en 10 ml de un tampón de lavado. La suspensión se centrifugó a 1000 rpm durante 5 min. Se añadieron 12 ml de un tampón de cultivo al precipitado obtenido, y se añadieron 6 µl de ViviRen 4 mM al mismo. La mezcla se sembró a 90 µl/pocillo en una placa de 96 pocillos. Se añadió a la misma exenatida diluida en serie con un tampón de cultivo que contenía calcio, y las células se cultivaron durante 3 h. Se añadió a la misma a 50 µl/pocillo disolución 100 mM de CaCl<sub>2</sub>, y se midió la cantidad de luminiscencia usando un luminómetro (Figura 26). La exenatida es un péptido de tipo GLP-1 contenido en la glándula salival del lagarto el monstruo de Gila y tiene una larga semivida debido a su resistencia a DPP-IV. La exenatida ya ha sido lanzada como un fármaco terapéutico para la diabetes mellitus de tipo 2. Se demostró que el kit de la presente invención puede ensayar no solo GLP- 1 natural, sino también un análogo que tiene actividad agonista de receptor de GLP-1 con alta sensibilidad.

A continuación, se midió la actividad de un antagonista de GLP-1. Se descongeló en un baño caliente 1 ml  $(3 \times 10^6 \text{ células/ml})$  de las células congeladas preparadas en 1 y se suspendieron en 10 ml de un tampón de lavado. La suspensión se centrifugó a 1000 rpm durante 5 min. Se añadieron 12 ml de un tampón de cultivo al precipitado obtenido, y se añadieron 6  $\mu$ l de ViviRen 4 mM al mismo. La mezcla se sembró a 90  $\mu$ l/pocillo en una placa de 96 pocillos.

Se añadió a la misma a 10  $\mu$ l/pocillo exendina-4 (9-39), y las células se cultivaron durante 3 h. se añadió a la misma a 10  $\mu$ l/pocillo GLP-1  $10^{-11}$  M, y se midió la cantidad de luminiscencia usando un luminómetro. El antagonista de GLP-1 exendina-4 (9-39) inhibió la acción agonista de GLP-1 añadido en un modo dependiente de la concentración (Figura 27).

### 35 Aplicabilidad industrial

La presente invención puede proporcionar un método y un kit para diagnosticar diabetes insípida o SIADH, para determinar cualquiera de una infusión de líquido hipotónico o hipertónico a seleccionar y para determinar el efecto de un fármaco terapéutico relacionado con GLP-1.

#### LISTADO DE SECUENCIAS

40 <110> Otsuka Pharmaceutical Co., Ltd.

<120> Un método de bioensayo para la detección de una sustancia fisiológicamente activa

<130> 670631

45

5

10

20

25

30

<150> JP 2010-288305

<151> 24-12-2010

<160>9

	<170> Pate	entIn v	/ersió	n 3.2													
	<210> 1																
	<211> 309																
5	<212> PRT	-															
	<213> Hum	nana															
	<400> 1																
		Met 1	Leu	Met	Ala	Ser 5	Thr	Thr	Ser	Ala	Val 10	Pro	Gly	His	Pro	Ser 15	Leu
		Pro	Ser	Leu	Pro 20	Ser	Asn	Ser	Ser	Gln 25	Glu	Arg	Pro	Leu	Asp 30	Thr	Arg
		Asp	Pro	Leu 35	Leu	Ala	Arg	Ala	Glu 40	Leu	Ala	Leu	Leu	Ser 45	Ile	Val	Phe
		Val	<b>Ala</b> 50	Val	Ala	Leu	Ser	Asn 55	Gly	Leu	Val	Leu	Ala 60	Ala	Leu	Ala	Arg
		Arg 65	Gly	Arg	Arg	Gly	His 70	Trp	Ala	Pro	Ile	His 75	Val	Phe	Ile	Gly	His 80
		Leu	Cys	Leu	Ala	<b>Asp</b> 85	Leu	Ala	Val	Ala	Leu 90	Phe	Gln	Val	Leu	Pro 95	Gln
		Leu	Ala	Trp	Lys 100	Ala	Thr	Asp	Arg	Phe 105	Arg	Gly	Pro	Asp	Ala 110	Leu	Cys
		Arg	Ala	Val 115	Lys	Tyr	Leu	Gln	<b>Met</b> 120	Val	Gly	Met	Tyr	Ala 125	Ser	Ser	Tyr
		Met	Ile	Leu	Ala	Met		Leu	_	Arg	His	_	Ala		Cys	Arg	Pro

	Leu	Val	Ala	Trp	Ala 165	Phe	Ser	Leu	Leu	Leu 170	Ser	Leu	Pro	Gln	Leu 175	Phe
	Ile	Phe	Ala	Gln 180	Arg	Asn	Val	Glu	Gly 185	Gly	Ser	Gly	Val	Thr 190	Asp	Cys
	Trp	Ala	Cys 195	Phe	Ala	Glu	Pro	Trp 200	Gly	Arg	Arg	Thr	Tyr 205	Val	Thr	Trp
	Ile	Ala 210	Leu	Met	Val	Phe	Val 215	Ala	Pro	Thr	Leu	Gly 220	Ile	Ala	Ala	Cys
	Gln 225	Val	Leu	Ile	Phe	Arg 230	Glu	Ile	His	Ala	Ser 235	Leu	Val	Pro	Gly	Pro 240
	Ser	Glu	Arg	Pro	Gly 245	Gly	Arg	Arg	Arg	Gly 250	Arg	Arg	Thr	Gly	Ser 255	Pro
	Gly	Glu	Gly	Ala 260	His	Val	Ser	Ala	Ala 265	Val	Ala	Lys	Thr	Val 270	Arg	Met
	Thr	Leu	<b>Val</b> 275	Ile	Val	Val	Val	<b>Tyr</b> 280	Val	Leu	Cys	Trp	Ala 285	Pro	Phe	Phe
	Leu	<b>V</b> al 290	Gln	Leu	Trp	Ala	Ala 295	Trp	Asp	Pro	Glu	Ala 300	Pro	Leu	Glu	Gly
	G <b>ly</b> 305	Cys	Ser	Arg	Gly											
<210> 2																
<211> 664																
<212> PRT	-															
<213> Artifi	icial															
<220>																
<223> CNO	3 alfa	2 mo	difica	do												
<400> 2																

5

His Asn His His Pro Pro Pro Ser Ile Lys Ala Asn Gly Lys Asp Asp 20 25

His Arg Ala Gly Ser Arg Pro Gln Ser Val Ala Ala Asp Asp Asp Thr 35

Ser Ser Glu Leu Gln Arg Leu Ala Glu Met Asp Thr Pro Arg Arg Gly 50

Arg 65	Gly	Gly	Phe	Arg	Arg 70	Ile	Val	Arg	Leu	Val 75	Gly	Ile	Ile	Arg	Asp 80
Trp	Ala	Asn	Lys	Asn 85	Phe	Arg	Glu	Glu	Glu 90	Pro	Arg	Pro	Asp	Ser 95	Phe
Leu	Glu	Arg	Phe 100	Arg	Gly	Pro	Glu	Leu 105	Gln	Thr	Val	Thr	Thr 110	His	Gln
Gly	Asp	Gly 115	Lys	Gly	Asp	Lys	Asp 120	Gly	Glu	Gly	Lys	Gly 125	Thr	Lys	Lys
Lys	Phe 130	Glu	Leu	Phe	Val	Leu 135	Asp	Pro	Ala	Gly	Asp 140	Trp	Tyr	Tyr	Arg
Trp 145	Leu	Phe	Val	Ile	Ala 150	Met	Pro	Val	Leu	Tyr 155	Asn	Trp	Cys	Leu	Leu 160
Val	Ala	Arg	Ala	Cys 165	Phe	Ser	Asp	Leu	Gln 170	Arg	Asn	Tyr	Phe	Val 175	Val
Trp	Leu	Val	Leu 180	Asp	Tyr	Phe	Ser	Asp 185	Thr	Val	Tyr	Ile	Ala 190	Asp	Leu
Ile	Ile	Arg 195	Leu	Arg	Thr	Gly	Phe 200	Leu	Glu	Gln	Gly	Leu 205	Leu	Val	Lys
Asp	Pro 210	Lys	Lys	Leu	Arg	Asp 215	Asn	Tyr	Ile	His	Thr 220	Leu	Gln	Phe	Lys
Leu 225	Asp	Val	Ala	Ser	Ile 230	Ile	Pro	Thr	Asp	<b>Leu</b> 235	Ile	Tyr	Phe	Ala	Val 240
Gly	Ile	His	Ser	Pro 245	Glu	Val	Arg	Phe	Asn 250	Arg	Leu	Leu	His	Phe 255	Ala
Arg	Met	Phe	Glu 260	Phe	Phe	Asp	Arg	Thr 265	Glu	Thr	Arg	Thr	Ser 270	Tyr	Pro
Asn	Ile	Phe 275	Arg	Ile	Ser	Asn	Leu 280	Val	Leu	Tyr	Ile	Leu 285	Val	Ile	Ile
His	Trp 290	Asn	Ala	Суѕ	Ile	Tyr 295	Tyr	Ala	Ile	Ser	<b>Lys</b> 300	Ser	Ile	Gly	Phe
Gly	Val	Asp	Thr	${\tt Trp}$	Val	Tyr	${\tt Pro}$	Asn	Ile	Thr	Asp	${\tt Pro}$	Glu	Tyr	${\tt Gly}$

305					310					315					320
Tyr	Leu	Ala	Arg	Glu 325	Tyr	Ile	Tyr	Суз	<b>Leu</b> 330	Tyr	Trp	Ser	Thr	Leu 335	Thr
Leu	Thr	Thr	Ile 340	Gly	Glu	Thr	Pro	Pro 345	Pro	Val	Lys	Asp	Glu 350	Glu	Tyr
Leu	Phe	Val 355	Ile	Phe	Asp	Phe	Leu 360	Ile	Gly	Val	Leu	Ile 365	Phe	Ala	Thr
Ile	Val 370	Gly	Asn	Val	Gly	Ser 375	Met	Ile	Ser	Asn	Met 380	Asn	Ala	Thr	Arg
Ala 385	Glu	Phe	Gln	Ala	Lys 390	Ile	Asp	Ala	Val	Lys 395	His	Tyr	Met	Gln	Phe 400
Arg	Lys	Val	Ser	Lys 405	Asp	Met	Glu	Ala	Lys 410	Val	Ile	Lys	Trp	Phe 415	Asp
Tyr	Leu	Trp	Thr 420	Asn	Lys	Lys	Thr	Val 425	Asp	Glu	Arg	Glu	Val 430	Leu	Lys
Asn	Leu	Pro 435	Ala	Lys	Leu	Arg	Ala 440	Glu	Ile	Ala	Ile	Asn 445	Val	His	Leu
Ser	Thr 450	Leu	Lys	Lys	Val	Arg 455	Ile	Phe	Gln	Asp	Trp 460	Glu	Ala	Gly	Leu
Leu 465	Val	Glu	Leu	Val	Leu 470	Lys	Leu	Arg	Pro	Gln 475	Val	Phe	Ser	Pro	Gly 480
Asp	Tyr	Ile	Cys	Arg 485	Lys	Gly	Asp	Ile	Gly 490	Lys	Glu	Met	Tyr	Ile 495	Ile
Lys	Glu	Gly	<b>Lys</b> 500	Leu	Ala	Val	Val	<b>Ala</b> 505	Asp	Asp	Gly	Val	Thr 510	Gln	Tyr
Ala	Leu	<b>Leu</b> 515	Ser	Ala	Gly	Ser	Суs 520	Phe	Gly	Glu	Ile	Ser 525	Ile	Leu	Asn
Ile	Lys 530	Gly	Ser	Lys	Met	Gly 535	Asn	Arg	Arg	Thr	Ala 540	<b>As</b> n	Ile	Arg	Ser
Leu 545	Gly	Tyr	Ser	Asp	Leu 550	Phe	Cys	Leu	Ser	<b>Lys</b> 555	Asp	Asp	Leu	Met	Glu 560

Ala Val Thr Glu Tyr Pro Asp Ala Lys Lys Val Leu Glu Glu Arg Gly 565 570 575

Arg Glu Ile Leu Met Lys Met Gly Leu Leu Asp Glu Asn Glu Val Ala 580 585 590

Ala Ser Met Glu Val Asp Val Gln Glu Lys Leu Glu Gln Leu Glu Thr 595 600 605

Asn Met Glu Thr Leu Tyr Thr Arg Phe Ala Arg Leu Leu Ala Glu Tyr 610 615 620

Thr Gly Ala Gln Gln Lys Leu Lys Gln Arg Ile Thr Val Leu Glu Thr 625 630 635 640

Lys Met Lys Gln Asn His Glu Asp Asp Tyr Leu Ser Asp Gly Ile Asn 645 650 655

Thr Pro Glu Pro Ala Val Ala Glu 660

<210> 3

<211> 228

<212> PRT

5 <213> Artificial

<220>

<223> aecuorina modificada

10 <400> 3

Met Ser Val Leu Thr Pro Leu Leu Leu Arg Gly Leu Thr Gly Ser Ala 1 5 10 15

Arg Arg Leu Pro Val Pro Arg Ala Lys Ile His Ser Leu Pro Pro Glu 20 25 30

Gly Lys Leu Gly Ile Met Lys Val Lys Leu Thr Ser Asp Phe Asp Asn

Pro Lys Trp Ile Gly Arg His Lys His Met Phe Asn Phe Leu Asp Val 50 60

Asn His Asn Gly Arg Ile Ser Leu Asp Glu Met Val Tyr Lys Ala Ser 65 70 75 80

Asp Ile Val Ile Asn Asn Leu Gly Ala Thr Pro Glu Gln Ala Lys Arg

His Lys Asp Ala Val Glu Ala Phe Phe Gly Gly Ala Gly Met Lys Tyr

				100					105					110			
	Gly	Val	<b>Glu</b> 115	Thr	Glu	Trp	Pro	Glu 120	Tyr	Ile	Glu	Gly	Trp 125	Lys	Arg	Leu	
	Ala	Thr 130	Glu	Glu	Leu	Glu	Arg 135	Tyr	Ser	Lys	Asn	Gln 140	Ile	Thr	Leu	Ile	
	Arg 145	Leu	Trp	Gly	Asp	Ala 150	Leu	Phe	Asp	Ile	Ile 155	Asp	Lys	Asp	Gln	<b>As</b> n 160	
	Gly	Ala	Ile	Thr	Leu 165	Asp	Glu	Trp	Lys	<b>A</b> la <b>1</b> 70	Tyr	Thr	Lys	Ser	Ala 175	Gly	
	Ile	Ile	Gln	Ser 180	Ser	Glu	Asp	Cys	Glu 185	Glu	Thr	Phe	Arg	Val 190	Cys	Asp	
	Ile	Asp	Glu 195	Ser	Gly	Gln	Leu	Asp 200	Val	Asp	Glu	Met	Thr 205	Arg	Gln	His	
	Leu	Gly 210	Phe	Trp	Tyr	Thr	Met 215	Asp	Pro	Ala	Сув	Glu 220	Lys	Leu	Tyr	Gly	
	Gly 225	Ala	Val	Pro													
<210> 4	4																
<211>	1995																
<212> /	ADN																
<213> I	Mus muso	culus															
<400>	4																
a	atgatgac	ica a	12222	t cca.	a co	at at	gaag	agg	tete	cac	ctaa	taac	ca t	aacc	atca	+	60
	ctcctcc																120
	ctgtggc																180
	cacgcag																240
ŧ	gggccaa	ica a	ıaaat	ttcc	g tg	agga	ggaa	cca	agac	ctg	actc	cttc	ct a	ıgagc	gttt	c	300
c	egtgggco	tg a	igata	caga	c tg	tgac	aacc	cat	cagg	ggg	atgg	caaa	.gg c	gaca	.agga	c	360
c	gegaggg	aa a	ıggac	acca	a aa	.agaa	attt	gaa	ctat	tta	tttt	ggac	cc a	gcta	gaga	c	420

10

5

tggtattacc gttggttgtt tgtcattgcc atgcctgttc tttacaactg gtgtctgttg

gtagccagag cctgcttcag tgatctacag agaaactatt ttgtggtatg gctggtgctg

gattacttct cagacactgt ttatattgca gacctcatca ttcggctgcg cacaggcttc

ctagaacaag ggctcctggt caaagacccc aagaaattgc gagacaacta tatccacact

480

540

600

ttgcagttca	aattggatgt	ggcttctatc	atccccactg	acctcattta	ttttgctgtg	720
ggtatccaca	gccctgaggt	acgctttaat	cgtctgttac	actttgcccg	tatgtttgag	780
ttctttgacc	gcactgagac	acgtacaagc	taccccaaca	tcttccgaat	cagcaacctg	840
gtcctctaca	tcttggtcat	catccactgg	aatgcttgta	tttactatgc	tatctctaag	900
tccattggct	ttggggttga	cacctgggtt	taccccaaca	ttactgaccc	tgaatatggc	960
tacctggcta	gggagtacat	ttactgcctt	tactggtcca	cactgaccct	caccaccatt	1020
ggagagacac	caccccctgt	aaaggatgag	gagtacctat	ttgtcatctt	tgacttcctg	1080
attggtgtcc	tcatctttgc	cactattgtg	ggaaatgtgg	gctccatgat	ctccaacatg	1140
aatgccacac	gagcagagtt	ccaggccaag	attgatgctg	tcaaacacta	catgcagttc	1200
cgaaaggtca	gtaaagacat	ggaagccaag	gtcatcaaat	ggtttgacta	cttgtggacc	1260
aataagaaga	cagtagatga	acgagaagtc	ctaaagaacc	tgcctgcaaa	gcttagggca	1320
gagatagcca	ttaatgttca	tttgtccact	ctgaagaaag	tgcgcatatt	ccaggattgt	1380
gaagetggee	tgctggtgga	actggtactg	aagettegte	ctcaggtctt	tagtcctgga	1440
gattatattt	gccgtaaggg	ggacattggc	aaggaaatgt	acatcatcaa	ggagggcaaa	1500
ttggcagtgg	tagctgatga	tggtgtgact	cagtatgcct	tgctgtcagc	tgggagctgc	1560
tttggtgaga	ttagtatcct	taacattaag	ggtagcaaaa	tgggcaatcg	gcgcactgcc	1620
aatatccgta	gtctgggcta	ctcagatctc	ttctgcttgt	ccaaggatga	tcttatggaa	1680
gctgtgactg	agtatcctga	tgccaagaaa	gtcctggaag	aacggggtag	ggagatcctg	1740
atgaaggaag	gtctactgga	tgagaatgaa	gtggcagcta	gtatggaggt	agatgttcag	1800
gagaagctgg	agcagctgga	gacaaacatg	gagaccttgt	acactcgttt	tgcccgcctg	1860
ctggctgagt	acactggagc	ccagcagaag	ctcaaacagc	gcatcacagt	gctggagacc	1920
aagatgaaac	agaaccatga	ggatgattac	ctatcagatg	ggataaacac	ccctgagcca	1980
actattacta	aatao					1995

<210> 5

<211> 1740

<212> ADN

<213> Humana

<400> 5

cttgctcctc	aggcagaggc	tgagtccgca	catcacctcc	aggccctcag	aacacctgcc	60
ccagccccac	catgctcatg	gcgtccacca	cttccgctgt	gcctgggcat	ccctctctgc	120
ccagcctgcc	cagcaacagc	agccaggaga	ggccactgga	cacccgggac	ccgctgctag	180
cccgggcgga	gctggcgctg	ctctccatag	tctttgtggc	tgtggccctg	agcaatggcc	240
tggtgctggc	ggccctagct	cggcggggcc	ggcggggcca	ctgggcaccc	atacacgtct	300

10

tcattggcca	cttgtgcctg	gccgacctgg	ccgtggctct	gttccaagtg	ctgccccagc	360
tggcctggaa	ggccaccgac	cgcttccgtg	ggccagatgc	cctgtgtcgg	gccgtgaagt	420
atctgcagat	ggtgggcatg	tatgcctcct	cctacatgat	cctggccatg	acgctggacc	480
gccaccgtgc	catctgccgt	cccatgctgg	cgtaccgcca	tggaagtggg	gctcactgga	540
accggccggt	gctagtggct	tgggccttct	cgctccttct	cagectgeec	cagctcttca	600
tettegecca	gcgcaacgtg	gaaggtggca	gcggggtcac	tgactgctgg	gcctgctttg	660
cggagccctg	gggccgtcgc	acctatgtca	cctggattgc	cctgatggtg	ttcgtggcac	720
ctaccctggg	tategeegee	tgccaggtgc	tcatcttccg	ggagattcat	gccagtctgg	780
tgccagggcc	atcagagagg	cctggggggc	gccgcagggg	acgccggaca	ggcagccccg	840
gtgagggagc	ccacgtgtca	gcagctgtgg	ccaagactgt	gaggatgacg	ctagtgattg	900
tggtcgtcta	tgtgctgtgc	tgggcaccct	tcttcctggt	gcagctgtgg	gccgcgtggg	960
acceggagge	acctctggaa	ggtgggtgta	gccgtggcta	gggctgacgg	ggccacttgg	1020
gcttggccgc	atgcccctgt	gccccaccag	ccatcctgaa	cccaacctag	atcctccacc	1080
tccacagggg	cgccctttgt	gctactcatg	ttgctggcca	gcctcaacag	ctgcaccaac	1140
ccctggatct	atgcatcttt	cagcagcagc	gtgtcctcag	agctgcgaag	cttgctctgc	1200
tgtgcccggg	gacgcacccc	acccagcctg	ggtccccaag	atgagtcctg	caccaccgcc	1260
agctcctccc	tggccaagga	cacttcatcg	tgaggagctg	ttgggtgtct	tgcctctaga	1320
ggctttgaga	agctcagctg	ccttcctggg	gctggtcctg	ggagccactg	ggagggggac	1380
ccgtggagaa	ttggccagag	cctgtggccc	cgaggctggg	acactgtgtg	gccctggaca	1440
agccacagcc	cctgcctggg	tctccacatc	cccagctgta	tgaggagagc	ttcaggcccc	1500
aggactgtgg	gggcccctca	ggtcagctca	ctgagctggg	tgtaggaggg	gctgcagcag	1560
aggeetgagg	agtggcagga	aagagggagc	aggtgccccc	aggtgagaca	gcggtcccag	1620
gggcctgaaa	aggaaggacc	aggctggggc	caggggacct	tcctgtctcc	gcctttctaa	1680
tecetecete	ctcattctct	ccctaataaa	aattggagct	cattttccac	aaaaaaaaa	1740

<210> 6

<211> 1995

<212> ADN

<213> Artificial

<220>

<223> CNG alfa2 modificado

10

5

<400> 6

atgatgaccg	aaaaatccaa	cggtgtgaag	agctctccag	ctaataacca	taaccatcat	60
cctcctcctt	ctatcaaggc	caatggcaaa	gatgaccaca	gggcaggtag	cagaccacag	120
tctgtggcag	ctgatgatga	cacttcctca	gaactgcaaa	ggttggcaga	gatggatact	180
ccacgcaggg	gaaggggtgg	cttccgaagg	attgtccgcc	tggtggggat	catcagagac	240
tgggccaaca	aaaatttccg	tgaggaggaa	ccaagacctg	actccttcct	agagcgtttc	300
cgtgggcctg	agctccagac	tgtgacaacc	catcaggggg	atggcaaagg	cgacaaggac	360
ggcgagggaa	agggcaccaa	aaagaaattt	gaactgtttg	ttttggaccc	agctggagac	420
tggtattacc	gttggttgtt	tgtcattgcc	atgcctgttc	tttacaactg	gtgtctgttg	<b>4</b> 80
gtagccagag	cctgcttcag	tgatctacag	agaaactatt	ttgtggtatg	gctggtgctg	540
gattacttct	cagacactgt	ttatattgca	gacctcatca	ttcggctgcg	cacaggette	600
ctagaacaag	ggctcctggt	caaagacccc	aagaaattgc	gagacaacta	tatccacact	660
ttgcagttca	aattggatgt	ggcttctatc	atccccactg	acctcattta	ttttgctgtg	720
ggtatccaca	gccctgaggt	acgctttaat	cgtctgttac	actttgcccg	tatgtttgag	780
ttctttgacc	gcactgagac	acgtacaagc	taccccaaca	tcttccgaat	cagcaacctg	840
gtcctctaca	tcttggtcat	catccactgg	aatgcttgta	tttactatgc	tatctctaag	900
tecattgget	ttggggttga	cacctgggtt	taccccaaca	ttactgaccc	tgaatatggc	960
tacctggcta	gggagtacat	ttactgcctt	tactggtcca	cactgaccct	caccaccatt	1020
ggagagacac	caccccctgt	aaaggatgag	gagtacctat	ttgtcatctt	tgacttcctg	1080
attggtgtcc	tcatctttgc	cactattgtg	ggaaatgtgg	gctccatgat	ctccaacatg	1140
aatgccacac	gagcagagtt	ccaggccaag	attgatgctg	tcaaacacta	catgcagttc	1200
cgaaaggtca	gtaaagacat	ggaagccaag	gtcatcaaat	ggtttgacta	cttgtggacc	1260
aataagaaga	cagtagatga	acgagaagtc	ctaaagaacc	tgcctgcaaa	gcttagggca	1320
gagatagcca	ttaatgttca	tttgtccact	ctgaagaaag	tgcgcatatt	ccaggattgg	1380
gaagctggcc	tgctggtgga	actggtactg	aagcttcgtc	ctcaggtctt	tagtcctgga	1440
gattatattt	gccgtaaggg	ggacattggc	aaggaaatgt	acatcatcaa	ggagggcaaa	1500
ttggcagtgg	tagctgatga	tggtgtgact	cagtatgcct	tgctgtcagc	tgggagctgc	1560
tttggtgaga	ttagtatcct	taacattaag	ggtagcaaaa	tgggcaatcg	gcgcactgcc	1620
aatatccgta	gtctgggcta	ctcagatctc	ttctgcttgt	ccaaggatga	tcttatggaa	1680
gctgtgactg	agtatcctga	tgccaagaaa	gtcctggaag	aacggggtag	ggagatcctg	1740
atgaagatgg	gtctactgga	tgagaatgaa	gtggcagcta	gtatggaggt	agatgttcag	1800
gagaagctgg	agcagctgga	gacaaacatg	gagaccttgt	acactcgttt	tgcccgcctg	1860
ctggctgagt	acactggagc	ccagcagaag	ctcaaacagc	gcatcacagt	gctggagacc	1920
aagatgaaac	agaaccatga	ggatgattac	ctatcagatg	ggataaacac	ccctgagcca	1980
gctgttgctg	aatag					1995

<210> 7

<212> ADN	
<213> Artifici	al
<220>	
<223> aecuo	rina modificada

<400> 7

a	tgagcgtgc	tgacccccct	gctgctgcgc	ggcctgaccg	gcagcgcccg	ccgcctgccc	60
g	tgccccgcg	ccaagatcca	cagcctgccc	cccgagggca	agctgggcat	catgaaggtg	120
a	agctgacca	gcgacttcga	caaccccaag	tggatcggcc	gccacaagca	catgttcaac	180
t	tcctggacg	tgaaccacaa	cggccgcatc	agcctggacg	agatggtgta	caaggccagc	240
g	acatcgtga	tcaacaacct	gggcgccacc	cccgagcagg	ccaagcgcca	caaggacgcc	300
g	tggaggcct	tcttcggcgg	cgccggcatg	aagtacggcg	tggagaccga	gtggcccgag	360
t	acatcgagg	gctggaagcg	cctggccacc	gaggagctgg	agcgctacag	caagaaccag	420
a	tcaccctga	teegeetgtg	gggcgacgcc	ctgttcgaca	tcatcgacaa	ggaccagaac	480
g	gcgccatca	ccctggacga	gtggaaggcc	tacaccaaga	gcgccggcat	catccagagc	540
a	gcgaggact	gcgaggagac	cttccgcgtg	tgcgacatcg	acgagagcgg	ccagctggac	600
g	tggacgaga	tgacccgcca	gcacctgggc	ttctggtaca	ccatggaccc	cgcctgcgag	660
a	agctgtacg	acaacaccat	gccctaa				687

10

5

<210> 8

<211> 463

<212> PRT

<213> Humana

15

<400> 8

Met Ala Gly Ala Pro Gly Pro Leu Arg Leu Ala Leu Leu Leu Gly 1  $\phantom{\bigg|}5\phantom{\bigg|}$  10  $\phantom{\bigg|}15\phantom{\bigg|}$ 

Met Val Gly Arg Ala Gly Pro Arg Pro Gln Gly Ala Thr Val Ser Leu  $20 \hspace{1.5cm} 25 \hspace{1.5cm} 30 \hspace{1.5cm}$ 

Trp Glu Thr Val Gln Lys Trp Arg Glu Tyr Arg Arg Gln Cys Gln Arg 35 40 45

Ser Leu Thr Glu Asp Pro Pro Pro Ala Thr Asp Leu Phe Cys Asn Arg 50 60

Thr Phe Asp Glu Tyr Ala Cys Trp Pro Asp Gly Glu Pro Gly Ser Phe 65 70 70 80

Val Asn Val Ser Cys Pro Trp Tyr Leu Pro Trp Ala Ser Ser Val Pro

				85					90					95	
Gln	Gly	His	Val 100	Tyr	Arg	Phe	Cys	Thr 105	Ala	Glu	Gly	Leu	Trp 110	Leu	Gln
Lys	Asp	<b>As</b> n 115	Ser	Ser	Leu	Pro	Trp 120	Arg	Asp	Leu	Ser	Glu 125	Cys	Glu	Glu
Ser	<b>Lys</b> 130	Arg	Gly	Glu	Arg	Ser 135	Ser	Pro	Glu	Glu	Gln 140	Leu	Leu	Phe	Leu
Tyr 145	Ile	Ile	Tyr	Thr	Val 150	Gly	Tyr	Ala	Leu	Ser 155	Phe	Ser	Ala	Leu	Val 160
Ile	Ala	Ser	Ala	Ile 165	Leu	Leu	Gly	Phe	Arg 170	His	Leu	His	Cys	Thr 175	Arg
Asn	Tyr	Ile	His 180	Leu	Asn	Leu	Phe	Ala 185	Ser	Phe	Ile	Leu	Arg 190	Ala	Leu
Ser	Val	Phe 195	Ile	Lys	Asp	Ala	Ala 200	Leu	Lys	Trp	Met	Tyr 205	Ser	Thr	Ala
Ala	Gln 210	Gln	His	Gln	Trp	Asp 215	Gly	Leu	Leu	Ser	<b>Tyr</b> 220	Gln	Asp	Ser	Leu
Ser 225	Cys	Arg	Leu	Val	Phe 230	Leu	Leu	Met	Gln	Tyr 235	Суѕ	Val	Ala	Ala	Asn 240
Tyr	Tyr	Trp	Leu	Leu 245	Val	Glu	Gly	Val	<b>Tyr</b> 250	Leu	Tyr	Thr	Leu	Leu 255	Ala
Phe	Ser	Val	Leu 260	Ser	Glu	Gln	Trp	11e 265	Phe	Arg	Leu	Tyr	Val 270	Ser	Ile
Gly	Trp	Gly 275	Val	Pro	Leu	Leu	Phe 280	Val	Val	Pro	Trp	Gly 285	Ile	Val	Lys
Tyr	Leu 290	Tyr	Glu	Asp	Glu	Gly 295	Суѕ	Trp	Thr	Arg	Asn 300	Ser	Asn	Met	Asn
Tyr 305	Trp	Leu	Ile	Ile	Arg 310	Leu	Pro	Ile	Leu	Phe 315	Ala	Ile	Gly	Val	<b>As</b> n 320
Phe	Leu	Ile	Phe	Val 325	Arg	Val	Ile	Cys	Ile 330	Val	Val	Ser	Lys	Leu 335	Lys

## ES 2 687 050 T3

Ala	Asn	Leu	Met 340	Суз	Lys	Thr	-	11e 345	Lys	Cys	Arg	Leu	A1a 350	Lys	Ser

Thr Leu Thr Leu Ile Pro Leu Leu Gly Thr His Glu Val Ile Phe Ala 355 360 365

Phe Val Met Asp Glu His Ala Arg Gly Thr Leu Arg Phe Ile Lys Leu 370 380

Phe Thr Glu Leu Ser Phe Thr Ser Phe Gln Gly Leu Met Val Ala Ile 385 390 395 400

Leu Tyr Cys Phe Val Asn Asn Glu Val Gln Leu Glu Phe Arg Lys Ser 405 410 415

Trp Glu Arg Trp Arg Leu Glu His Leu His Ile Gln Arg Asp Ser Ser 420 425 430

Met Lys Pro Leu Lys Cys Pro Thr Ser Ser Leu Ser Ser Gly Ala Thr 435 440 445

Ala Gly Ser Ser Met Tyr Thr Ala Thr Cys Gln Ala Ser Cys Ser 450 455 460

<210> 9

<211> 1392

<212> ADN

5

<213> Humana

<400> 9

atggccggcg cccccggccc gctgcgcctt gcgctgctgc tgctcgggat ggtgggcagg 60 geeggeeece geececaggg tgeeactgtg teectetggg agaeggtgea gaaatggega 120 gaataccgac gccagtgcca gcgctccctg actgaggatc cacctcctgc cacagacttg 180 ttetgeaace ggacettega tgaataegee tgetggeeag atggggagee aggetegtte 240 300 gtgaatgtca gctgcccctg gtacctgccc tgggccagca gtgtgccgca gggccacgtg taccggttct gcacagctga aggectctgg ctgcagaagg acaactccag cctgccctgg 360 agggacttgt cggagtgcga ggagtccaag cgaggggaga gaagctcccc ggaggagcag 420 ctcctgttcc tctacatcat ctacacggtg ggctacgcac tctccttctc tgctctggtt 480 ategeetetg egateeteet eggetteaga eacetgeact geaceeggaa etacateeac 540 ctgaacctgt ttgcatcctt catcctgcga gcattgtccg tcttcatcaa ggacgcagcc 600 ctgaagtgga tgtatagcac agccgcccag cagcaccagt gggatgggct cctctcctac 660 caggactete tgagetgeeg cetggtgttt etgeteatge agtactgtgt ggeggeeaat 720 780 tactactggc tcttggtgga gggcgtgtac ctgtacacac tgctggcctt ctcggtcttc

## ES 2 687 050 T3

tctgagcaat	ggatcttcag	gctctacgtg	agcataggct	ggggtgttcc	cctgctgttt	840
gttgtcccct	ggggcattgt	caagtacctc	tatgaggacg	agggctgctg	gaccaggaac	900
tccaacatga	actactggct	cattatccgg	ctgcccattc	tctttgccat	tggggtgaac	960
ttcctcatct	ttgttcgggt	catctgcatc	gtggtatcca	aactgaaggc	caatctcatg	1020
tgcaagacag	acatcaaatg	cagacttgcc	aagtccacgc	tgacactcat	cccctgctg	1080
gggactcatg	aggtcatctt	tgcctttgtg	atggacgagc	acgcccgggg	gaccetgege	1140
ttcatcaagc	tgtttacaga	gctctccttc	acctccttcc	aggggctgat	ggtggccatc	1200
ttatactgct	ttgtcaacaa	tgaggtccag	ctggaatttc	ggaagagctg	ggagcgctgg	1260
cggcttgagc	acttgcacat	ccagagggac	agcagcatga	agcccctcaa	gtgtcccacc	1320
agcagcctga	gcagtggagc	cacggcgggc	agcagcatgt	acacagccac	ttgccaggcc	1380
tectgeaget	σa					1392

## **REIVINDICACIONES**

- 1. Un kit para su uso en la medición de la cantidad de una forma activa de GLP-1 o la cantidad de AVP en una muestra biológica, que comprende una célula que expresa un GPCR acoplado a G que es un receptor de GLP-1 o V2R, un canal de calcio dependiente de AMPc y una proteína sensible al calcio.
- 5 2. El kit según la reivindicación 1, en el que V2R tiene la secuencia de aminoácidos representada por SEQ ID №: 1, el canal de calcio dependiente de AMPc es un canal de iones CNG modificado que tiene la secuencia de aminoácidos representada por SEQ ID №: 2 y la proteína sensible al calcio es apoaecuorina modificada que tiene la secuencia de aminoácidos representada por SEQ ID №: 3.
- 3. El kit según la reivindicación 1, en el que el receptor de GLP-1 tiene la secuencia de aminoácidos representada por SEQ ID Nº: 8, el canal de calcio dependiente de AMPc es un canal de iones CNG modificado que tiene la secuencia de aminoácidos representada por SEQ ID Nº: 2 y la proteína sensible al calcio es apoaecuorina modificada que tiene la secuencia de aminoácidos representada por SEQ ID Nº: 3.
  - 4. El kit según una cualquiera de las reivindicaciones 1 a 3, en el que el canal de calcio dependiente de AMPc es un canal de iones CNG.
- 15 5. El kit según una cualquiera de las reivindicaciones 1 a 4, en el que la proteína sensible al calcio es apoaecuorina.
  - 6. El kit según una cualquiera de las reivindicaciones 1 a 5, en el que el kit es para diagnosticar diabetes insípida o SIADH, para determinar cualquiera de una infusión de líquido hipotónico o hipertónico a seleccionar o para determinar el efecto de un fármaco terapéutico relacionado con GLP-1.
  - 7. El kit según una cualquiera de las reivindicaciones 1 a 6, en el que la célula es una célula congelada.
- 20 8. El kit según una cualquiera de las reivindicaciones 1 a 7, que comprende además un sustrato luminiscente para la proteína sensible al calcio.
  - 9. El kit según la reivindicación 8, en el que el sustrato luminiscente para la proteína sensible al calcio es coelenteracina o un derivado de coelenteracina.
- 10. Un método de diagnóstico de diabetes insípida o SIADH, un método de determinación de cualquiera de una infusión de líquido hipotónico o hipertónico a seleccionar o un método de determinación del efecto de un fármaco terapéutico relacionado con GLP-1, que comprende las siguientes etapas (1) a (3):
  - (1) preparar una mezcla que contiene una célula que expresa un GPCR acoplado a G que es un receptor de GLP-1 o V2R, un canal de calcio dependiente de AMPc y una proteína sensible al calcio, un sustrato luminiscente para la proteína sensible al calcio, un medio sin Ca<sup>2+</sup> y una muestra derivada de la sangre de un sujeto de prueba;
  - (2) añadir una disolución que contiene Ca2+ a la mezcla preparada en (1); y

30

45

- (3) medir la luminiscencia de la proteína sensible al calcio emitida de la célula.
- 11. Un método de cribado de un antagonista de GPCR acoplado a G, que comprende las siguientes etapas (A') a (C'):
- (A') preparar una mezcla que contiene una célula que expresa un GPCR acoplado a G que es un receptor de GLP-1 o V2R, un canal de calcio dependiente de AMPc y una proteína sensible al calcio, un sustrato luminiscente para la proteína sensible al calcio, un medio sin Ca<sup>2+</sup>, un agonista de GPCR expresado en la célula y un compuesto de prueba;
  - (B') añadir una disolución que contiene Ca2+ a la mezcla preparada en (A'); y
- 40 (C') medir la luminiscencia de la proteína sensible al calcio emitida de la célula.
  - 12. Un método de cribado de un antagonista de GPCR acoplado a G, que comprende las siguientes etapas (A") a (C"):
    - (A") preparar una mezcla que contiene una célula que expresa un GPCR acoplado a G que es un receptor de GLP-1 o V2R, un canal de calcio dependiente de AMPc y una proteína sensible al calcio, un sustrato luminiscente para la proteína sensible al calcio, un medio que contiene Ca<sup>2+</sup>, un agonista de GPCR expresado en la célula y un compuesto de prueba;
    - (B") añadir forskolina a la mezcla preparada en (A"); y
    - (C") medir la luminiscencia de la proteína sensible al calcio emitida de la célula.

## ES 2 687 050 T3

- 13. El método según una cualquiera de las reivindicaciones 10 a 12, en el que V2R tiene la secuencia de aminoácidos representada por SEQ ID Nº: 1, el canal de calcio dependiente de AMPc es un canal de iones CNG modificado que tiene la secuencia de aminoácidos representada por SEQ ID Nº: 2 y la proteína sensible al calcio es apoaecuorina modificada que tiene la secuencia de aminoácidos representada por SEQ ID Nº: 3.
- 14. El método según una cualquiera de las reivindicaciones 10 a 12, en el que el receptor de GLP-1 tiene la secuencia de aminoácidos representada por SEQ ID Nº: 8, el canal de calcio dependiente de AMPc es un canal de iones CNG modificado que tiene la secuencia de aminoácidos representada por SEQ ID Nº: 2 y la proteína sensible al calcio es apoaecuorina modificada que tiene la secuencia de aminoácidos representada por SEQ ID Nº: 3.
  - 15. El método según una cualquiera de las reivindicaciones 10 a 14, en el que el canal de calcio dependiente de AMPc es un canal de iones CNG.

10

16. El método según una cualquiera de las reivindicaciones 10 a 15, en el que la proteína sensible al calcio es apoaecuorina.

Figura 1

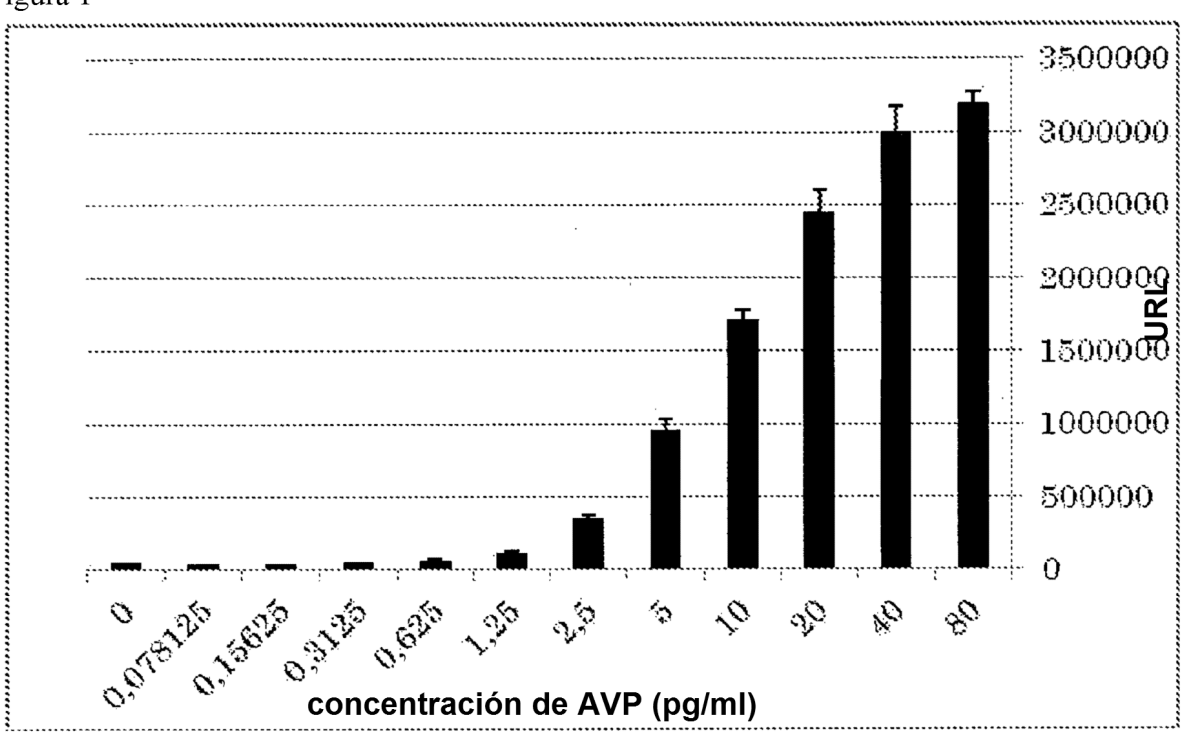


Figura 2

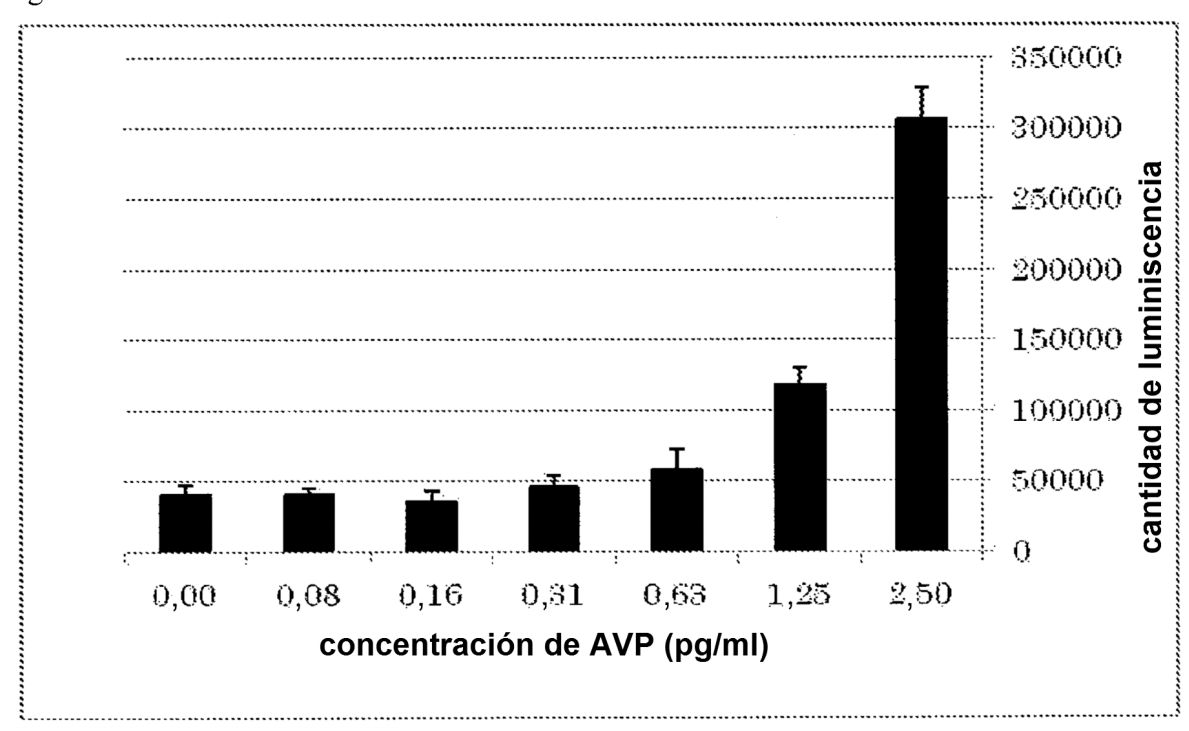


Figura 3

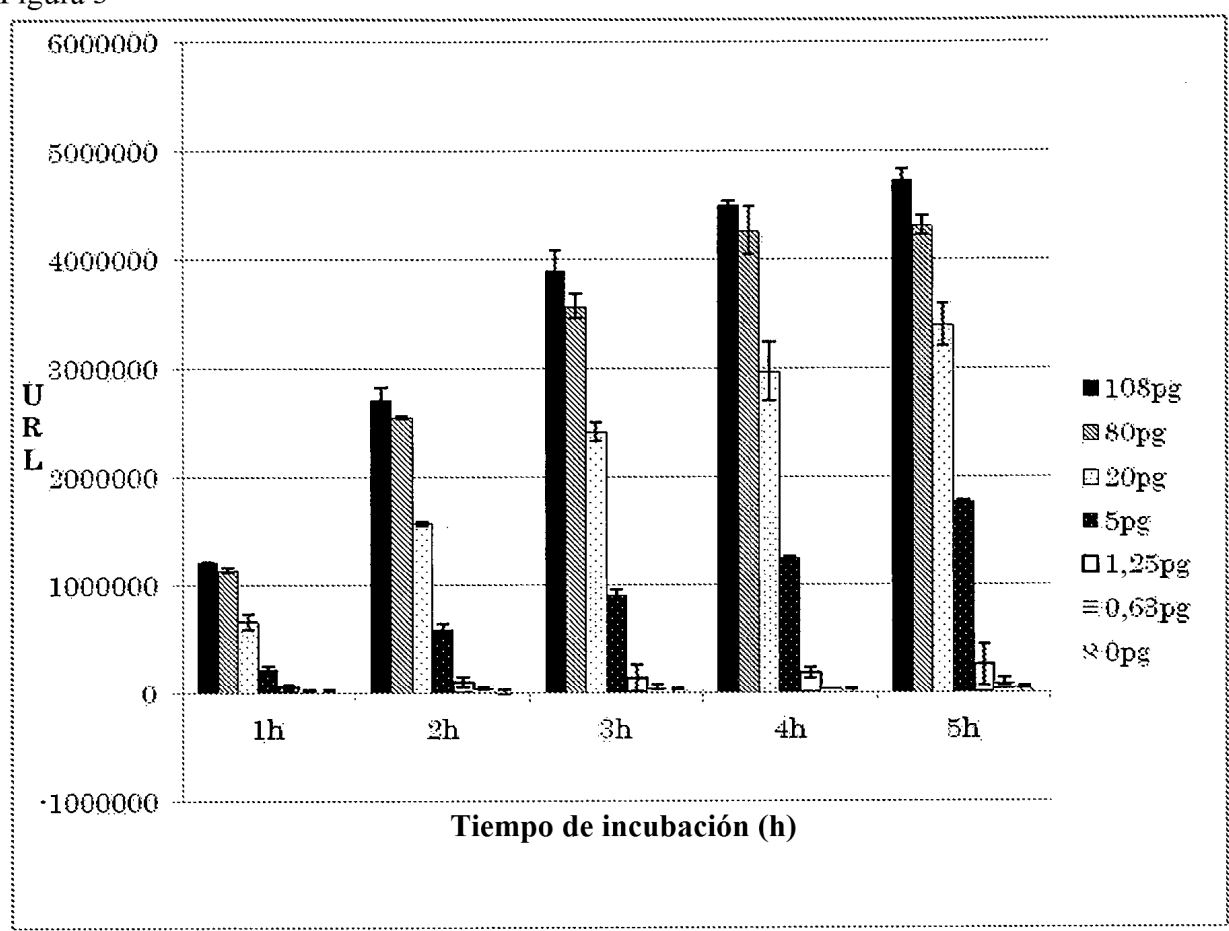


Figura 4

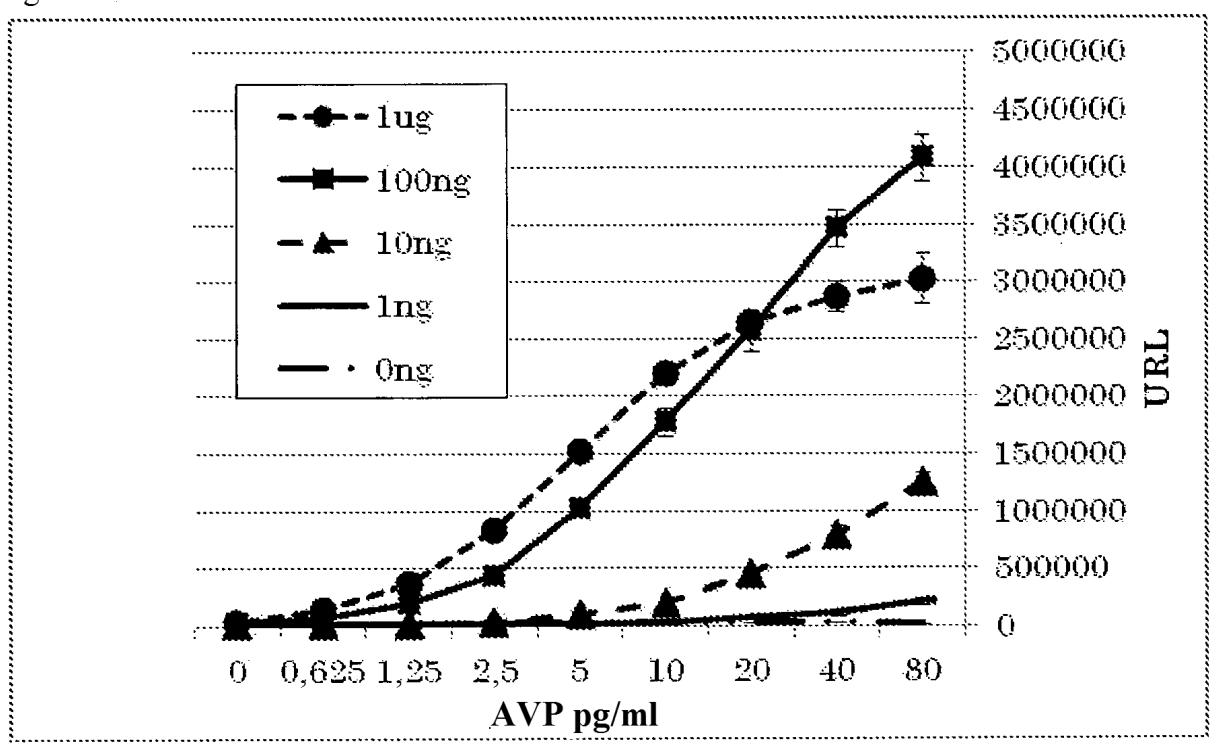


Figura 5

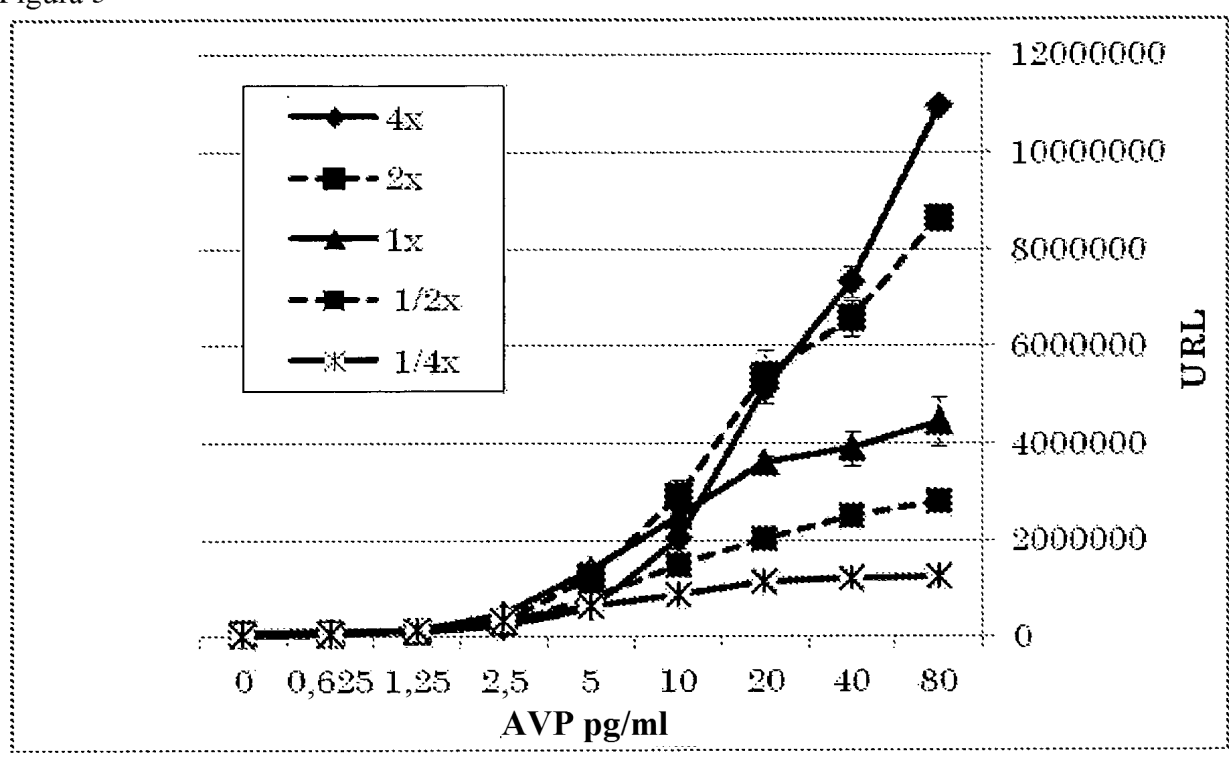


Figura 6

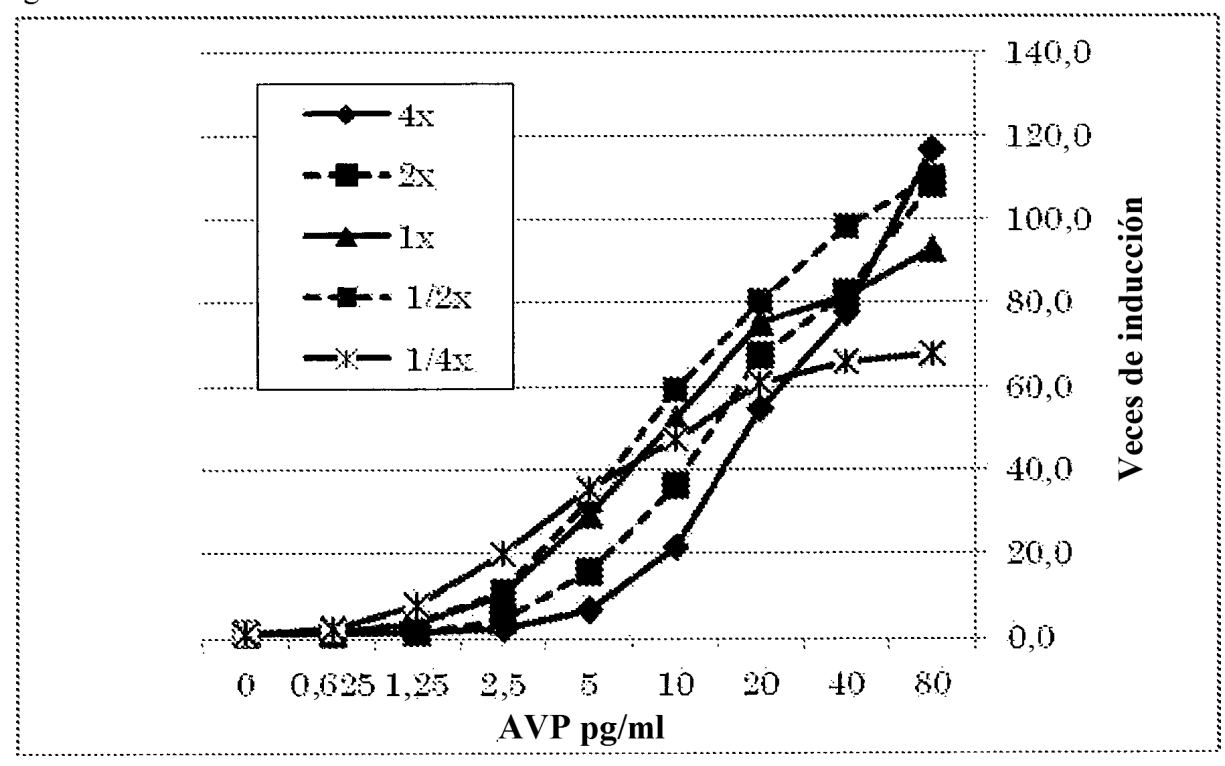


Figura 7

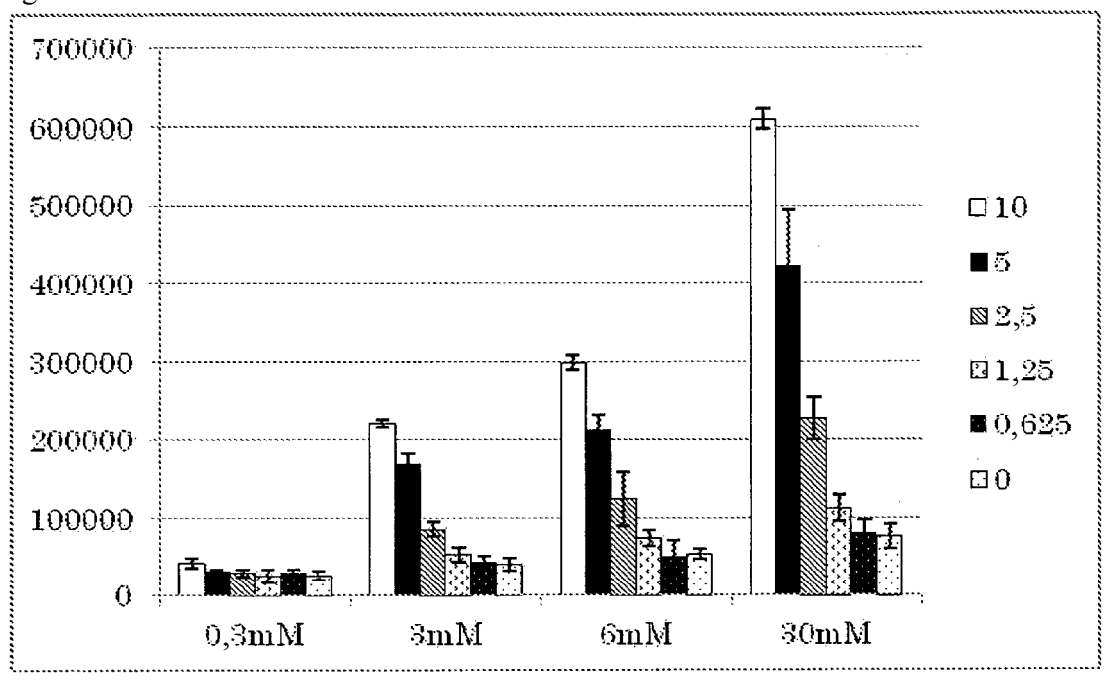
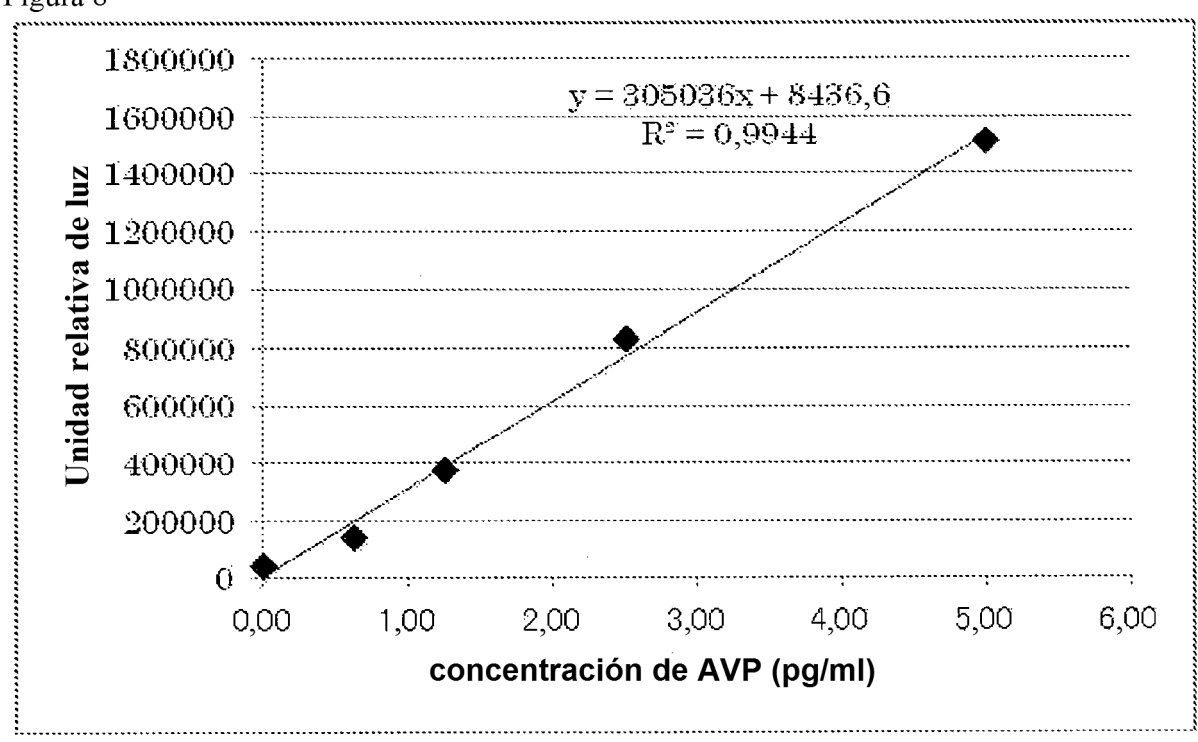
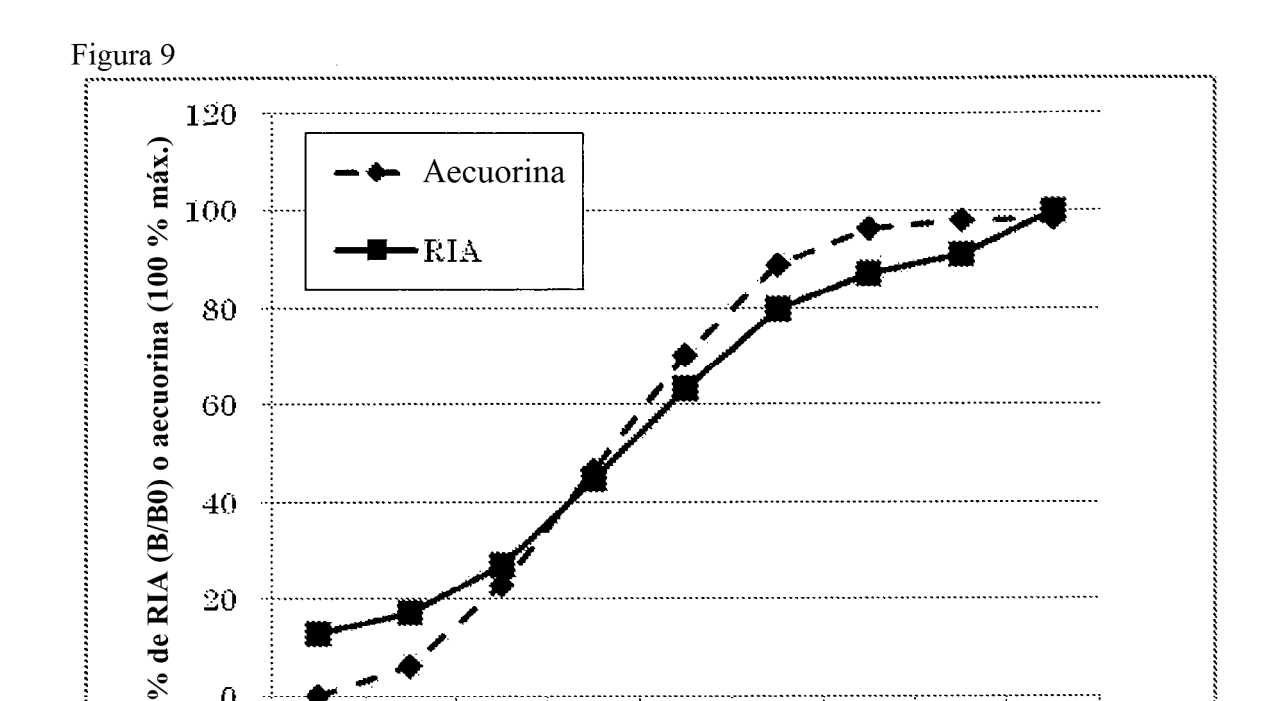
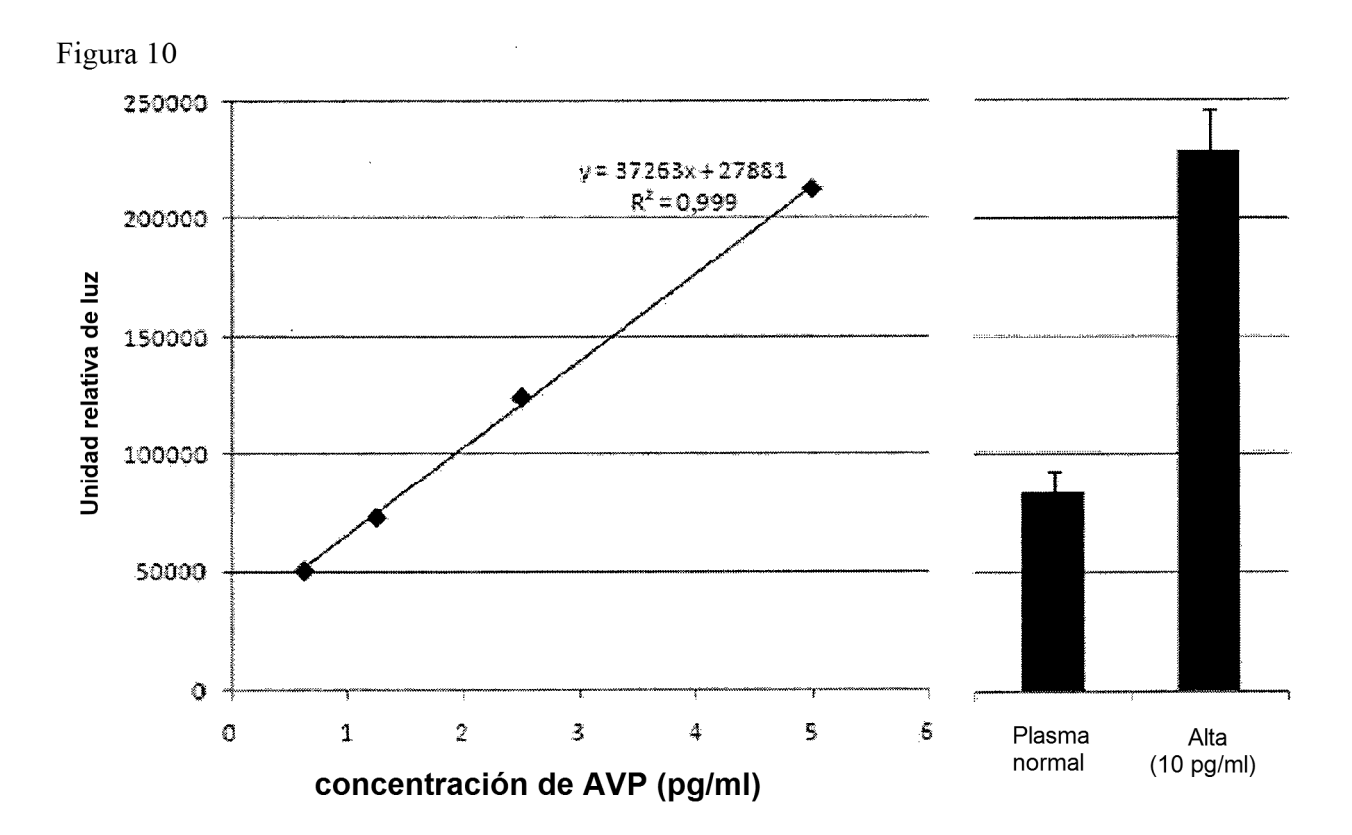


Figura 8





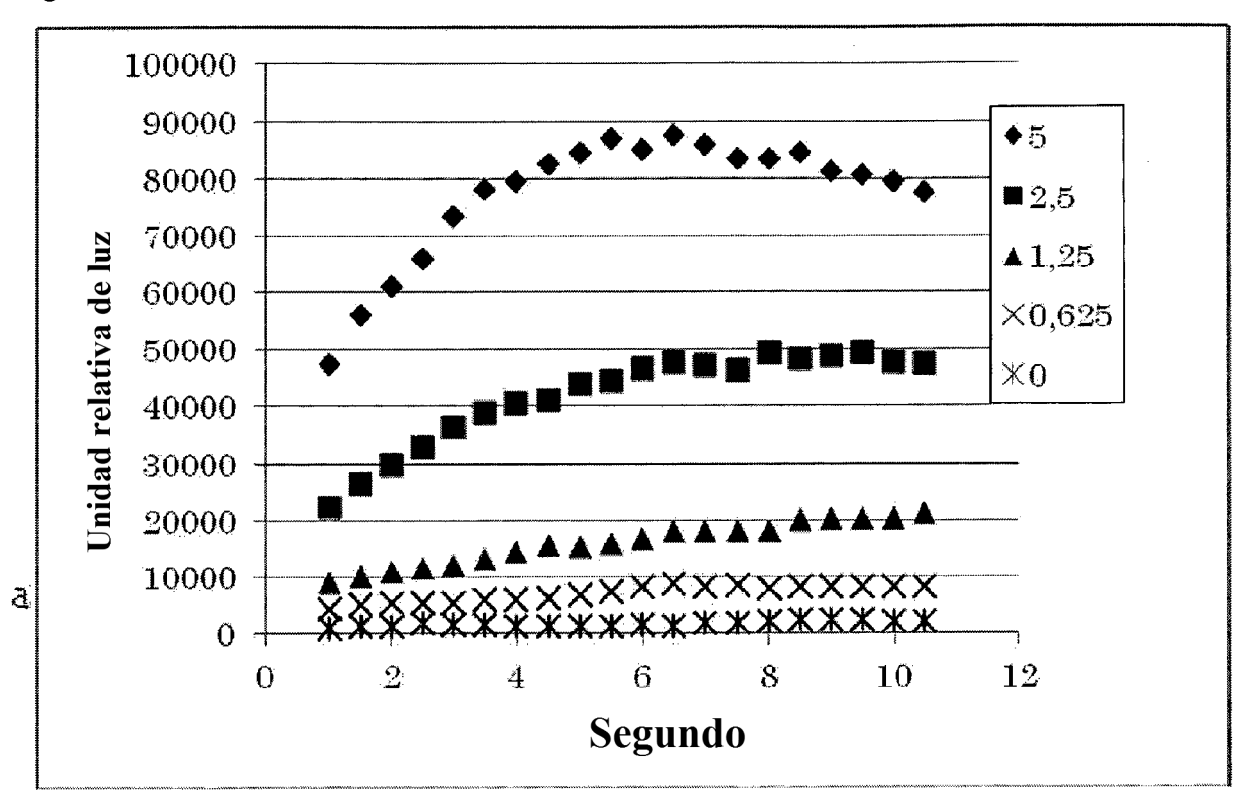
AVP pg/ml



2,5

1,25 0,625

Figura 11



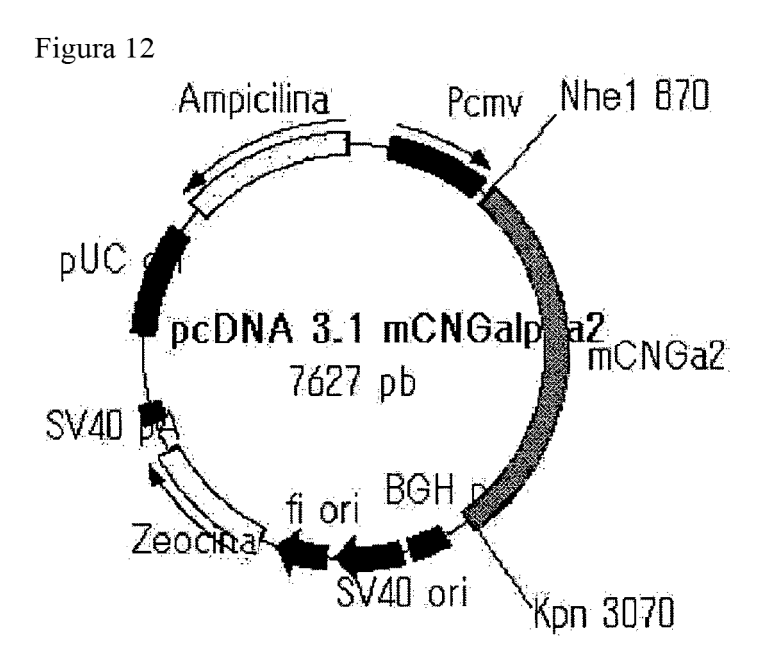


Figura 13

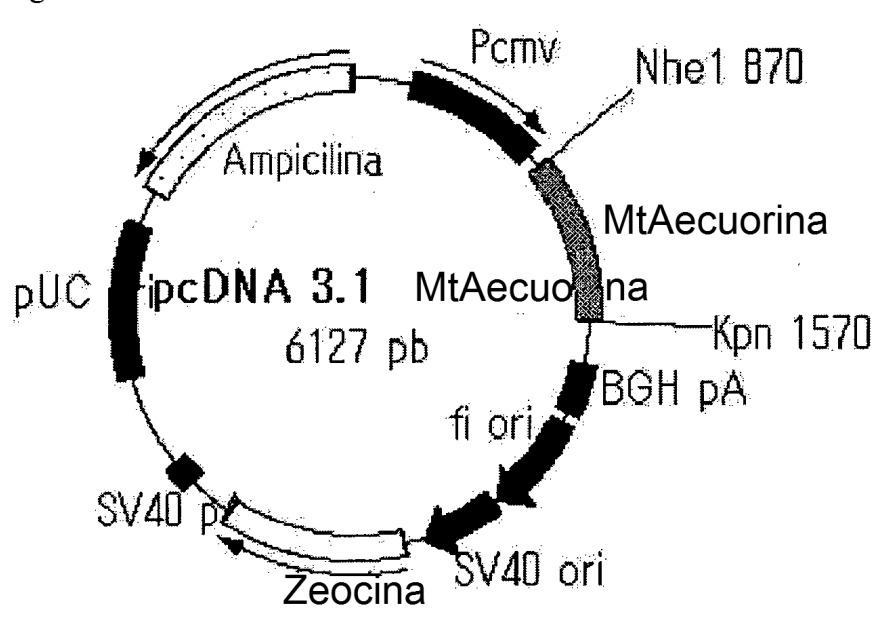


Figura 14

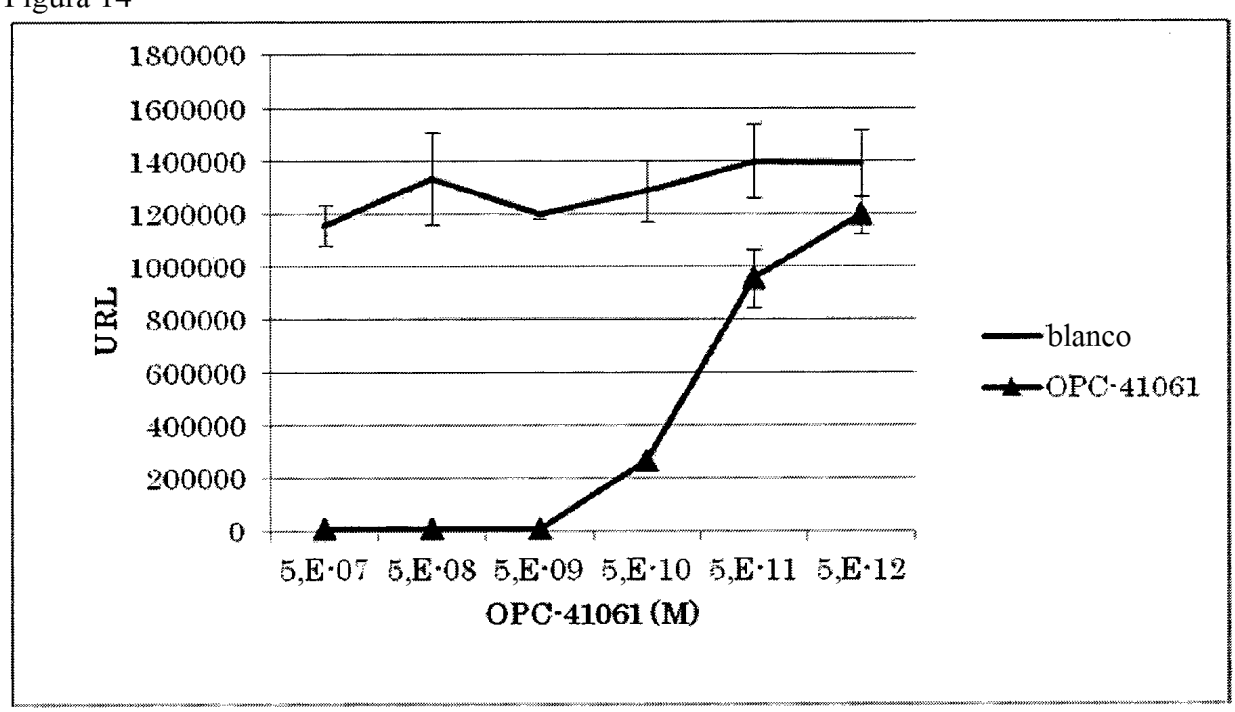


Figura 15

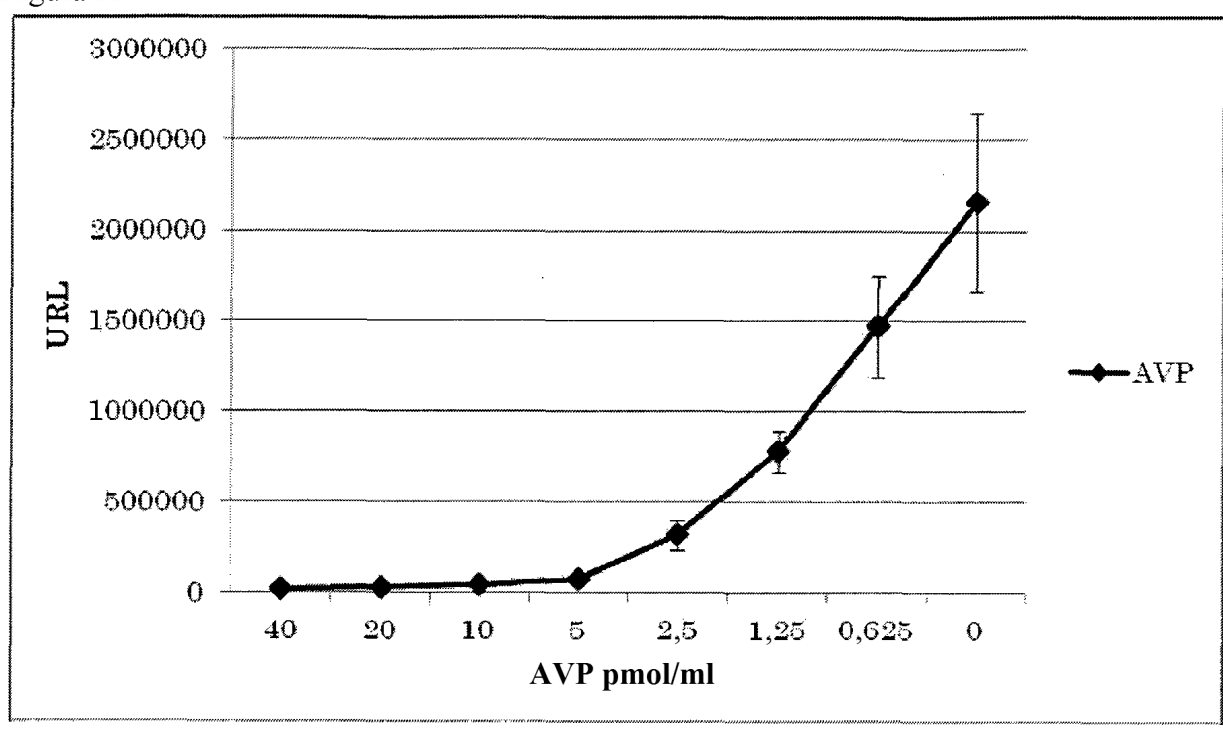


Figura 16

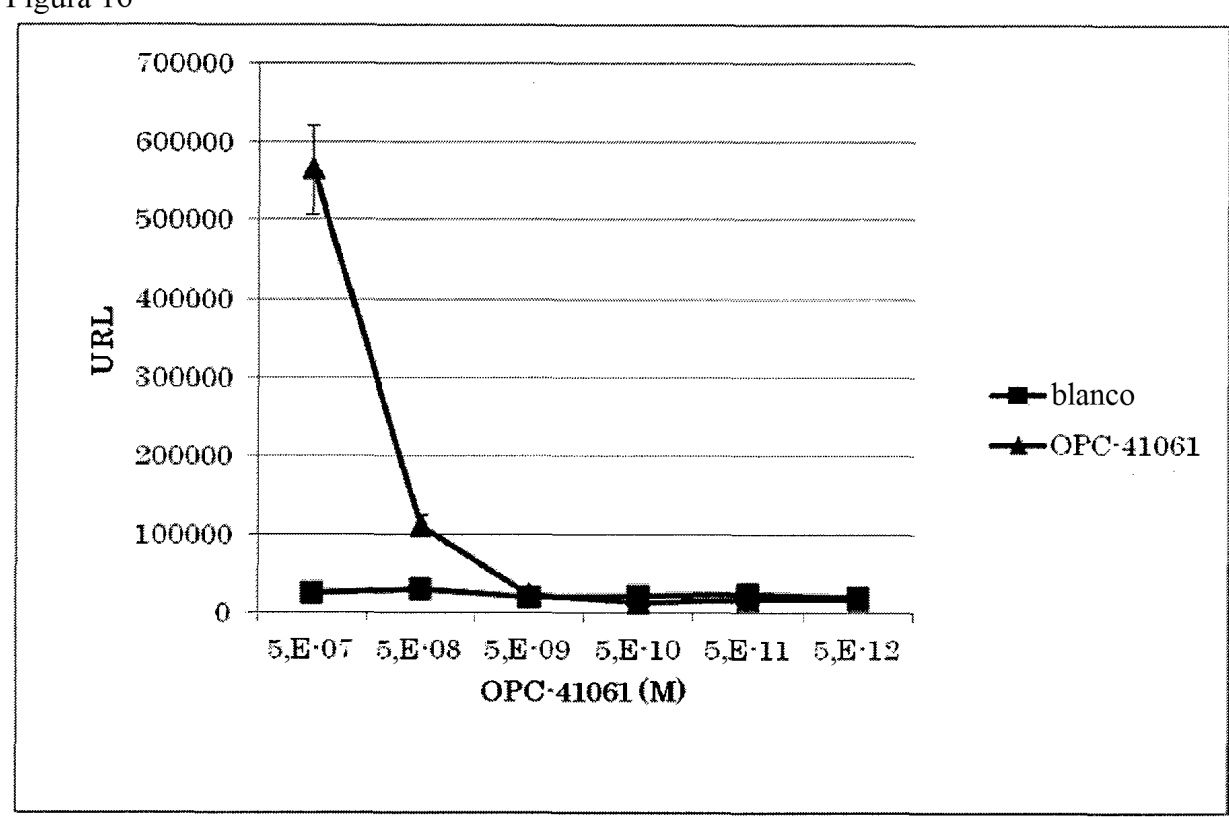


Figura 17

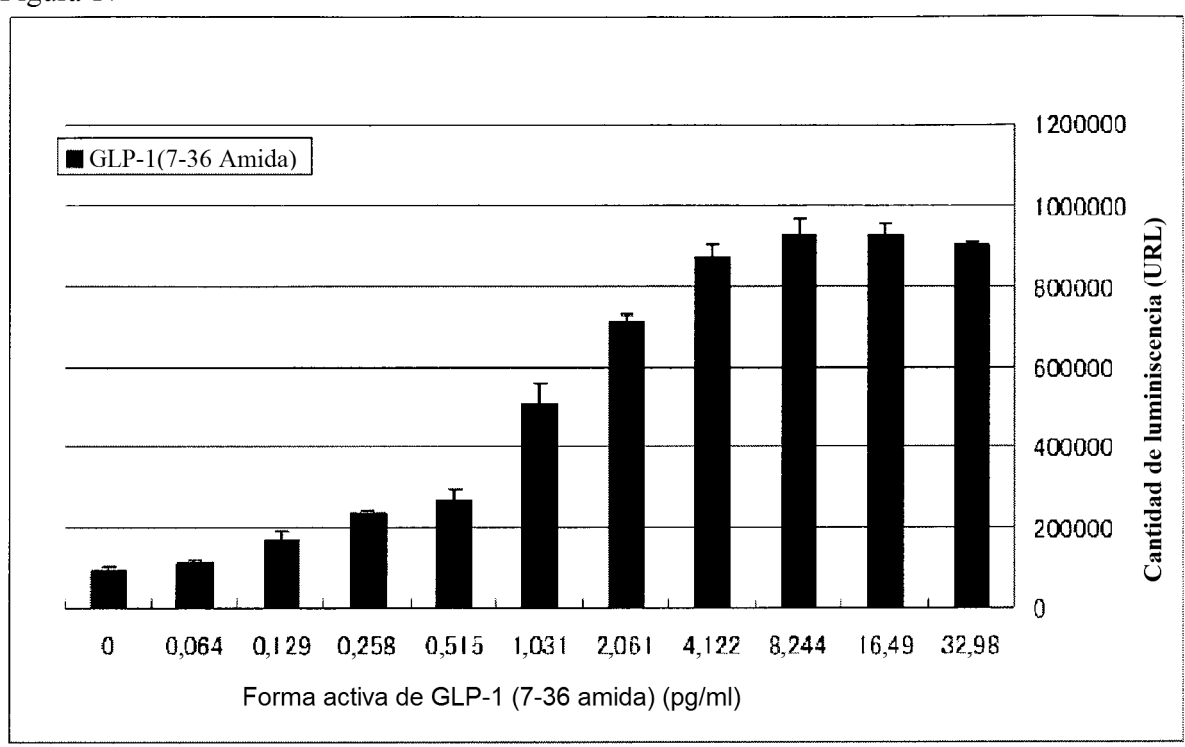


Figura 18

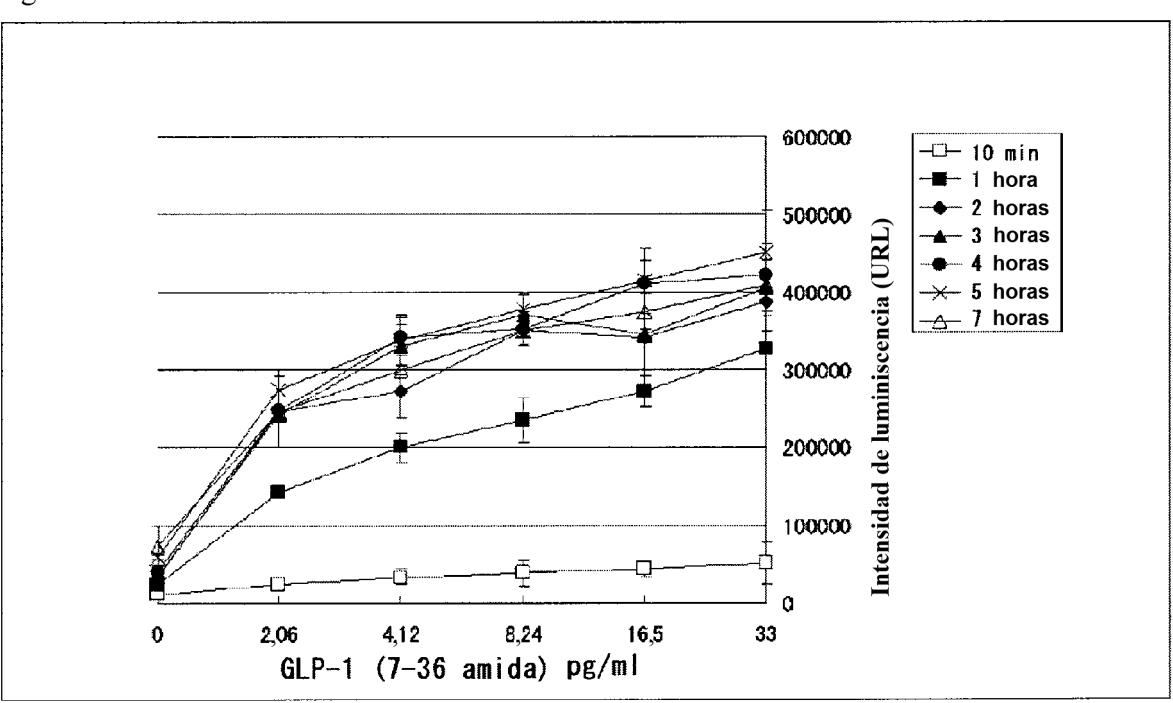


Figura 19

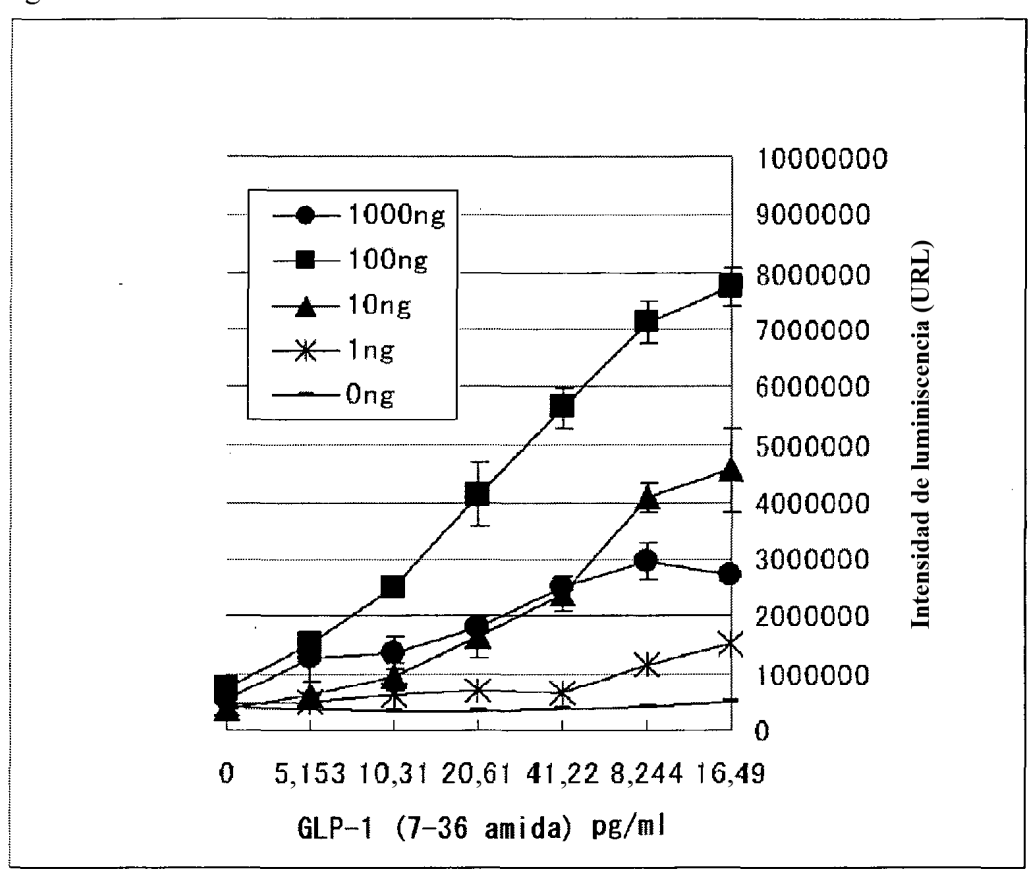


Figura 20

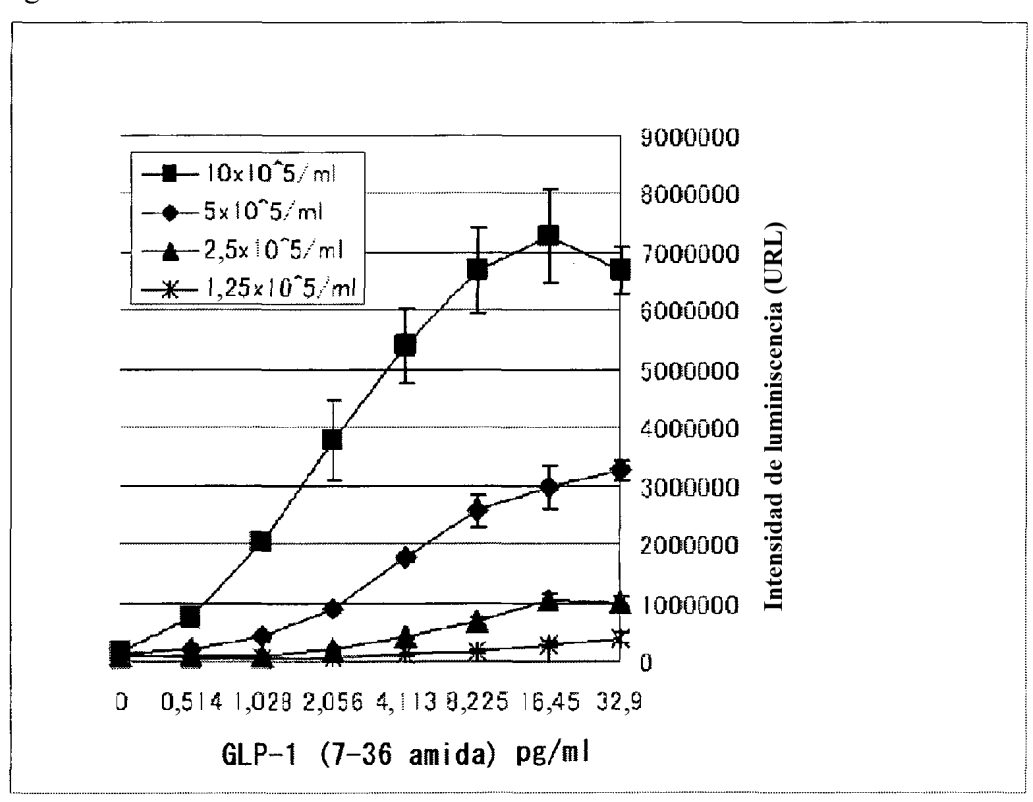


Figura 21

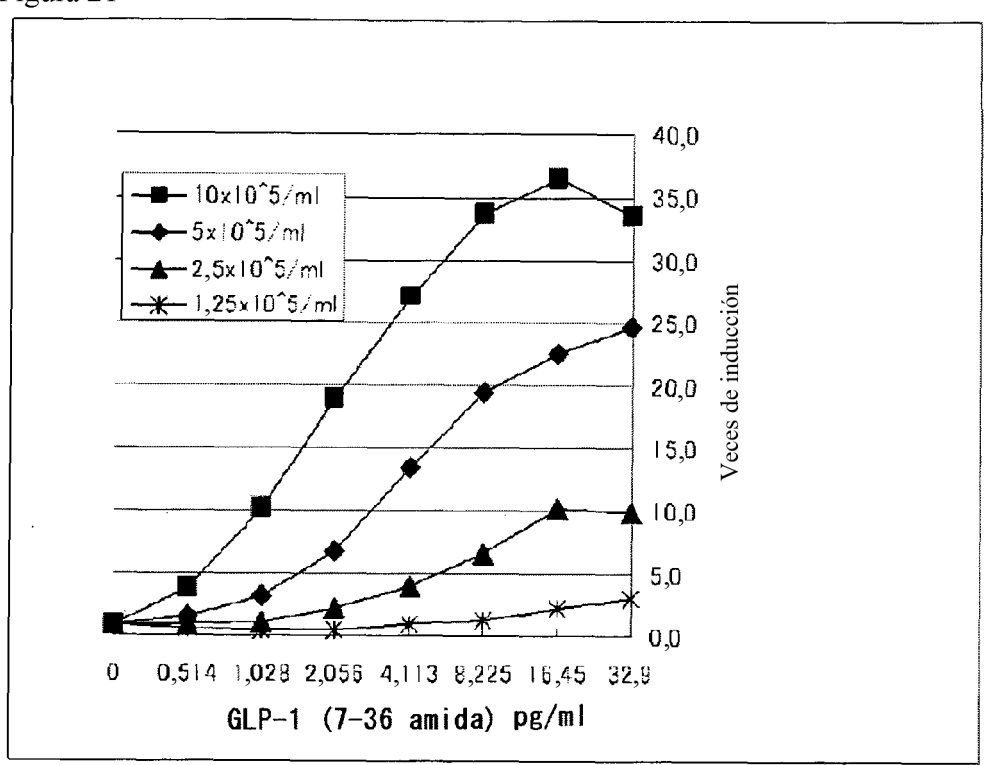


Figura 22

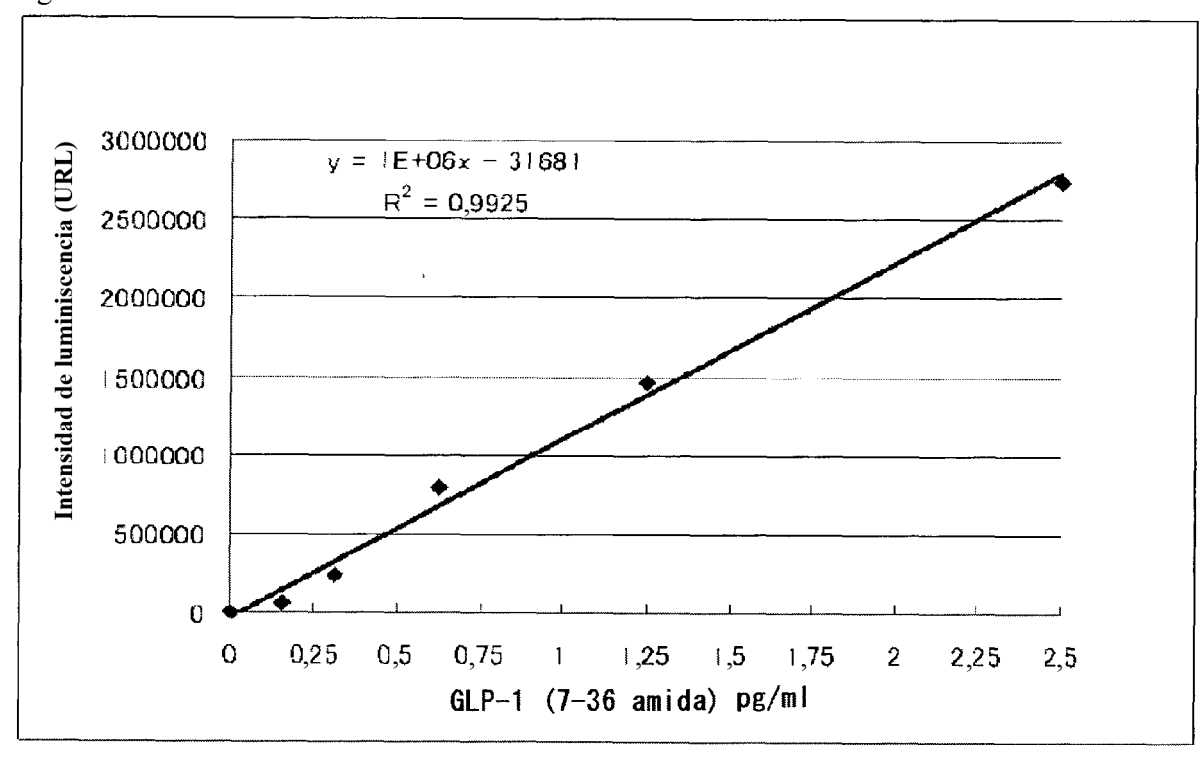


Figura 23

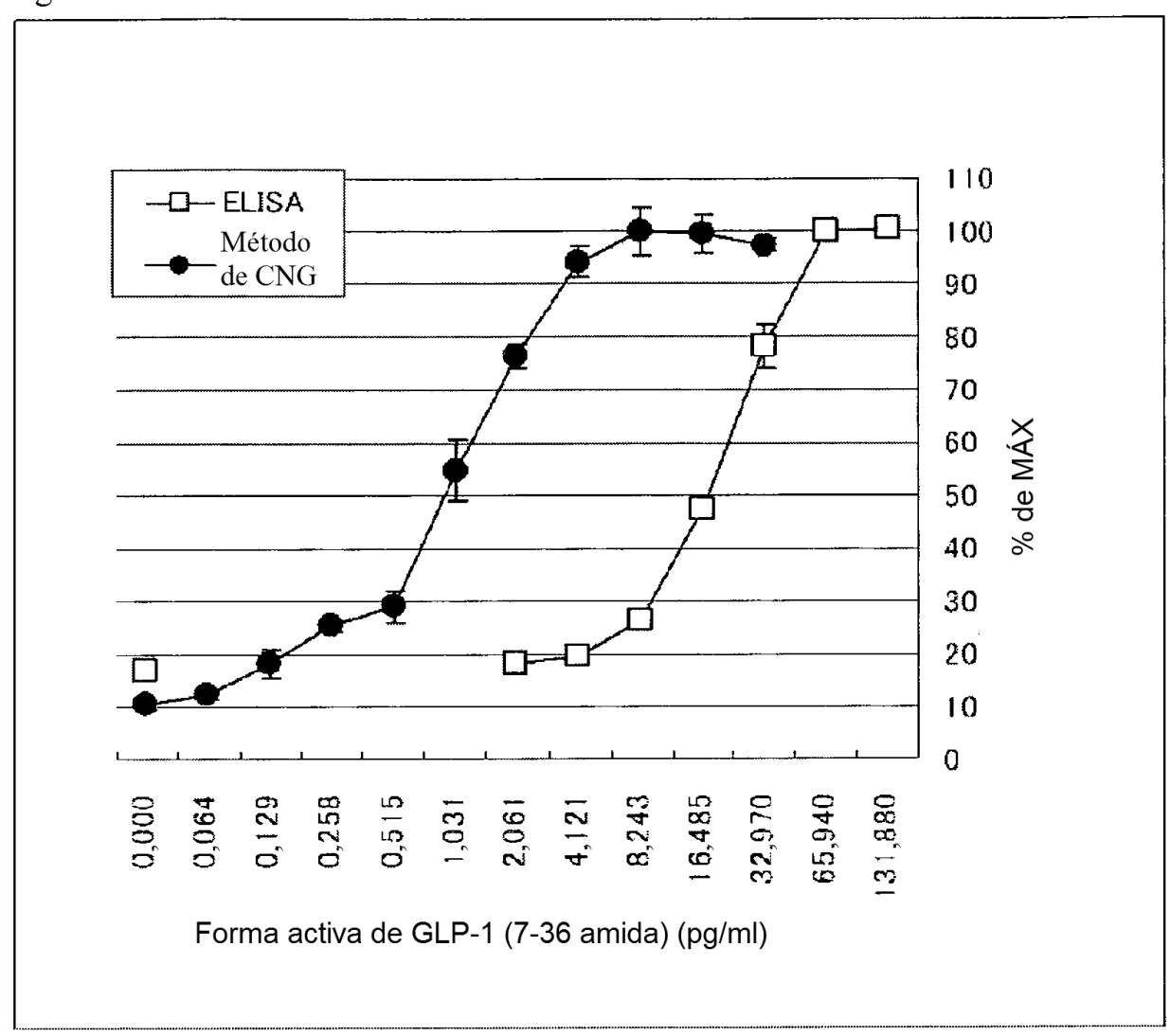
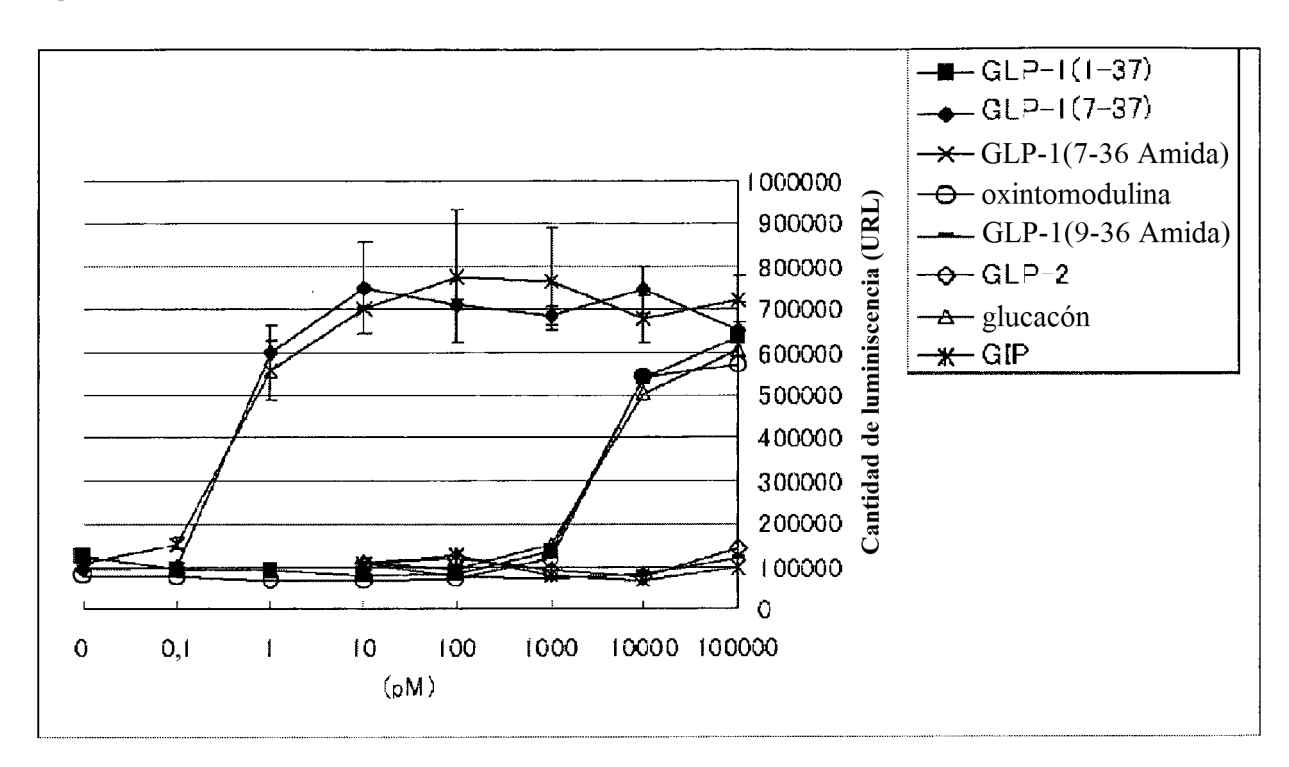


Figura 24



incretinas	CE <sub>50</sub> (pM)
GLP-1(1-37)	4378
GLP-1(7-37)	0,49
GLP-1(7-36amida)	0,61
GLP-1(9-36amida)	100000<
oxintomo duli na	3085
GLP-2	100000K
glucagón	4087
GIP	100000≺

Figura 25

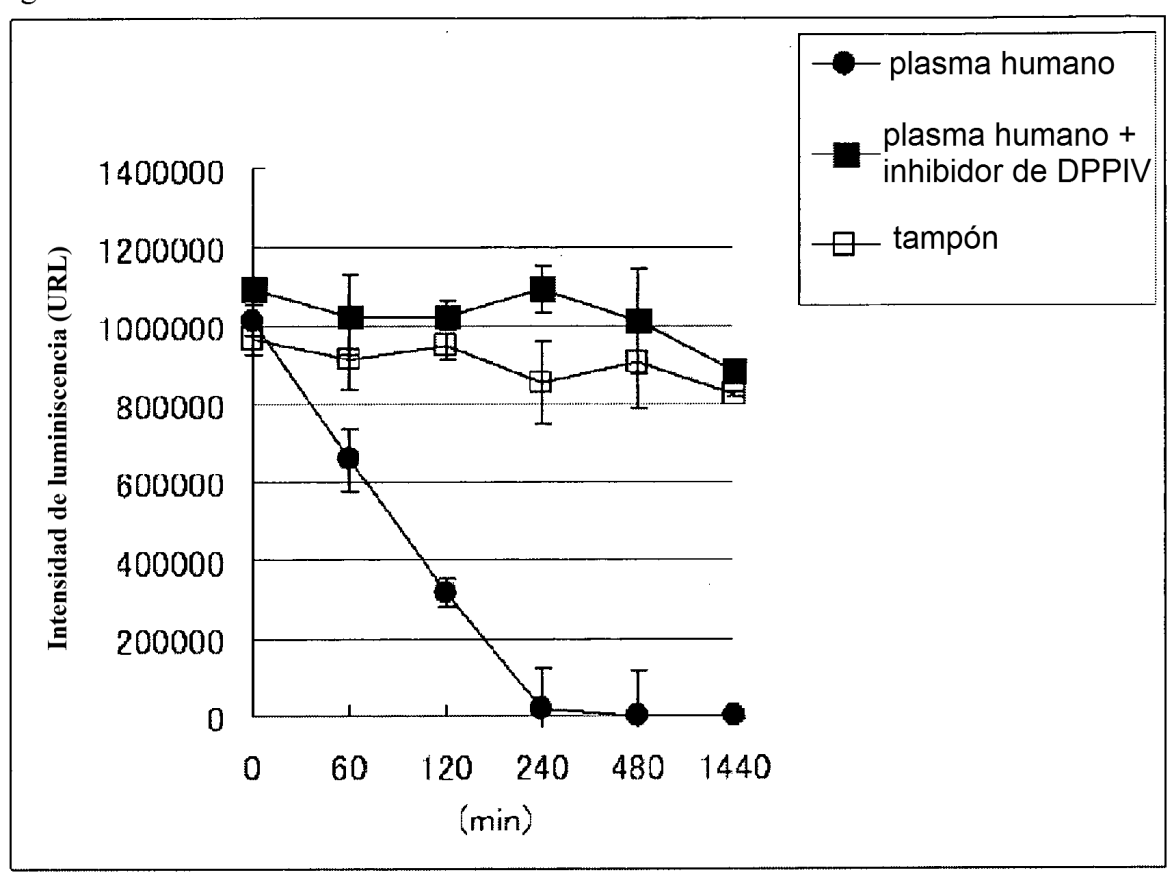


Figura 26

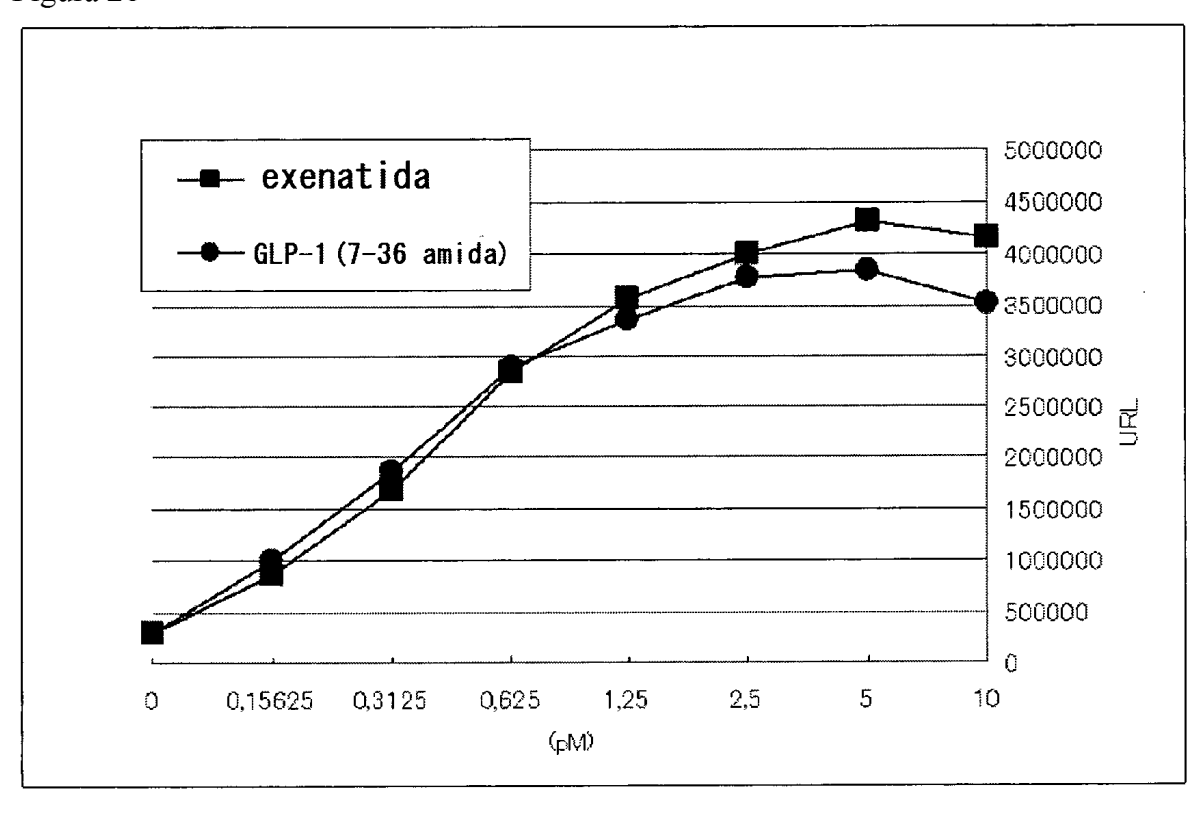
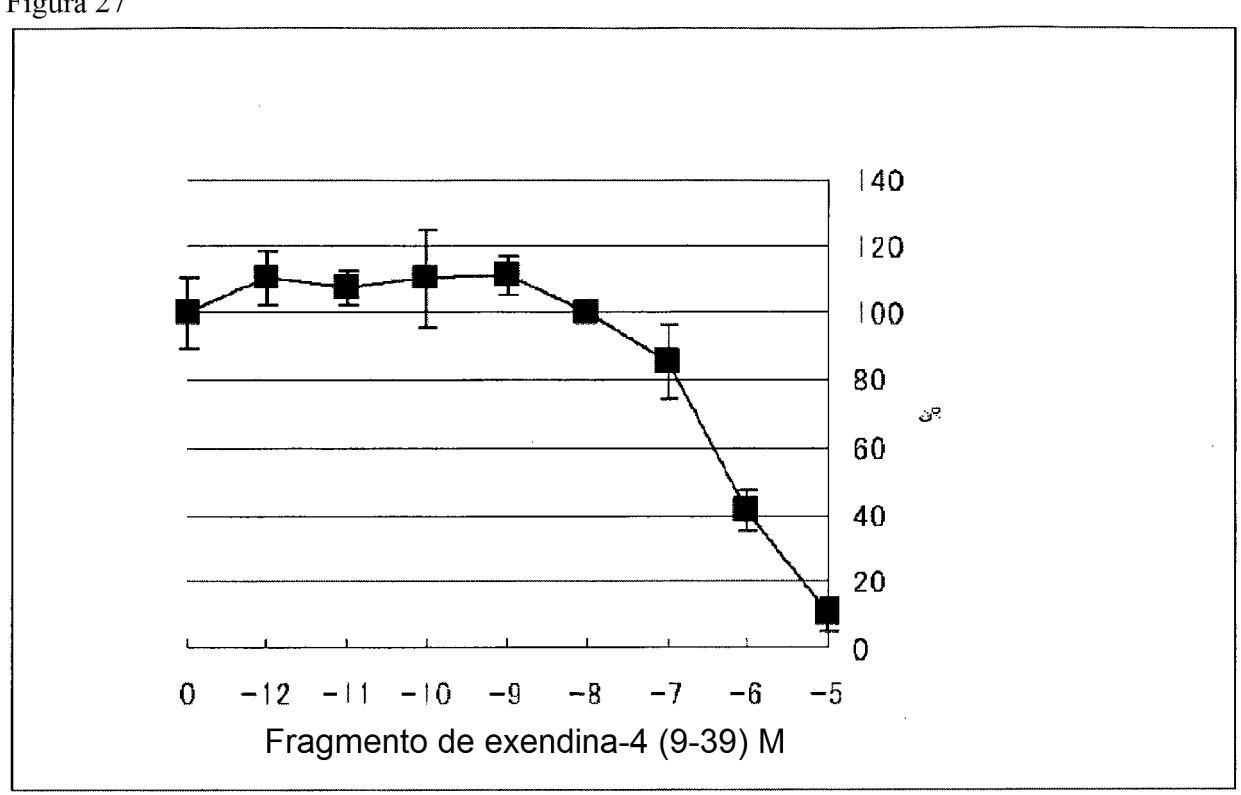
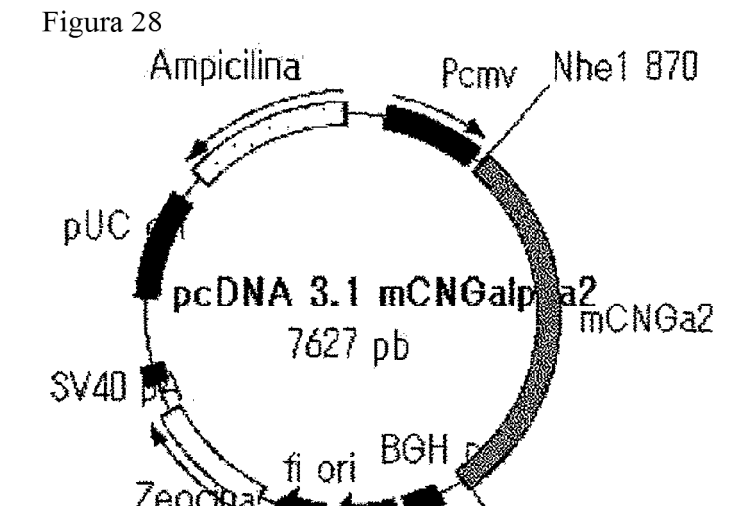


Figura 27





SV40 ori

Крп 3070

Figura 29

